

## I. PENDAHULUAN

### 1.1 Latar Belakang Masalah

Kualitas udara yang dipergunakan untuk kehidupan tergantung dari lingkungannya. Udara mengandung sejumlah oksigen, yang merupakan komponen esensial bagi kehidupan, baik manusia maupun makhluk hidup lainnya. Udara merupakan campuran dari gas, yang terdiri atas sekitar 78 % nitrogen, 20 % oksigen, 0,93 % argon, 0,03 % karbon dioksida ( $\text{CO}_2$ ) dan sisanya terdiri atas neon (Ne), helium (He), metana ( $\text{CH}_4$ ) dan hidrogen ( $\text{H}_2$ ) (Messayu, 2008).

Akibat aktivitas manusia, udara sering kali menurun kualitasnya. Perubahan kualitas ini dapat berupa perubahan sifat-sifat fisis maupun sifat-sifat kimiawi. Perubahan kimiawi dapat berupa pengurangan maupun penambahan salah satu komponen kimia yang terkandung dalam udara, yang lazim dikenal sebagai pencemaran udara. Jenis-jenis pencemaran udara dibedakan menurut ; bentuk (gas, pertikel), tempat (ruangan, udara bebas), gangguan kesehatan (*iritansia, asfiksia, anestesia, toksis*) dan menurut asal (primer, sekunder). Pencemar udara berbentuk gas dapat dibedakan menjadi 4 golongan yaitu belerang ( $\text{SO}_2, \text{H}_2\text{S}$ ) dan *sulfat aeros*, nitrogen ( $\text{N}_2\text{O}, \text{NO}, \text{NH}_3, \text{NO}_2$ ), karbon ( $\text{CO}_2, \text{CO}$ , hidrokarbon), gas berbahaya (benzena, vinyl klorida, uap air raksa) (Justiana, 2006).

Pencemaran gas golongan nitrogen bersumber dari berbagai jenis pembakaran, gas buang kendaraan bermotor, peledak serta pabrik pupuk. Efek pencemaran gas ini yaitu mengganggu sistem pernapasan, melemahkan sistem pernapasan paru dan saluran nafas sehingga paru mudah terserang infeksi (Justiana, 2006).

Penanggulangan pencemaran udara dapat dilakukan dengan cara mengurangi polutan dengan alat-alat, mengubah, melarutkan dan mendispersikan polutan. Penanggulangan N<sub>2</sub>O, NO dan NO<sub>2</sub> dilakukan dengan absorpsi. Dalam proses adsorpsi dipergunakan bahan padat yang dapat menyerap polutan. Berbagai tipe adsorben yang dipergunakan antara lain karbon aktif dan silikat. Adsorben mempunyai daya kejemuhan sehingga selalu diperlukan pergantian, bersifat disposal (sekali pakai buang) atau dibersihkan kemudian dipakai kembali (Messayu, 2008).

Dalam kimia koordinasi, NO dan NO<sub>2</sub> dapat berperan sebagai ligan, sehingga dapat mengalami substitusi membentuk senyawa kompleks dengan beberapa logam transisi. Beberapa contoh kompleks dengan NO atau NO<sub>2</sub> sebagai ligannya yaitu kompleks [Co(NH<sub>3</sub>)<sub>5</sub>NO]Br<sub>2</sub>, dan [Fe(CN)<sub>5</sub>NO]<sup>2-</sup> (Cotton dan Wilkinson, 1989). Sehingga kimia koordinasi terapan dapat dimanfaatkan untuk mengatasi polutan ini.

Kimia koordinasi merupakan bagian ilmu kimia yang mempelajari senyawa-senyawa koordinasi atau kompleks. Senyawa kompleks merupakan senyawa yang mengandung ion logam yang dikelilingi oleh sejumlah ion atau molekul yang mampu menyumbangkan sepasang elektron atau lebih kepada kation logam sebagai atom pusat dan berikatan melalui ikatan kovalen koordinasi (Cotton dan

Wilkinson, 1989). Senyawa kompleks merupakan hasil dari interaksi antara asam dan basa lewis. Atom atau ion logam yang bertindak sebagai ion pusat memiliki orbital-orbital kosong bertindak sebagai asam, menerima pasangan elektron yang bertindak sebagai basa (Miller, 1984).

Beberapa ligan dapat dideretkan dalam suatu seri, sesuai dengan kekuatan medannya yang disebut *spectrochemical series*. Urutan ini tidak bergantung dari ion pusat dan bentuk geometrinya. Urutan tersebut adalah : CO > CN<sup>-</sup> > NO<sub>2</sub><sup>-</sup> > phen > dipy > en > NH<sub>3</sub> ~ py > NCS > H<sub>2</sub>O > RCO<sub>2</sub> > OH<sup>-</sup> > F<sup>-</sup> > Cl<sup>-</sup> > Br<sup>-</sup> > I<sup>-</sup> (Sukardjo, 1989).

Reaksi pergantian ligan dalam kompleks bujur sangkar dan oktahedral melibatkan aspek stereokimia terutama adanya efek trans. Secara sterik terdapat dua kemungkinan produk reaksi dengan orientasi *cis* dan *trans* sangat beragam terhadap ligan L. Suatu deret ligan telah disusun berdasarkan kemampuannya mensubstitusi dalam posisi trans terhadapnya. Fenomena tersebut dikenal dengan efek trans. Urutan pengaruh trans yang makin naik untuk reaksi substitusi pada pembentukan kompleks Pt (II) adalah : CO, CN, C<sub>2</sub>H<sub>4</sub> > PR<sub>3</sub>, NO > CH<sub>3</sub><sup>-</sup>, SC(NH<sub>2</sub>)<sub>2</sub> > C<sub>6</sub>H<sub>5</sub><sup>-</sup>, NO<sub>2</sub><sup>-</sup>, I<sup>-</sup>, SCN > Br<sup>-</sup> > Cl<sup>-</sup> > NH<sub>3</sub>, py, RNH<sub>2</sub>, F<sup>-</sup> > OH<sup>-</sup> > H<sub>2</sub>O (Day dan Selbin, 1993).

Fenantrolin (phen) merupakan ligan bidentat dan sianida (CN<sup>-</sup>) adalah ligan monodentat, kedua ligan yang akan berikatan dengan logam pusat Co (II) merupakan ligan yang kuat pada deret spektrokimia. Posisi kedua ligan yang berdekatan dalam deret spektrokimia menunjukkan bahwa kemampuan kedua

ligan untuk berikatan dengan logam pusat adalah hampir sama (Huheey et al., 1993).

Beberapa penelitian tentang kompleks kobalt (II) yang telah dikembangkan adalah sintesis kompleks kobalt (II) dengan menggunakan ligan fenantrolin yang mempelajari sifat-sifat kimia kompleks  $\alpha$ -amin-rodanida dalam kompleks campuran Co(II) dan Mn(II) terhadap ligan fenantrolin dan dimetilfenantrolin dengan ligan rodanida (NCS) (Simamora, 1997). Sintesis kompleks campuran  $[\text{Co}(\text{phen})_2(\text{CN})_2\text{EtOH} \cdot 2\text{H}_2\text{O}]$  untuk mempelajari struktur kristal serta stabilitas termal kompleks tersebut dengan menggunakan metode analisis termal (Fangfang, 2004). Sintesis kobalt (II) dengan fenantrolin dan sianida untuk mengetahui formulasi, sifat dan stabilitas termalnya (Dermawanti, 2004). Sintesis *cis*- $\text{Co}(\text{phen})_2(\text{CN})_2$  (Defrianti, 2006), interaksi *cis*- $\text{Co}(\text{phen})_2(\text{CN})_2$  dengan gas  $\text{NO}_2$  (Mastuti, 2008).

Dalam penelitian terakhir yang dilakukan oleh Mastuti, diketahui bahwa telah terjadi interaksi antara kompleks *cis*- $\text{Co}(\text{phen})_2(\text{CN})_2$  dengan gas  $\text{NO}_2$  yang ditunjukkan dengan terjadinya perubahan warna dari kuning (sebelum interaksi) menjadi *orange* (sesudah interaksi). Dari data spektrofotometer inframerah terjadi serapan pada  $1382,96 \text{ cm}^{-1}$  menunjukkan karakteristik ikatan M- $\text{NO}_2$ . Dari spektrofotometer *DTA-TG* diperoleh data pada rentang suhu  $299,78\text{-}386,07^\circ\text{C}$  terjadi kehilangan berat sebesar 47,3125% yang setara dengan 2 molekul  $\text{NO}_2$  dan  $\text{C}_2\text{Co}$  (Mastuti, 2008).

Kompleks kelat kobalt (II) bidentat lebih stabil terhadap oksidasi daripada kompleks kobalt (II) monodentat (Simamora, 1997). *Cis*- $\text{Co}(\text{phen})_2(\text{CN})_2$

merupakan senyawa kompleks kobalt bidentat yang jika direaksikan dengan gas NO<sub>2</sub> dapat dengan mudah dilihat perubahan reaksinya melalui pengamatan terjadinya perubahan warna dan reaksinya dapat terjadi pada suhu ruang. Senyawa kompleks *Cis*-Co(phen)<sub>2</sub>(CN)<sub>2</sub> ini juga dapat berfungsi sebagai adsorben polutan NO<sub>2</sub>. Dalam penelitian ini dipelajari lebih lanjut interaksi antara senyawa kompleks *cis*-Co(phen)<sub>2</sub>(CN)<sub>2</sub> dengan gas NO<sub>2</sub> meliputi aspek kinetika reaksinya yaitu suhu, energi aktifasi, pH dan konsentrasi.

## **1.2 Tujuan Penelitian**

1. Mempelajari pengaruh pH laju interaksi senyawa kompleks *cis*-[Co(phen)<sub>2</sub>(CN)<sub>2</sub>] dengan gas NO<sub>2</sub>.
2. Mempelajari pengaruh temperatur terhadap laju interaksi senyawa kompleks *cis*- [Co(phen)<sub>2</sub>(CN)<sub>2</sub>] dengan gas NO<sub>2</sub>.
3. Menentukan energi aktifasi dari reaksi senyawa kompleks *cis*-[Co(phen)<sub>2</sub>(CN)<sub>2</sub>] dengan gas NO<sub>2</sub>.

## **1.3 Manfaat Penelitian**

Penelitian ini diharapkan dapat digunakan sebagai acuan pembuatan dan pemanfaatan senyawa kompleks untuk adsorpsi polutan NO<sub>2</sub>, sehingga dapat meminimalisir pencemaran udara oleh gas NO<sub>x</sub>.

## II. TINJAUAN PUSTAKA

Kimia koordinasi merupakan bagian ilmu kimia yang mempelajari senyawa-senyawa koordinasi atau kompleks. Senyawa kompleks merupakan senyawa yang mengandung ion logam yang dikelilingi oleh sejumlah ion atau molekul yang mampu menyumbangkan sepasang elektron atau lebih kepada kation logam sebagai atom pusat dan berikatan melalui ikatan kovalen koordinasi (Cotton dan Wilkinson, 1989).

Senyawa kompleks merupakan hasil dari interaksi antara asam dan basa lewis. Atom atau ion logam yang bertindak sebagai ion pusat memiliki orbital-orbital kosong bertindak sebagai asam, menerima pasangan elektron yang bertindak sebagai basa (Miller, 1984).

### 2.1 Logam Kobalt

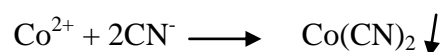
Kobalt adalah logam yang relatif kurang reaktif, mempunyai kilat biru keperakan, seperti baja, bersifat ferromagnetik, dipakai secara luas sebagai alloy dengan logam-logam nikel, besi, aluminium, dan lain-lain (Simamora, 1997). Mudah larut dalam asam-asam mineral encer membentuk ion  $\text{Co}^{2+}$  dan gas hidrogen, dalam asam nitrat membentuk ion  $\text{Co}^{2+}$  dan gas NO. Kobalt memiliki titik leleh  $1495^\circ\text{C}$ , titik didih  $2870^\circ\text{C}$ , nomor atom 27 dan berat molekul 58,933. Tingkat oksidasi (II) dan (III) adalah tingkat oksidasi yang paling stabil dari kobalt. Ion kobalt (III)

tidak stabil, tetapi kompleks-kompleksnya stabil. Kompleks kobalt (II) dapat dioksidasi dengan mudah menjadi kompleks kobalt (III). Kompleks aquo kobalt (III) lebih stabil daripada kompleks aquo kobalt (II) yaitu karena konfigurasi elektron spin rendah. Kompleks kobalt (II) dapat teroksidasi, sehingga untuk mengisolasinya dihindari keadaan yang terlalu basa. Kobalt (II) membentuk kompleks yang lebih stabil dengan ligan-ligan yang letaknya tidak terlalu tinggi dalam deret spektrokimia. Kobalt (II) dapat membentuk kompleks dengan bilangan koordinasi 4, 5, dan 6 dengan konfigurasi stereokimia masing-masing tetrahedral, segi empat datar, tri gonal bipiramidal, dan oktahedral. Kompleks kelat kobalt (II) bidentat lebih stabil terhadap oksidasi daripada kompleks kobalt (II) monodentat. Ligan-ligan bidentat misalnya etilendiamin, bipiridin dan fenantrolin (Simamora, 1997). Kristal biru (titik leleh 735°C dan titik didih 1049 °C) memiliki struktur  $\text{CoCl}_2$ .  $\text{CoCl}_2$  bersifat higroskopik dan menjadi merah muda bila mengabsorbsi air.  $\text{CoCl}_2$  juga larut dalam etanol dan aseton. Heksahidratnya berwarna merah dan merupakan senyawa koordinasi dengan air merupakan ligan. Tingkat oksidasi dan stereokimia senyawa kobalt dapat dilihat pada Tabel 1:

Tabel 1. Tingkat oksidasi dan stereokomia senyawa kobalt

| Biloks            | Bilangan Koordinasi | Struktur Geometri | Contoh   |
|-------------------|---------------------|-------------------|--|
| Co <sup>-1</sup>  | 4                   | Tetrahedral       | [Co(CO) <sub>4</sub> ] <sup>-</sup> , [Co(CO) <sub>3</sub> NO] <sup>-</sup>                              |
| Co <sup>0</sup>   | 4                   | Tetrahedral       | K <sub>4</sub> [Co(CN) <sub>4</sub> ], Co(PMe <sub>3</sub> ) <sub>4</sub>                                |
| Co <sup>I</sup>   | 4                   | Tetrahedral       | CoBr(PR <sub>3</sub> ) <sub>3</sub>  |
|                   | 5                   | TBP               | [Co(CO) <sub>3</sub> (PR <sub>3</sub> ) <sub>2</sub> ] <sup>+</sup>                                      |
|                   | 5                   | SP                | [Co(NCPh) <sub>5</sub> ]ClO <sub>4</sub>   |
|                   | 6                   | Oktahedral        | [Co(bipy) <sub>3</sub> ] <sup>+</sup>  |
| Co <sup>II</sup>  | 2                   | Linier            | Co(N(SiMe <sub>3</sub> ) <sub>2</sub> ) <sub>2</sub>   |
|                   | 4                   | Tetrahedral       | [CoCl <sub>4</sub> ] <sup>2-</sup>   |
|                   | 5                   | TBP               | [Co(Me <sub>6</sub> tren)Br] <sup>+</sup>  |
|                   | 5                   | SP                | [Co(CN) <sub>5</sub> ] <sup>3-</sup>   |
|                   | 6                   | Oktahedral        | CoCl <sub>2</sub> , [Co(NH <sub>3</sub> ) <sub>6</sub> ] <sup>2+</sup>                                   |
|                   | 8                   | Dodekaedral       | [Ph <sub>4</sub> As] <sub>2</sub> [Co(NO <sub>3</sub> ) <sub>4</sub> ]                                   |
| Co <sup>III</sup> | 4                   | Tetrahedral       | Dalam 12-heteropolitungstate   |
|                   | 5                   | SP                | Co(corrrole)PPh <sub>3</sub>   |
|                   | 6                   | Oktahederal       | [Coen <sub>2</sub> Cl <sub>2</sub> ] <sup>+</sup> , CoF <sub>3</sub> , [CoF <sub>6</sub> ] <sup>3-</sup> |
| Co <sup>IV</sup>  | 4                   | Tetrahederal      | Co(1-norbornyl) <sub>4</sub>   |
|                   | 6                   | Oktahederal       | [CoF <sub>6</sub> ] <sup>4-</sup>  |
| Co <sup>V</sup>   | 4                   | Tetrahederal      | K <sub>3</sub> CoO <sub>4</sub>  |

Reaksi peng kompleksan ion kobalt dengan sianida dan nitrit.



Endapan melarut dalam regensi berlebih, terbentuk larutan heksasianokobaltat

(II):



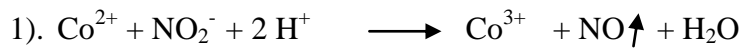
Dengan mengasamkan dalam keadaan dingin dengan asam klorida encer, endapan muncul kembali:



Jika dididihkan atau ditambahkan sedikit hidrogen peroksida akan membentuk kompleks heksasianokobaltat (III),  $[Co(CN)_6]^{3-}$ . Sedangkan reaksi kobalt dengan nitrit :



reaksi ini terbagi menjadi 2 tahap :



(Svehla, 1985)

## 2.2 Ligan

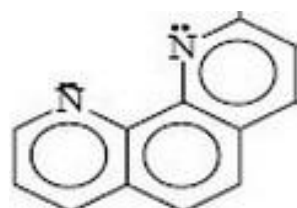
Sebagian besar ligan adalah zat netral atau anionik tetapi kation, seperti kation tropilium juga dikenal. Ligan netral, seperti amonia,  $NH_3$ , atau karbon monoksida,  $CO$ , dalam keadaan bebas pun merupakan molekul yang stabil, semenara ligan anionik, seperti  $Cl^-$  atau  $C_5H_5^-$ , distabilkan hanya jika dikoordinasikan ke atom logam pusat. Ligan umum atau yang dengan rumus kimia rumit diungkapkan dengan singkatannya. Ligan dengan satu atom pengikat disebut ligan monodentat, dan yang memiliki lebih dari satu atom pengikat disebut ligan polidentat, yang juga disebut ligan khelat. Jumlah atom yang diikat pada atom pusat disebut dengan bilangan koordinasi (Cotton dan Wilkinson, 1989).

Beberapa ligan dapat dideretkan dalam suatu seri, sesuai dengan kekuatan medannya yang disebut *spectrochemical series*. Urutan ini tidak bergantung dari ion pusat dan bentuk geometrinya. Urutan tersebut adalah :  $CO > CN > NO_2 > phen > dipY > en > NH_3 \sim py > NCS > H_2O > RCO_2 > OH^- > F^- > Cl^- > Br^- > I^-$  (Sukardjo, 1992)

Reaksi penggantian ligan dalam kompleks bujur sangkar dan oktahedral melibatkan aspek stereokimia terutama adanya efek trans. Secara sterik terdapat dua kemungkinan dua produk reaksi dengan orientasi cis dan trans sangat beragam terhadap ligan L. Perbandingan relatif produk cis trans sangat beragam terhadap ligan L. Suatu deret ligan telah disusun berdasarkan kemampuannya mensubstitusi dalam posisi trans terhadapnya. Phenomena tersebut dikenal dengan efek trans. Urutan pengaruh trans yang makin naik untuk reaksi substitusi pada pembentukan kompleks Pt(II) adalah : CO, CN, C<sub>2</sub>H<sub>4</sub> > PR<sub>3</sub>, NO > CH<sub>3</sub><sup>-</sup>, SC(NH<sub>2</sub>)<sub>2</sub> > C<sub>6</sub>H<sub>5</sub><sup>-</sup>, NO<sub>2</sub><sup>-</sup>, I<sup>-</sup>, SCN > Br<sup>-</sup> > Cl<sup>-</sup> > NH<sub>3</sub>, py, RNH<sub>2</sub>, F<sup>-</sup> > OH<sup>-</sup> > H<sub>2</sub>O (Day dan Selbin, 1993).

### 2.2.1 Fenantrolin

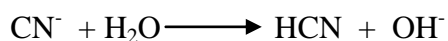
Fenantrolin merupakan ligan bidentat dan sianida adalah ligan monodentat, kedua ligan yang akan berikatan dengan logam pusat Co (II) merupakan ligan yang kuat pada deret spektrokimia. Posisi kedua ligan yang berdekatan dalam deret spektrokimia menunjukkan bahwa kemampuan kedua ligan untuk berikatan dengan logam pusat adalah hampir sama (Huheey et al., 1993).



Gambar 1. 1,10 - fenantrolin

## 2.2.2 Ligan Sianida dan NO<sub>2</sub>

Sianida dari alkali dan alkali tanah yang larut dalam air, larutan ini bereaksi basa disebabkan oleh hidrolisis.



Banyak sianida logam melarut dalam larutan kalium sianida dengan menghasilkan garam-garam kompleks (Svehla, 1985).

NO<sub>x</sub> merupakan kelompok gas yang terdapat di atmosfer, terdiri dari NO dan NO<sub>2</sub>, dimana gas NO tidak berwarna sedangkan gas NO<sub>2</sub> berwarna coklat kemerahmerahan dan berbau tajam. NO dibentuk dalam banyak reaksi yang menyangkut reduksi asam nitrat dan larutan nitrat atau nitrit. Interaksi kuantitas stokiometrik NO dan NO<sub>2</sub> menghasilkan oksida N<sub>2</sub>O<sub>3</sub> yang terdapat murni hanya pada suhu tinggi dan dengan mudah terdisosiasi (Sastrawijaya, 1991).

NO dan NO<sub>2</sub> merupakan bahan-bahan pencemar yang akhir-akhir ini menjadi masalah serius. Pencemaran polutan NO<sub>x</sub> yang terbesar berasal dari buangan kendaraan bermotor (49%), pembangkit listrik (27%), industri (19%), dan sumber lain (5%). NO<sub>x</sub> hasil buangan tersebut merupakan emisi dari hasil pembakaran bahan bakar yang di dalamnya terdapat unsur nitrogen (Sastrawijaya, 1991).

Ion nitrat, NO<sub>3</sub><sup>-</sup>, dan ion nitrit, NO<sub>2</sub><sup>-</sup>, membentuk berbagai macam koordinasi bila menjadi ligand dalam senyawa kompleks logam transisi. Asam nitrit, HNO<sub>2</sub>, walaupun tidak dapat diisolasi sebagai senyawa murni, larutan asam nitrit dalam air adalah larutan asam lemah ( $\text{pK}_a = 3.15$  pada 25°C) dan merupakan reagen yang penting. NaNO<sub>2</sub> digunakan dalam industri untuk produksi hidroksilamin

(NH<sub>2</sub>OH) dan juga digunakan untuk diazotinasi amin aromatik, senyawa ini sangat penting untuk pembuatan pewarna dan obat azo. Asam nitrit terdekomposisi pada suhu 87,8 °C (Glenn, 1953). Di antara berbagai bentuk koordinasi NO<sub>2</sub><sup>-</sup> kini telah dikenal isomernya, ligan monodentat nitro (N yang berkoordinasi) dan nitrito (O yang berkoordinasi) telah ditemukan di abad ke-19. Pada spektrofotometer ultra ungu tampak, NO<sub>2</sub><sup>-</sup> menunjukkan serapan pada panjang gelombang 540 nm.

Dalam kimia koordinasi, NO dan NO<sub>2</sub> dapat berperan sebagai ligan sehingga membentuk senyawa kompleks dengan beberapa logam transisi. Beberapa contoh kompleks dengan NO atau NO<sub>2</sub> sebagai ligannya yaitu kompleks [Co(NH<sub>3</sub>)<sub>5</sub>NO]Br<sub>2</sub>, dan [Fe(CN)<sub>5</sub>NO]<sup>2-</sup> (Cotton dan Wilkinson, 1989). Walaupun demikian, NO atau NO<sub>2</sub> adalah bahan pencemar berbahaya dan memerlukan penanggulangan.

Beberapa cara telah ditempuh untuk mengurangi pencemaran NO<sub>x</sub>, diantaranya dengan menggunakan katalis berupa Rh/CeO<sub>2</sub>-ZRO<sub>2</sub> (Planaphy, 2002), Cu/ZSM-5 dan Co/ZMS-5 (Fornasiero, 1995), yang bekerja melalui proses adsorpsi dan reaksi katalitik oksidasi-reduksi.

### 2.3 Reaksi kompleks

Reaksi kompleks diklasifikasikan ke dalam reaksi substitusi ligan, reaksi konversi ligan dan reaksi redoks logam. Reaksi substitusi dan redoks khususnya telah dipelajari dengan detil (Saito, 1996).

### 2.3.1 Reaksi substitusi ligan

Reaksi substitusi ligan kompleks :



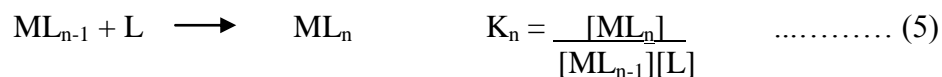
Dengan ;

|                         |                                |
|-------------------------|--------------------------------|
| $M = \text{Logam}$      | $X = \text{ligan yang keluar}$ |
| $L = \text{ligan lain}$ | $Y = \text{ligan yang masuk}$  |
| $N = \text{jumlah}$     |                                |

Reaksi substitusi ligan kompleks sangat penting untuk preparasi berbagai turunan kompleks. Kondisi detil ligan dan kompleks yang memungkinkan reaksi ini telah dipelajari untuk memahami stereokimianya dan mencapai laju reaksi substitusi yang praktis. Seperti juga pada jenis reaksi yang lain, kita perlu memahami kesetimbangan dan laju reaksinya (Saito, 1996).

#### a. Konstanta pembentukan

Konstanta kesetimbangan reaksi substitusi ligan disebut dengan konstanta kestabilan atau pembentukan. Konstanta kesetimbangan penggantian ion terhidrasi M dengan ligan lain L dalam larutan air adalah :

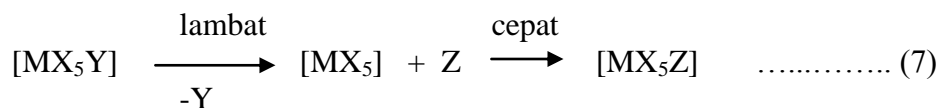


dan konstanta pembentukan overall  $\beta_n$  adalah:

$$\beta_n = \frac{[ML_n]}{[M][L]^n} = K_1 K_2 K_3 \dots K_n \quad \dots\dots\dots (6)$$

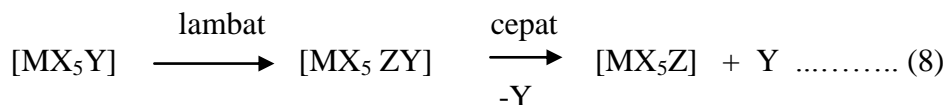
Kestabilan termodinamika produk substitusi menjadi lebih besar jika konstanta pembentukannya meningkat. Di pihak lain, pemahaman efek ligan yang keluar, X, dan ligan yang masuk, Y, pada laju substitusi dan spesi senyawa antara yang dibentuk penting untuk mengelusidasi reaksi kompleks logam. Khususnya bermanfaat untuk merangkumkan struktur elektronik logamnya, stereokimia kompleksnya dan korelasi antara parameter yang mewakili sterik senyawa dan laju reaksi (Saito, 1996).

Dua kemungkinan mekanisme ditinjau dari reaksi pergantian ligan adalah mekanisme SN1 (substitusi nukleofilik unimolekuler) dimana kompleks terdisosiasi, melepaskan ligan yang akan diganti dan kekosongan dalam kulit koordinasi akan diisi oleh ligan yang baru (Saito, 1996). Reaksi substitusi kompleks oktahedral dapat dituliskan sebagai berikut :



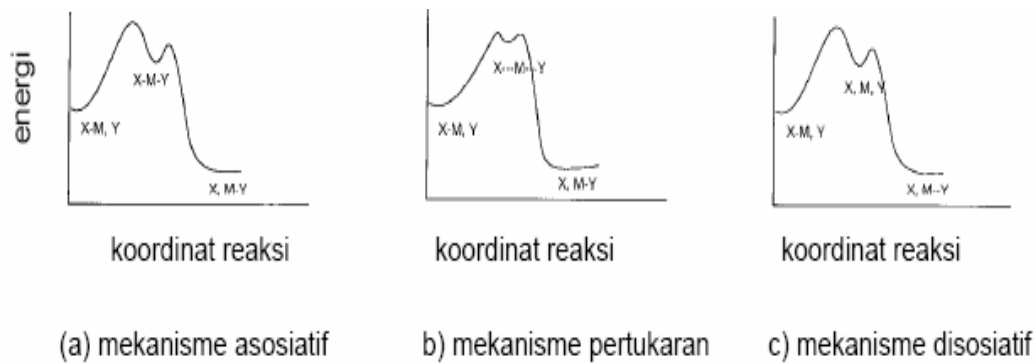
Hal yang penting disini adalah bahwa reaksi tahap pertama dimana salah satu ligan dilepaskan berlangsung relatif lambat. Bila kompleks antara terbentuk yang hanya terkoordinasi lima akan segera bereraksi dengan ligan baru. Laju reaksi berbanding langsung dengan konsentrasi kompleks antara tetapi tidak tergantung pada konsentrasi ligan baru. Mekanisme lain yaitu SN2 (substitusi nukleofilik bimolekuler). Dalam hal ini ligan baru menyerang kompleks asli secara langsung

membentuk kompleks teraktifkan berkoordinasi tujuh yang kemudian melepaskan ligan yang ditukar seperti ditunjukkan dalam mekanisme berikut :



Laju sebanding dengan konsentrasi pereaksi kompleks dan ligan pengganti.

Umumnya mekanisme reaksi dapat diklasifikasikan menjadi mekanisme asosiatif, pergantian dan disosiatif bergantung pada perbedaan senyawa antaranya (Saito, 1996).



Gambar 2. Kestabilan senyawa antara substitusi ligan

### 1. Mekanisme asosiatif

Bila laju substitusi ligan kompleks bergantung pada ligan, Y, yang berkoordinasi dengan logam pusat dan tidak sensitif pada ligan yang keluar, X, reaksinya mengikuti mekanisme asosiatif yang meningkatkan bilangan koordinasi. Reaksi substitusi semacam ini sering diamati pada kompleks Pt (II) planar tetra-koordinat, dan spesi senyawa antaranya adalah kompleks penta-koordinat bipiramidal segitiga. Reaksinya akan berorde satu pada baik kompleks tetra-koordinatnya maupun pada Y, dan secara keseluruhan orde kedua. Karena reaksi

ini disertai dengan reduksi spesi molekular dalam tahap antara, pengukuran termodinamik reaksi mengindikasikan entropi aktivasi,  $\Delta S$ -nya bernilai negatif. Spesi senyawa antara dalam kasus mekanisme asosiatif heksa-koordinat adalah kompleks hepta-koordinat.

## 2. Mekanisme pertukaran

Bila waktu hidup senyawa antara sangat pendek, reaksi berlangsung melalui mekanisme pertukaran, ketika koordinasi Y dan eliminasi X berlangsung bersamaan.

## 3. Mekanisme disosiatif

Reaksi substitusi yang sangat sensitif pada identitas ligan yang keluar, X, dan praktis tidak sensitif pada identitas ligan yang masuk, mengikuti mekanisme disosiatif dengan penurunan bilangan koordinasi di spesi senyawa antaranya. Mekanisme ini sering dijumpai dalam kompleks heksa-koordinat, dan senyawa antaranya adalah kompleks penta-koordinat yang terbentuk dengan eliminasi X. Karena eliminasi diikuti dengan peningkatan spesi molekular dalam tahap senyawa antaranya, aktivasi entropinya,  $\Delta S$ , bernilai positif (Saito, 1996).

### 2.3.2 Reaksi redoks

Bilangan oksidasi logam dalam senyawa logam transisi dapat bervariasi dari rendah ke tinggi. Bilangan oksidasi ini dapat berubah dengan reaksi redoks. Akibat hal ini, jarak ikatan dan sudut ikatan antara logam dan unsur yang terkoordinasi, atau antar logam, berubah dan pada saat tertentu keseluruhan struktur kompleks dapat terdistorsi secara dramatis atau bahkan senyawanya

dapat terdekomposisi. Reaksi senyawa logam transisi dengan berbagai bahan oksidator atau reduktor juga sangat penting dari sudut pandang sintesis. Khususnya, reaksi reduksi digunakan dalam preparasi senyawa organologam, misalnya senyawa kluster atau karbonil logam. Sementara itu, studi transfer elektron antar kompleks, khususnya reaksi redoks senyawa kompleks logam transisi telah berkembang. Taube mendapat hadiah Nobel pada tahun 1983 untuk studi reaksi transfer elektron dalam kompleks logam transisi dan mengklasifikasikan reaksi ini dalam dua mekanisme. Mekanisme transfer elektron dengan ligan jembatan digunakan bersama antara dua logam disebut dengan mekanisme koordinasi dalam, dan mekanisme reaksi yang melibatkan transfer langsung antar logam tanpa ligan jembatan disebut mekanisme koordinasi luar (Saito, 1996).

Mekanisme koordinasi dalam bila  $[CoCl(NH_3)_5]^{2+}$  direduksi dengan  $[Cr(OH_2)_6]^{2+}$ , suatu kompleks senyawa antara,  $[(NH_3)_5Co-Cl-Cr(OH_2)_5]^{4+}$ , terbentuk dengan atom khlor membentuk jembatan antara kobal dan khromium. Sebagai akibat transfer elektron antara khromium ke kobal melalui khlor, terbentuk  $[Co(NH_3)_5Cl]^+$ , dengan kobal direduksi dari trivalen menjadi divalen, dan  $[Cr(OH_2)_6]^{3+}$ , dengan khromium dioksidasi dari divalen menjadi trivalen. Reaksi seperti ini adalah jenis reaksi redoks melalui mekanisme koordinasi dalam. Anion selain halogen yang cocok untuk pembentukan jembatan semacam ini adalah  $SCN^-$ ,  $N^{3-}$ ,  $CN^-$ , dsb. Mekanisme koordinasi luar bila  $[Fe(phen)_3]^{3+}$  (phen adalah ortophenantrolin) direduksi dengan  $[Fe(CN)_6]^{4-}$ , tidak ada jembatan ligan antar logam dan elektron berpindah dari homo Fe(II) ke lumo Fe(III) dalam aktu yang sangat singkat dan kontak langsung antar dua kompleks. Akibat transfer elektron

ini, terbentuk  $[Fe(phen)_3]^{2+}$  dan  $[Fe(CN)_6]^{3-}$ . Reaksi seperti ini adalah reaksi redoks melalui mekanisme koordinasi luar, dan karakteristik sistem kompleks yang memiliki laju substitusi ligan yang sangat lambat dibandingkan dengan laju transfer elektron, khususnya dalam sistem yang memiliki ligan yang sama tetapi bilangan oksidasi yang berbeda,  $[Fe(CN)_6]^{3-}$  dan  $[Fe(CN)_6]^{4-}$  yang memiliki laju transfer elektron yang besar (Saito, 1996).

#### **2.4 Stabilitas Ion Kompleks**

Stabilitas ion kompleks dalam larutan mempunyai arti penting baik di laboratorium, dalam industri, ataupun dalam keadaan sehari-hari. Stabilitas dari ion kompleks selalu dipelajari didalam larutan air (*aqueous solvent*). Hanya dalam beberapa hal saja tidak digunakan pelarut bukan air (*non-aqueous solvent*). Ada 2 jenis kestabilan pada pembentukan senyawa kompleks yaitu : kestabilan termodinamik dan kestabilan kinetika. Kestabilan termidinamik menyangkut tenaga ikatan antara logam dan ligan, tetapan kestabilan dan beberapa tetapan termidinamika lainnya yang diturunkan dari kedua besaran diatas. Kestabilan kinetika khususnya senyawa ion kompleks dalam larutan yang berhubungan dengan laju reaksi, mekanisme reaksi kimia serta besaran-besaran yang terlibat dalam pembentukan kompleks (Ilim, 1989). Dari segi kinetika , senyawa kompleks lebih tepat dikatakan inert atau labil daripada stabil. Suatu senyawa kompleks stabil secara termodinamika, dapat bersifat labil secara kinetika. Kestabilan termodinamika optimum dari suatu jenis senyaawa kompleks terjadi pada keadaan setimbang :



Tetapan kesetimbangan :

$$K = \frac{[ML]}{[M][L]} \dots\dots\dots\dots\dots (10)$$

Reaksi logam dengan ligan membentuk khelat biasanya menghasilkan kompleks larut dalam pelarut tertentu. Harga konstanta kestabilan ini sangat penting dalam menentukan konsentrasi dan jenis kompleks yang terbentuk pada campuran kesetimbangan spesifik (Saito, 1996).

Faktor-faktor yang mempengaruhi stabilitas kompleks antara lain :

a. Sifat ion logam

1. Besar dan muatan dari ion logam.

Semakin kecil ion logamnya dan semakin besar medan listriknya maka ion kompleks yang terbentuk akan semakin stabil.

2. Faktor CSFE (*Crystal Field stabilization Energy*)

Untuk kompleks high spin dari Mn<sup>2+</sup> - Zn<sup>2+</sup> dengan ligan tertentu urutan stabilitasnya sesuai dengan urutan jari-jari yang semakin kecil.

|                   |           |           |           |           |           |           |
|-------------------|-----------|-----------|-----------|-----------|-----------|-----------|
| Ion               | $Mn^{2+}$ | $Fe^{2+}$ | $Co^{2+}$ | $Ni^{2+}$ | $Cu^{2+}$ | $Zn^{2+}$ |
| Elektron d        | $d^5$     | $d^6$     | $d^7$     | $d^8$     | $d^9$     | $d^{10}$  |
| Jari-jari ion (A) | 0,91      | 0,,83     | 0,82      | 0,78      | 0,69      | 0,74      |

3. Faktor distribusi muatan

Logam-logam yang bersifat elektropositif membentuk kompleks yang stabil dengan ligan yang atom donornya N, O, atau F. Logam-logam yang elektronegatif dan unsur-unsur transisi akan membentuk kompleks yang stabil jika berikatan dengan atom donor yang lebih berat dari N, O, F seperti atom P, S dan I (Sukardjo, 1989).

b. Pengaruh ligan

Pengaruh ligan terhadap stabilitas ion kompleks antara lain :

1) Besar dan muatan dari ion

Semakin besar muatan dan semakin kecil jari-jari dari ligan maka kompleks yang terbentuk akan semakin stabil

2) Sifat basa

Semakin besar sifat basa dari ligan maka kompleks yang terbentuk akan semakin stabil. Basa yang dimaksud adalah teori asam basa menurut Lewis.

3) Faktor pembentukan khelat

Pada pembentukan kompleks khelat, golongan donor melepaskan  $H^+$  untuk membentuk basa yang bersesuaian. Ligan-ligan multidentat akan membentuk kompleks yang stabil dibanding ligan-ligan monodentat.

4) Faktor kompleks siklik (ligan multidentat)

Jika ligan yang membentuk kompleks adalah ligan multidentat maka akan memungkinkan membentuk siklik dengan logam .Untuk ligan yang tidak berikatan rangkap kompleks yang paling stabil adalah lingkar lima, tapi untuk ligan yang memiliki ikatan rangkap maka kompleks yang paling stabil adalah lingkar enam.

5) Faktor ruang

Ligan yang terlalu besar dan banyak cabangnya akan memberikan rintangan sterik yang besar sehingga kompleks yang terbentuk cenderung kurang stabil dibandingkan ligan yang sederhana (Sukardjo, 1989).

## 2.5 Kinetika Kimia

Kinetika kimia adalah studi membahas tentang laju reaksi dan mekanisme terjadinya suatu reaksi. Laju reaksi adalah perubahan (pengurangan) konsentrasi pereaksi atau penambahan konsentrasi hasil reaksi dalam satuan waktu. Reaksi dapat berlangsung dengan laju yang bervariasi, ada yang serta merta, perlu cukup waktu (pembakaran) atau waktu yang sangat lama seperti penuaan, pembentukan batu bara dan beberapa reaksi peluruhan radioaktif. Pada kondisi tertentu masing-masing reaksi memiliki karakteristik laju masing-masing yang ditentukan oleh sifat kimia reaktan. Laju reaksi dapat ditentukan dengan cara mengikuti perubahan sifat selama reaksi. Dengan menganalisis campuran reaksi dalam selang waktu tertentu, maka konsentrasi pereaksi dan produk reaksi dapat dihitung (Petrucci, 1987).

Orde reaksi adalah jumlah atom atau molekul dari reaktan yang konsentrasinya memegang peranan penting dalam menentukan laju reaksi. Jika suatu reaksi, lajunya tergantung pada pangkat satu dari salah satu reaktan dikatakan berorde satu, sedangkan laju reaksi yang tergantung pada pangkat dua dari salah satu reaktan atau masing-masing berpangkat satu terhadap reaktan dikatakan berorde dua (Petrucci, 1987). Secara umum dapat dituliskan :

$$v = k [A]^m[B]^n \dots \dots \dots (11)$$

Orde total dari reaksi dapat dinyatakan  $L = m + n$

Reaksi tersebut dikatakan berorde  $m$  terhadap A dan berorde  $n$  terhadap B dan seterusnya. Reaksi yang lajunya tidak ditentukan oleh konsentrasi reaktannya dikatakan berorde nol (0). Reaksi berorde nol terhadap salah satu pereaksinya

apabila perubahan konsentrasi pereaksi tersebut tidak mempengaruhi laju reaksi.

Suatu reaksi dikatakan berorde satu terhadap salah satu pereaksi itu. Jika konsentrasi pereaksi ini dapat dilipatgandakan maka laju reaksi akan menjadi peningkatan. Suatu orde pereaksi itu dilipatgandakan maka laju reaksinya akan mulai berjalan. Suatu reaksi dikatakan berorde dua dari pereaksi jika laju reaksi merupakan pangkat dua dari konsentrasi pereaksi itu sendiri. Salah satu cara untuk menentukan orde reaksi adalah dengan metode isolasi (Petrucci, 1987).

Dimana pada reaksi :  $a A + b B + c C \longrightarrow P$

Orde reaksi totalnya adalah  $a + b + c$ , dimana nilai masing-masing dapat ditentukan sebagai berikut :

Untuk menentukan nilai  $a$ , dibuat seri reaksi kimia dimana (B) dan (C) berada dalam jumlah yang konstan kemudian (A) divariasikan, sehingga didapatkan :

$$\frac{dx}{dt} = k_a [A]^a, \text{ dimana } k_a = k[B]^b[C]^c \quad \dots\dots\dots\dots\dots(12)$$

(Petrucci, 1987)

Untuk menentukan nilai B, dibuat (A) dan (C) dalam jumlah konstan dan (B) divariasikan, sedangkan untuk nilai c, dibuat (A) dan (B) dalam jumlah konstan dan (C) divariasikan. Laju reaksi kompleks *Cis*-[Co(phen)<sub>2</sub>(CN)<sub>2</sub>] dengan gas NO<sub>2</sub> dapat ditulis seperti persamaan :

$$V = k[Co(phen)_2(CN)_2]^m[NO_2]^n \quad \dots\dots\dots\dots\dots(13)$$

Dengan menggunakan metode isolasi dapat ditentukan orde reaksi m untuk kompleks *Cis*-[Co(phen)<sub>2</sub>(CN)<sub>2</sub>] dan orde reaksi n untuk NO<sub>2</sub>.

Logaritma dari persamaan (13) akan didapatkan :

$$\log V = \log k + m \log [Co(phen)_2(CN)_2] + n \log [NO_2] \quad \dots\dots\dots\dots\dots(14)$$

Pada konsentrasi *Cis*-[Co(phen)<sub>2</sub>(CN)<sub>2</sub>] konstan, persamaan (14) dapat ditulis sebagai berikut :

$$\log v = \log k' + n \log [NO_2] \quad \dots \dots \dots \quad (15)$$

dimana  $k' = k [Co(phen)_2(CN)_2]$ . Grafik antara  $\log v$  vs  $\log [NO_2]$  akan menghasilkan garis lurus dimana  $n$  sebagai koefisien arah dari garis dan memberikan orde reaksi untuk  $NO_2$ . Dengan cara yang sama jika dibuat grafik antara  $\log v$  vs  $\log [Co(phen)_2(CN)_2]$  untuk konsentrasi  $NO_2$  konstan, akan didapatkan garis lurus dengan koefisien arahnya sebagai  $m$  dan memberikan orde reaksi untuk senyawa kompleks *Cis*-[Co(phen)<sub>2</sub>(CN)<sub>2</sub>].

Faktor-faktor yang mempengaruhi laju reaksi kimia :

1. Sifat dasar pereaksi dan luas permukaan

Laju terjadinya suatu reaksi tergantung pada sifat kimia dan fisika dari reaktan. Berdasarkan mudahnya ikatan putus atau terbentuk ikatan baru bila suatu reaksi berlangsung maka dapat diperkirakan pereaksi mana yang bereaksi lebih dahulu atau yang lebih cepat. Reaksi-reaksi spontan yang menyangkut ion umumnya lebih cepat dari pada reaksi yang berikatan kovalen. Pada umumnya, semakin kecil partikel pereaksi maka semakin luas permukaan pereaksi yang bersentuhan dalam reaksi sehingga reaksi semakin cepat (Petrucci, 1987).

2. Konsentrasi pereaksi

Bila konsentrasi pereaksi diperbesar dalam suatu reaksi, berarti kerapatannya bertambah dan akan memperbanyak kemungkinan tabrakan sehingga akan mempercepat laju reaksi. Bila partikel makin banyak, akibatnya lebih banyak

kemungkinan partikel saling bertumbukan yang terjadi dalam suatu larutan sehingga reaksi bertambah cepat (Petrucci, 1987).

### 3. Intensitas radiasi

Sinar matahari atau sinar lampu juga dapat mempengaruhi laju reaksi. Umumnya pengaruh ini sedikit diperhatikan hanya untuk mempelajari pengaruh fotokimia. Kekuatan sinar di dalam spektrofotometri yang menggunakan sinar monokromatik tidak diharapkan. Tetapi jika berkas sinar putih jatuh lurus ke atas sampel seperti didalam dioda spektrofotometer perlu diperhatikan.

### 4. Sifat-sifat pelarut

Laju reaksi tergantung dari kepolaran pelarut, viskositas, jumlah donor elektron, dan sebagainya. Penambahan suatu elektrolit dapat memperkecil atau menaikkan suatu laju reaksi (pengaruh garam), dan demikian pula adanya buffer.

### 5. Katalis

Katalis merupakan suatu zat yang mampu mempengaruhi laju reaksi suatu reaksi tanpa dirinya mengalami perubahan kimia yang permanen. Suatu katalis mempengaruhi kecepatan reaksi dengan pembentukan senyawa antara atau dengan adsorpsi/katalis heterogen. Jenis katalis adalah spesifik terhadap suatu reaksi. Ada dua macam katalis yaitu katalis positif (katalisator) yang berfungsi mempercepat reaksi dan katalis negatif (inhibitor) yang berfungsi memperlambat reaksi laju reaksi. Katalis positif berperan menurunkan energi pengaktifan dan membuat orientasi molekul sesuai untuk terjadinya tumbukan (Keenan, dkk, 1979).

Berdasarkan sifat dari katalis, maka katalis dapat dibedakan menjadi katalis homogen dan heterogen. Katalis homogen adalah katalis bersama reaktan membentuk satu fase, sedangkan katalis heterogen adalah katalis yang membentuk lebih dari satu fase dengan reaktan. Peranan katalis dalam suatu reaksi kompleks Cr-EDTA dapat memperkecil energi aktivasi reaksi (Ilim, 1989).

## 6. Temperatur

Jika temperatur dinaikkan maka laju reaksi semakin besar pada reaksi endoterm dan laju akan semakin kecil pada reaksi eksoterm. Perubahan laju reaksi sebagai akibat perubahan temperatur tidak merubah persamaan laju tetapi yang berubah adalah konstanta laju reaksi ( $k$ ). Secara matematis harga konstanta laju reaksi ( $k$ ) mempunyai peranan penting dalam reaksi kimia. Harga  $k$  akan berubah jika jenis reaktan berbeda, suhu berbeda dan faktor lain yang mempengaruhi sufat dari reaktan. Dimana harga  $k$  akan bertambah besar dengan naiknya suhu. Harga  $k$  mengalami kenaikan apabila temperatur naik dan harga  $k$  berkurang dengan turunnya temperatur (Ilim, 1989). Berdasarkan penelitian Van't Hoff dan Archenius menghasilkan hubungan antara konstanta laju ( $k$ ) dengan suhu absolut ( $T$ ) dalam bentuk :

$$k = A \cdot e^{-E_a/RT} \dots \dots \dots \quad (16)$$

atau dalam bentuk logaritma menjadi ;

$$\log k = \log A - E_a/2,303 RT \quad (\text{Petrucci}, 1987) \dots \dots \dots \quad (17)$$

dimana :

- |   |                                     |
|---|-------------------------------------|
| $k$ = konstanta laju  | $A$ = faktor frekuensi              |
| $T$ = suhu absolut  | $E_a$ = energi aktifasi dalam J/mol |
| $R$ = tetapan gas dinyatakan sebagai $8,314 \text{ J/mol}\cdot\text{K}$ |                                     |



### **III. METODOLOGI PENELITIAN**

#### **3.1 Waktu dan Tempat**

Penelitian ini dilaksanakan dari bulan Mei 2009 sampai dengan Desember 2009 di Laboratorium Kimia Anorganik Fakultas MIPA Unila. Analisis dengan spektfotometer UV-Vis dilakukan di Laboratorium Biomass FMIPA Unila dan Laboratorium Hama dan Penyakit Tanaman Fakultas Pertanian Unila. Analisis dengan spektfotometer Inframerah dilakukan di Laboratorium Biomass FMIPA Unila.

#### **3.2 Alat dan Bahan**

##### **3.2.1 Alat**

Alat-alat yang digunakan pada penelitian ini adalah alat-alat gelas yang umum digunakan dalam laboratorium, pengukur waktu, neraca analitis, pH meter, Peralatan termostat (*transistor relay, termoregulator, dinamix stirer, heater, thermometer, chamber*), spektrofotometer UV-Vis (*Genesys<sup>TM</sup> 10 Series Spectrophotometers*) dan spektrofotometer IR.

##### **3.2.2 Bahan**

Bahan yang digunakan adalah senyawa kompleks *Cis-[Co(phen)<sub>2</sub>(CN)<sub>2</sub>]*, buffer, aquabides, serbuk Cu, asam nitrat (HNO<sub>3</sub>), dimetil sulfoksida (DMSO).

### 3.3 Cara Kerja

Dalam penelitian ini diperlukan kondisi yang baik terutama suhu, karena suhu yang tidak konsan akan mempengaruhi kinetika reaksi. Untuk itu percobaan dilakukan dalam termostat.

#### 3.3.1 Penentuan panjang gelombang maksimum kompleks sebelum dan sesudah berinteraksi dengan gas NO<sub>2</sub>

##### 3.3.1.1. Penentuan panjang gelombang maksimum kompleks sebelum berinteraksi dengan gas NO<sub>2</sub>

0,0001 gram kompleks *Cis*-[Co(phen)<sub>2</sub>(CN)<sub>2</sub>] EtOH·H<sub>2</sub>O hasil sintesis dilarutkan dalam 10 mL DMSO kemudian ditentukan panjang gelombang maksimumnya pada rentang 200-800 nm menggunakan spektrofotometer *UV-Vis*.

##### 3.3.1.2 Penentuan panjang gelombang maksimum kompleks sesudah berinteraksi dengan gas NO<sub>2</sub>

0,54735 gram (0,001 mol, 10mL) senyawa kompleks *Cis*-[Co(phen)<sub>2</sub>(CN)<sub>2</sub>] dilarutkan dalam 25 mL DMSO dan direaksikan dengan 0,0004 mol NO<sub>2</sub> (0,038 gram serbuk Cu dalam 0,5 mL HNO<sub>3</sub>), kemudian didiamkan selama 24 jam (waktu tak berhingga). Larutan yang terbentuk ditentukan panjang gelombang maksimumnya pada rentang 200-800 nm menggunakan spektrofotometer *UV-Vis*.

Diagram alir penelitian ini dapat dilihat pada Lampiran 1.

### **3.3.2 Pengaruh pH terhadap Laju Reaksi Senyawa Kompleks *Cis*-[Co(phen)<sub>2</sub>(CN)<sub>2</sub>] dengan Gas NO<sub>2</sub>**

Untuk mengetahui pengaruh keasaman (pH) terhadap laju reaksi maka pada percobaan ini dilakukan dengan memvariasikan pH 5, 7 dan 8, serta memvariasikan konsentrasi kompleks *Cis*-[Co(phen)<sub>2</sub>(CN)<sub>2</sub>] yaitu dari  $6,67 \times 10^{-4}$  M sampai  $3,3 \times 10^{-5}$  M, sedangkan konsentrasi gas NO<sub>2</sub> dibuat konstan. Gas NO<sub>2</sub> dibuat dengan mereaksikan 0,038 gram serbuk Cu dengan 0,5 mL HNO<sub>3</sub>. Untuk menentukan pengaruh pH terhadap laju reaksi senyawa kompleks *Cis*-[Co(phen)<sub>2</sub>(CN)<sub>2</sub>] dengan gas NO<sub>2</sub> dilakukan percobaan sebagai berikut :

1. Senyawa kompleks *Cis*-[Co(phen)<sub>2</sub>(CN)<sub>2</sub>] dilarutkan dalam pelarut DMSO dan diatur keasaman (pH) larutan dengan menambahkan larutan buffer sehingga pH larutan 5 (Tabel 2).
2. Larutan *Cis*-[Co(phen)<sub>2</sub>(CN)<sub>2</sub>] direaksikan dengan gas NO<sub>2</sub>, pada saat ini dicatat sebagai waktu nol ( $t = 0$ ).
3. Campuran dibiarkan selama 2,5 jam, kemudian diukur serapannya dengan selang waktu 60 menit sampai reaksi berjalan selama 6,5 jam ( $A_t$ ) pada panjang gelombang maksimum yang diperoleh pada percobaan 3.3.1.2.
4. Setelah pengukuran  $A_t$ , campuran di atas dibiarkan selama 24 jam, kemudian baru diukur serapannya ( $A_\sim$ ) pada panjang gelombang maksimum yang diperoleh pada percobaan 3.3.1.2.
5. Data yang diperoleh digunakan untuk menentukan laju reaksi, orde reaksi *Cis*-[Co(phen)<sub>2</sub>(CN)<sub>2</sub>], konstanta reaksi dan hukum laju reaksi gas NO<sub>2</sub> dengan kompleks *Cis*-[Co(phen)<sub>2</sub>(CN)<sub>2</sub>].

6. Hal yang sama dilakukan untuk variasi konsentrasi kompleks *Cis*-  
 $[\text{Co}(\text{phen})_2(\text{CN})_2]$  pada pH 7 dan pH 8 (Tabel 3 dan 4).
7. Diagram alir penelitian ini dapat dilihat pada Lampiran 1.

**Tabel 2. Reaksi *Cis*-  $[\text{Co}(\text{phen})_2(\text{CN})_2]$  dengan  $\text{NO}_2$  dengan variasi konsentrasi pada pH 5 pada suhu 27 °C.**

| No | [ $\text{Co}(\text{phen})_2(\text{CN})_2$ ]<br>(M) | mol                  | $\text{NO}_2$<br>(M)  | mmol | Volume<br>(mL) |
|----|--|----------------------|-----------------------|------|----------------|
| 1  | $3,3 \times 10^{-5}$                               | $0,5 \times 10^{-6}$ | $2,67 \times 10^{-2}$ | 0,4  | 15mL           |
| 2  | $1,64 \times 10^{-4}$                              | $2,5 \times 10^{-6}$ | $2,67 \times 10^{-2}$ | 0,4  | 15mL           |
| 3  | $3,29 \times 10^{-4}$                              | $5,0 \times 10^{-6}$ | $2,67 \times 10^{-2}$ | 0,4  | 15mL           |
| 4  | $5,03 \times 10^{-4}$                              | $7,5 \times 10^{-6}$ | $2,67 \times 10^{-2}$ | 0,4  | 15mL           |
| 5  | $6,67 \times 10^{-4}$                              | $10 \times 10^{-6}$  | $2,67 \times 10^{-2}$ | 0,4  | 15mL           |

**Tabel 3. Reaksi *Cis*-  $[\text{Co}(\text{phen})_2(\text{CN})_2]$  dengan  $\text{NO}_2$  dengan variasi konsentrasi pada pH 7 pada suhu 27 °C.**

| No | [ $\text{Co}(\text{phen})_2(\text{CN})_2$ ]<br>(M) | mol                  | $\text{NO}_2$<br>(M)  | mmol | Volume<br>(mL) |
|----|--|----------------------|-----------------------|------|----------------|
| 1  | $3,3 \times 10^{-5}$                               | $0,5 \times 10^{-6}$ | $2,67 \times 10^{-2}$ | 0,4  | 15mL           |
| 2  | $1,64 \times 10^{-4}$                              | $2,5 \times 10^{-6}$ | $2,67 \times 10^{-2}$ | 0,4  | 15mL           |
| 3  | $3,29 \times 10^{-4}$                              | $5,0 \times 10^{-6}$ | $2,67 \times 10^{-2}$ | 0,4  | 15mL           |
| 4  | $5,03 \times 10^{-4}$                              | $7,5 \times 10^{-6}$ | $2,67 \times 10^{-2}$ | 0,4  | 15mL           |
| 5  | $6,67 \times 10^{-4}$                              | $10 \times 10^{-6}$  | $2,67 \times 10^{-2}$ | 0,4  | 15mL           |

**Tabel 4. Reaksi *Cis*- $[\text{Co}(\text{phen})_2(\text{CN})_2]$  dengan  $\text{NO}_2$  dengan variasi konsentrasi pada pH 8 pada suhu 27 °C.**

| No | [ $\text{Co}(\text{phen})_2(\text{CN})_2$ ]<br>(M) | mol                  | $\text{NO}_2$<br>(M)  | mmol | Volume<br>(mL) |
|----|--|----------------------|-----------------------|------|----------------|
| 1  | $3,3 \times 10^{-5}$                               | $0,5 \times 10^{-6}$ | $2,67 \times 10^{-2}$ | 0,4  | 15mL           |
| 2  | $1,64 \times 10^{-4}$                              | $2,5 \times 10^{-6}$ | $2,67 \times 10^{-2}$ | 0,4  | 15mL           |
| 3  | $3,29 \times 10^{-4}$                              | $5,0 \times 10^{-6}$ | $2,67 \times 10^{-2}$ | 0,4  | 15mL           |
| 4  | $5,03 \times 10^{-4}$                              | $7,5 \times 10^{-6}$ | $2,67 \times 10^{-2}$ | 0,4  | 15mL           |
| 5  | $6,67 \times 10^{-4}$                              | $10 \times 10^{-6}$  | $2,67 \times 10^{-2}$ | 0,4  | 15mL           |

### 3.3.3 Pengaruh Suhu terhadap Laju Reaksi Senyawa Kompleks *Cis*-[Co(phen)<sub>2</sub>(CN)<sub>2</sub>] dengan gas NO<sub>2</sub>

Untuk mengetahui pengaruh suhu terhadap laju reaksi maka reaksi dilakukan pada suhu yang bervariasi yaitu 27, 50, 60 dan 70°C. Pada reaksi ini konsentrasi kompleks *Cis*-[Co(phen)<sub>2</sub>(CN)<sub>2</sub>] yaitu  $6,67 \times 10^{-4}$  M dan gas NO<sub>2</sub> 0,4 mol. Untuk mengetahui pengaruh suhu terhadap laju reaksi ini maka dilakukan percobaan sebagai berikut :

1. Suhu diatur dengan menggunakan termostat dan keasaman larutan diatur pada pH optimum sesuai hasil percobaan 3.3.2.
2. Dalam termostat, larutan *Cis*-[Co(phen)<sub>2</sub>(CN)<sub>2</sub>] direaksikan dengan gas NO<sub>2</sub>, pada saat ini dicatat sebagai waktu nol ( $t = 0$ ).
3. Campuran dibiarkan selama 2,5 jam, kemudian diukur serapannya dengan selang waktu 60 menit sampai reaksi berjalan selama 6,5 jam ( $A_t$ ) pada panjang gelombang maksimum yang diperoleh pada percobaan 3.3.1.2.
4. Setelah pengukuran  $A_t$ , campuran di atas dibiarkan selama 24 jam, kemudian baru diukur serapannya ( $A_\sim$ ) pada panjang gelombang maksimum yang diperoleh pada percobaan 3.3.1.2.
5. Dari data yang diperoleh ditentukan laju, orde reaksi *Cis*-[Co(phen)<sub>2</sub>(CN)<sub>2</sub>], konstanta reaksi dan energi aktifasi reaksinya.
6. Diagram alir penelitian ini dapat dilihat pada Lampiran 1.

### **3.3.4 Penentuan Gugus Fungsional Dalam Senyawa Kompleks *Cis*-[Co(phen)<sub>2</sub>(CN)<sub>2</sub>] Setelah Berinteraksi dengan Gas NO<sub>2</sub> dengan Menggunakan Spektrofotometer Inframerah**

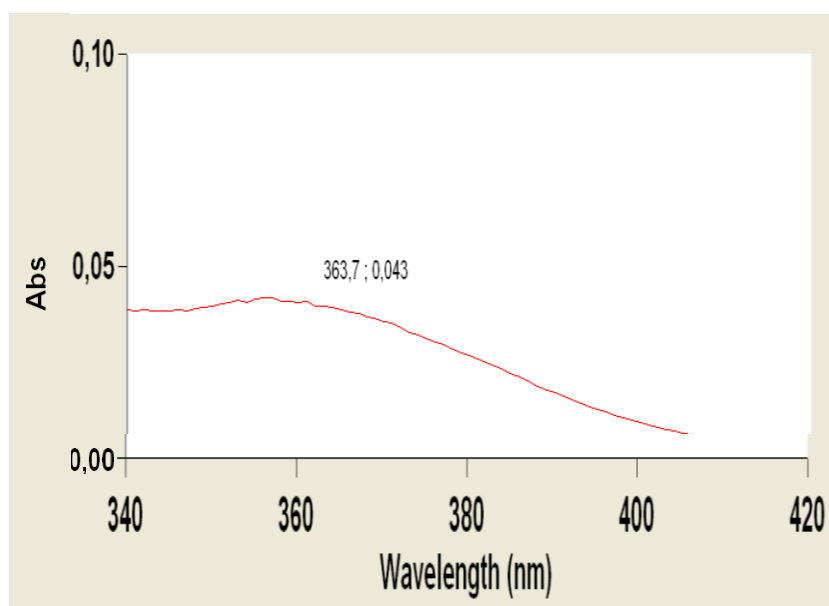
Hasil interaksi senyawa kompleks *Cis*-[Co(phen)<sub>2</sub>(CN)<sub>2</sub>] dengan gas NO<sub>2</sub> yang optimum pada percobaan 3.3.3 dikarakterisasi dengan menggunakan spektrofotometer inframerah untuk mengetahui bagaimana interaksi yang terjadi antara senyawa kompleks *Cis*-[Co(phen)<sub>2</sub>(CN)<sub>2</sub>] dengan gas NO<sub>2</sub> yang bisa dilihat dari data gugus fungsional senyawa kompleks hasil interaksi dengan gas NO<sub>2</sub>.

## IV. HASIL DAN PEMBAHASAN

### **4.1. Penentuan Panjang Gelombang Maksimum Kompleks Sebelum dan Sesudah Berinteraksi dengan Gas NO<sub>2</sub>**

#### **4.1.1. Penentuan panjang gelombang maksimum kompleks sebelum berinteraksi dengan gas NO<sub>2</sub>**

0,0001 gram kompleks *Cis*-[Co(phen)<sub>2</sub>(CN)<sub>2</sub>] EtOH·H<sub>2</sub>O hasil sintesis dilarutkan dalam 10 mL DMSO kemudian ditentukan panjang gelombang maksimumnya pada rentang 200 – 800 nm menggunakan spektrofotometer *UV-Vis*. Hasil spektrum menunjukkan serapan maksimum pada panjang gelombang 363,7 nm seperti pada Gambar 3.

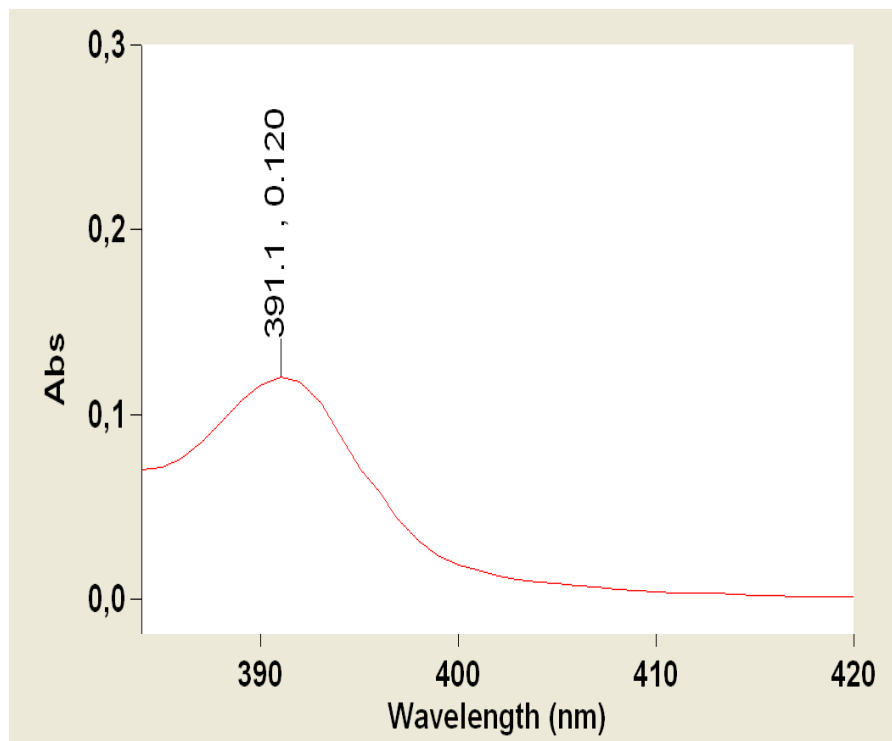


Gambar 3. Spektrum serapan senyawa kompleks *Cis*-[Co(phen)<sub>2</sub>(CN)<sub>2</sub>]

Spektrum kompleks *Cis*-[Co(phen)<sub>2</sub>(CN)<sub>2</sub>] menunjukkan serapan pada panjang gelombang yang besar hal ini dikarenakan atom N pada ligan phenantrolin yang terkoordinasi dalam senyawa kompleks relatif kaya akan elektron dengan kerapatan elektron yang semakin besar. Selain itu adanya perpindahan muatan dari logam ke ligan yang membentuk cincin segilima mengakibatkan sistem  $\pi$  ligan akan berkoordinasi pada atom yang lebih banyak yaitu dengan ikut serta ion pusat Co(II). Hal ini menyebabkan transisi  $\pi \rightarrow \pi^*$  ligan terkoordinasi membutuhkan energi yang lebih kecil sehingga akan menghasilkan serapan pada panjang gelombang yang lebih besar. Seperti diketahui tansisi  $\pi \rightarrow \pi^*$  dapat terjadi dengan adanya gugus fungsional tak jenuh yang dapat menyediakan orbital  $\pi$  dan transisi tersebut terjadi pada daerah serapan antara 200 – 800 nm.

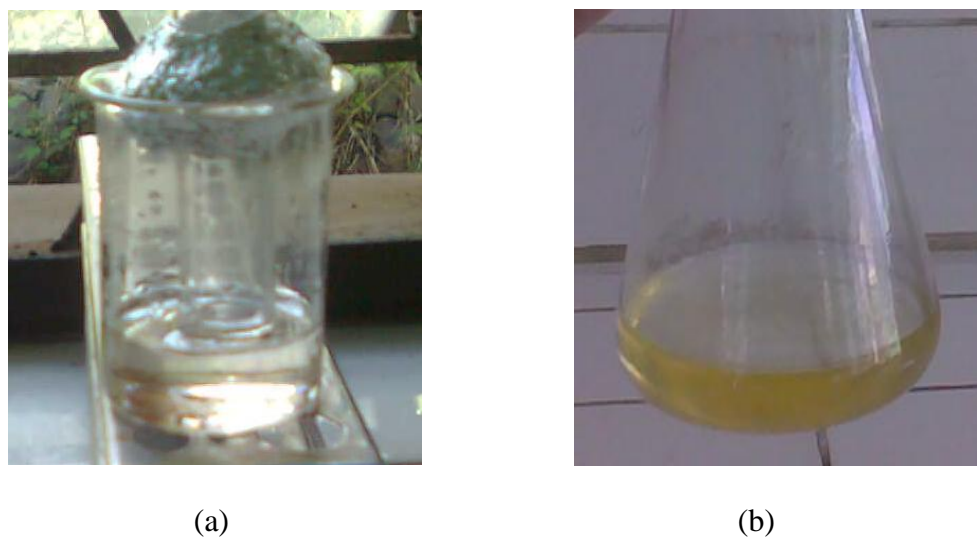
#### **4.1.2. Penentuan panjang gelombang maksimum kompleks sesudah berinteraksi dengan gas NO<sub>2</sub>**

0,0689 gram (0,0001 mol, 10 mL) senyawa kompleks *Cis*-[Co(phen)<sub>2</sub>(CN)<sub>2</sub>] dilarutkan dalam 10 mL DMSO direaksikan dengan 0,0004 mol NO<sub>2</sub> (0,038 gram serbuk Cu dalam 0,5mL HNO<sub>3</sub>) kemudian didiamkan selama 24 jam (waktu tak berhingga), kemudian ditentukan panjang gelombang maksimumnya pada rentang 200 – 800 nm menggunakan spektrofotometer *UV-Vis*. Hasil spektrum menunjukkan serapan maksimum pada panjang gelombang 391 nm seperti pada Gambar 4.



Gambar 4. Spektrum serapan senyawa kompleks *Cis*-[Co(phen)<sub>2</sub>(CN)<sub>2</sub>] setelah berinteraksi dengan gas NO<sub>2</sub>.

Spektrum serapan kompleks sebelum dan sesudah bereaksi dengan gas NO<sub>2</sub> menunjukkan bahwa telah terjadi pergeseran kearah panjang gelombang yang lebih panjang (batokromik) sebesar 27,4 nm. Pergeseran ini dapat disebabkan adanya suatu auksokrom. Substituen nitrogen seperti NO<sub>2</sub> adalah auksokrom, yaitu suatu substituen pada kromofor yang menghasilkan pergeseran serapan kearah panjang gelombang yang lebih besar. Selain itu, pergeseran panjang gelombang juga disertai dengan hasil pengamatan secara visual dari warna senyawa kompleks dalam pelarut DMSO sebelum dan sesudah berinteraksi dengan gas NO<sub>2</sub> yaitu dari kuning agak keruh menjadi kuning terang (Gambar 5).



Gambar 5. (a). Larutan kompleks *Cis*-[Co(phen)<sub>2</sub>(CN)<sub>2</sub>] sebelum diinteraksikan dengan gas NO<sub>2</sub>. (b). Larutan kompleks *Cis*-[Co(phen)<sub>2</sub>(CN)<sub>2</sub>] sesudah diinteraksikan dengan gas NO<sub>2</sub>

#### 4.2 Pengaruh pH terhadap Laju Reaksi Senyawa Kompleks *Cis*-[Co(phen)<sub>2</sub>(CN)<sub>2</sub>] dengan Gas NO<sub>2</sub>

##### 4.2.1 Laju Reaksi

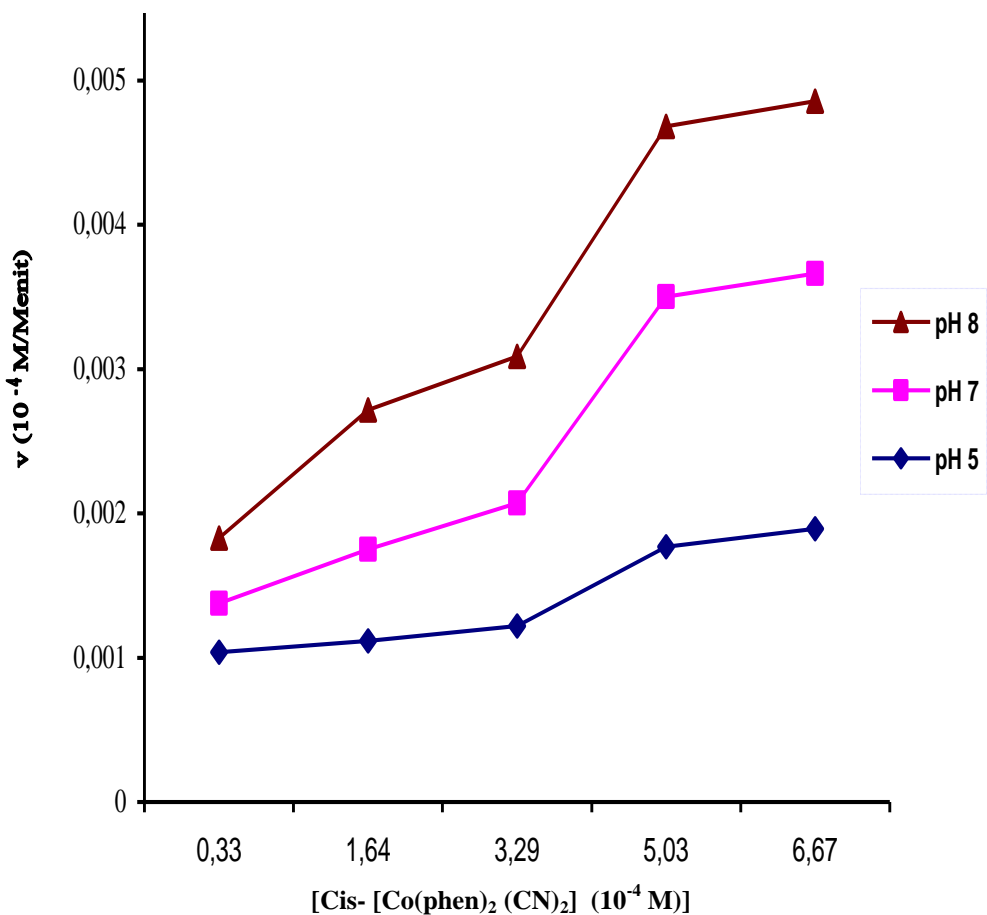
Kinetika kimia adalah studi membahas tentang laju reaksi dan mekanisme terjadinya suatu reaksi. Laju reaksi adalah perubahan (pengurangan) konsentrasi pereaksi atau penambahan konsentrasi hasil reaksi dalam satuan waktu. Laju reaksi dapat ditentukan dengan cara mengikuti perubahan sifat selama reaksi. Dengan menganalisis campuran reaksi dalam selang waktu tertentu, maka konsentrasi pereaksi dan produk reaksi dapat dihitung. Dalam penelitian ini, metode yang digunakan untuk mempelajari kinetika reaksi senyawa kompleks *Cis*-[Co(phen)<sub>2</sub>(CN)<sub>2</sub>] dengan gas NO<sub>2</sub> adalah metode spektrofotometri. Metode ini telah digunakan pada studi kinetika kompleks palladium (II) dengan 2-(5-bromo-2-pyridylazo)5-diethylaminophenol oleh Shraydeh dan Zuhri dengan menggunakan variasi suhu 16, 20, 25, 31, dan 36°C dengan pH optimum sebesar

3,53 pada panjang gelombang maksimum ( $\lambda$ ) sebesar 590 nm. Pada penelitian ini didapatkan bahwa reaksi lebih cepat pada suhu 25 °C (Shraydeh and Abu Zuhri, 1987). Metode yang sama juga telah dilakukan pada penelitian reaksi senyawa kompleks Cr<sup>2+</sup> dengan EDTA oleh Ilim dengan menggunakan variasi pH 3,8, 4,4 dan 5,8 dengan variasi suhu 27, 30, 35 dan 40°C pada panjang gelombang 545 nm. Pada penelitian ini didapatkan bahwa orde reaksi Cr(H<sub>2</sub>O)<sub>6</sub><sup>+3</sup> adalah satu dan orde reaksi H<sub>2</sub>Y<sup>2-</sup> adalah nol (Ilim, 1989).

Untuk mempelajari kinetika reaksi maka dalam penelitian ini reaksi dilakukan dengan memvariasikan konsentrasi kompleks, suhu, serta pH larutan. Laju reaksi dari pembentukan kompleks ini merupakan laju terbentuknya *Cis*-Co(phen)<sub>2</sub>(CN)<sub>2</sub> yang ditentukan dari koefisien arah tg x dari grafik antara (A<sub>~</sub> - A<sub>t</sub>) terhadap waktu. Dimana orde reaksi ditentukan dengan metode reaksi isolasi yaitu konsentrasi kompleks divariasikan sedangkan konsentrasi gas NO<sub>2</sub> dibuat konstan. Tabel 6 dan Gambar 5 adalah hubungan antara konsentrasi kompleks *Cis*-Co(phen)<sub>2</sub>(CN)<sub>2</sub> dengan laju reaksi pada variasi pH 5, 7, 8 dengan suhu 27 °C. Tabel 6 di dapatkan dari perhitungan data pengamatan pada Lampiran 2, 3 dan 4 (Tabel 11 – 25).

Tabel 6. Hasil perhitungan untuk menentukan laju reaksi, pada pH 5, 7 dan 8, suhu 27°C dan  $\lambda$  391 nm

| No | Konsentrasi (M)                         |                        | Laju reaksi (M/menit)  |                         |                        |
|----|---|------------------------|------------------------|-------------------------|------------------------|
|    | Co(phen) <sub>2</sub> (CN) <sub>2</sub> | NO <sub>2</sub>        | pH 5                   | pH 7                    | pH 8                   |
| 1  | 3,3 x10 <sup>-5</sup>                   | 2,67 x10 <sup>-2</sup> | 1,04 x10 <sup>-3</sup> | 3,38 x10 <sup>-4</sup>  | 4,5 x10 <sup>-4</sup>  |
| 2  | 1,64 x10 <sup>-4</sup>                  | 2,67 x10 <sup>-2</sup> | 1,12 x10 <sup>-3</sup> | 6,32 x10 <sup>-4</sup>  | 9,7 x10 <sup>-4</sup>  |
| 3  | 3,29 x10 <sup>-4</sup>                  | 2,67 x10 <sup>-2</sup> | 1,22 x10 <sup>-3</sup> | 8,55 x10 <sup>-4</sup>  | 10,2 x10 <sup>-4</sup> |
| 4  | 5,03 x10 <sup>-4</sup>                  | 2,67 x10 <sup>-2</sup> | 1,77 x10 <sup>-3</sup> | 17,32 x10 <sup>-4</sup> | 11,8 x10 <sup>-4</sup> |
| 5  | 6,67 x10 <sup>-4</sup>                  | 2,67 x10 <sup>-2</sup> | 1,89 x10 <sup>-3</sup> | 17,7 x10 <sup>-4</sup>  | 11,9 x10 <sup>-4</sup> |



Gambar 6. Kurva hubungan laju reaksi dengan konsentrasi  $\text{Cis- } [\text{Co}(\text{phen})_2(\text{CN})_2]$  untuk reaksi antara senyawa kompleks  $\text{Cis- } [\text{Co}(\text{phen})_2(\text{CN})_2]$  dengan gas  $\text{NO}_2$  pada suhu  $27^\circ\text{C}$  dan pH 5, 7 dan 8.

Dari Tabel 6 dan Gambar 6 terlihat bahwa pada pH 7 semakin besar konsentrasi reaktan maka laju reaksi semakin besar. Hal ini terjadi karena jika konsentrasi pereaksi diperbesar dalam suatu reaksi, berarti kerapatan partikelnya bertambah dan akan memperbanyak kemungkinan terjadinya tumbukan efektif sehingga akan mempercepat laju reaksi (Petrucci, 1987).

#### 4.2.2 Orde reaksi

Orde reaksi adalah jumlah atom atau molekul dari reaktan yang konsentrasinya memegang peranan penting dalam menentukan laju reaksi. Orde reaksi dapat berupa bilangan bulat kecil atau pecahan kecil. Dalam penelitian ini, orde reaksi ditentukan dengan metode isolasi yaitu dengan memvariasikan konsentrasi kompleks dan membuat konstan konsentrasi gas NO<sub>2</sub>. Tabel 7, 8 dan 9 adalah data hasil penentuan orde reaksi senyawa kompleks *Cis*-[Co(phen)<sub>2</sub>(CN)<sub>2</sub>] pada penelitian pengaruh suhu terhadap laju reaksi senyawa kompleks *Cis*-[Co(phen)<sub>2</sub>(CN)<sub>2</sub>] dengan gas NO<sub>2</sub>. Tabel 7, 8 dan 9 diperoleh dari perhitungan data pengamatan pada Lampiran 8 (Tabel 41 – 43).

Tabel 7. Hasil perhitungan untuk menentukan laju reaksi, orde reaksi dan konstanta laju reaksi pada pH 5, suhu 27°C dan λ 391 nm

| No | Konsentrasi                             |                        | v                       | Orde Reaksi | k'                     |
|----|---|------------------------|-------------------------|-------------|------------------------|
|    | Co(phen) <sub>2</sub> (CN) <sub>2</sub> | NO <sub>2</sub>        |                         |             |                        |
| 1  | 3,3 x10 <sup>-5</sup>                   | 2,67 x10 <sup>-2</sup> | 1,037 x10 <sup>-3</sup> |             | 1,24 x10 <sup>-3</sup> |
| 2  | 1,64 x10 <sup>-4</sup>                  | 2,67 x10 <sup>-2</sup> | 1,117 x10 <sup>-3</sup> |             | 1,38 x10 <sup>-3</sup> |
| 3  | 3,29 x10 <sup>-4</sup>                  | 2,67 x10 <sup>-2</sup> | 1,218 x10 <sup>-3</sup> | 0,1932      | 0,83 x10 <sup>-3</sup> |
| 4  | 5,03 x10 <sup>-4</sup>                  | 2,67 x10 <sup>-2</sup> | 1,769 x10 <sup>-3</sup> |             | 0,98 x10 <sup>-3</sup> |
| 5  | 6,67 x10 <sup>-4</sup>                  | 2,67 x10 <sup>-2</sup> | 1,893 x10 <sup>-3</sup> |             | 3,36 x10 <sup>-3</sup> |

Tabel 8. Hasil perhitungan untuk menentukan laju reaksi, orde reaksi dan konstanta laju reaksi pada pH 7, suhu 27°C dan λ 391 nm

| No | Konsentrasi                             |                        | v                       | Orde Reaksi | k'                     |
|----|---|------------------------|-------------------------|-------------|------------------------|
|    | Co(phen) <sub>2</sub> (CN) <sub>2</sub> | NO <sub>2</sub>        |                         |             |                        |
| 1  | 3,3 x10 <sup>-5</sup>                   | 2,67 x10 <sup>-2</sup> | 3,38 x10 <sup>-4</sup>  |             | 0,46 x10 <sup>-3</sup> |
| 2  | 1,64 x10 <sup>-4</sup>                  | 2,67 x10 <sup>-2</sup> | 6,32 x10 <sup>-4</sup>  |             | 0,2 x10 <sup>-3</sup>  |
| 3  | 3,29 x10 <sup>-4</sup>                  | 2,67 x10 <sup>-2</sup> | 8,55 x10 <sup>-4</sup>  | 0,5615      | 0,14 x10 <sup>-3</sup> |
| 4  | 5,03 x10 <sup>-4</sup>                  | 2,67 x10 <sup>-2</sup> | 17,32 x10 <sup>-4</sup> |             | 1,48 x10 <sup>-3</sup> |
| 5  | 6,67 x10 <sup>-4</sup>                  | 2,67 x10 <sup>-2</sup> | 17,7 x10 <sup>-4</sup>  |             | 1,73 x10 <sup>-3</sup> |

Tabel 9. Hasil perhitungan untuk menentukan laju reaksi, orde reaksi dan konstanta laju reaksi pada pH 8, suhu 27°C dan  $\lambda$  391 nm

| No | Konsentrasi                             |                        | v                      | Orde Reaksi | k'                     |
|----|---|------------------------|------------------------|-------------|------------------------|
|    | Co(phen) <sub>2</sub> (CN) <sub>2</sub> | NO <sub>2</sub>        |                        |             |                        |
| 1  | 3,3 x10 <sup>-5</sup>                   | 2,67 x10 <sup>-2</sup> | 4,5 x10 <sup>-4</sup>  |             | 1,02 x10 <sup>-3</sup> |
| 2  | 1,64 x10 <sup>-4</sup>                  | 2,67 x10 <sup>-2</sup> | 9,7 x10 <sup>-4</sup>  |             | 0,63 x10 <sup>-3</sup> |
| 3  | 3,29 x10 <sup>-4</sup>                  | 2,67 x10 <sup>-2</sup> | 10,2 x10 <sup>-4</sup> | 0,3237      | 0,65 x10 <sup>-3</sup> |
| 4  | 5,03 x10 <sup>-4</sup>                  | 2,67 x10 <sup>-2</sup> | 11,8 x10 <sup>-4</sup> |             | 2,34 x10 <sup>-3</sup> |
| 5  | 6,67 x10 <sup>-4</sup>                  | 2,67 x10 <sup>-2</sup> | 11,9 x10 <sup>-4</sup> |             | 1,72 x10 <sup>-3</sup> |

Secara matematis orde reaksi dapat ditentukan dengan persamaan regresi linier :

$$b = \frac{n \sum x \cdot y - \sum x \cdot \sum y}{n \cdot (\sum x^2) - (\sum x)^2} \quad ..... 19)$$

$$a = \bar{y} - b \cdot \bar{x} \quad ..... 20)$$

$$y = a + b \cdot x \quad ..... 21)$$

dimana :

$$x = \log [Co(phen)<sub>2</sub>(CN)<sub>2</sub>]$$

$$y = \log v$$

$$n = \text{jumlah variasi konsentrasi}$$

$$b = \text{orde reaksi kompleks } Cis-[Co(phen)<sub>2</sub>(CN)<sub>2</sub>]$$

Sehingga persamaan laju reaksi senyawa kompleks *Cis*-[Co(phen)<sub>2</sub>(CN)<sub>2</sub>] dengan gas NO<sub>2</sub> dapat dituliskan ;

$$\frac{d [Produk]}{dt} = k' [Co(phen)<sub>2</sub>(CN)<sub>2</sub>]<sup>b</sup> \quad ..... 22)$$

$$\text{dimana } k' = k [NO_2]^x \quad ..... 23)$$

Dari Tabel 7 dapat dilihat bahwa orde reaksi untuk kompleks *Cis*-[Co(phen)<sub>2</sub>(CN)<sub>2</sub>] pada pH 5 adalah 0,1932 dan pada pH 8 adalah 0,3237 (Tabel 9). Nilai ini sangat kecil mendekati nilai nol, hal ini dapat diartikan bahwa perubahan konsentrasi senyawa kompleks *Cis*-[Co(phen)<sub>2</sub>(CN)<sub>2</sub>] tidak banyak

mempengaruhi laju reaksi. Sehingga pada pH 5 dan 8 bukanlah kondisi yang terbaik untuk reaksi senyawa kompleks *Cis*-[Co(phen)<sub>2</sub>(CN)<sub>2</sub>] dengan gas NO<sub>2</sub>.

Pada Tabel 8 terlihat bahwa pada pH 7 orde reaksi kompleks *Cis*-[Co(phen)<sub>2</sub>(CN)<sub>2</sub>] bernilai 0,5615, nilai ini bila dibulatkan maka nilai terdekat pembulatannya adalah satu. Ini menunjukkan bahwa laju reaksi tergantung pada pangkat satu dari konsentrasi senyawa kompleks *Cis*-[Co(phen)<sub>2</sub>(CN)<sub>2</sub>] yang berarti bahwa jika konsentrasi senyawa kompleks ini dilipatkan maka laju reaksi akan menjadi meningkat.

Berdasarkan hasil penelitian pengaruh pH terhadap laju reaksi senyawa kompleks *Cis*-[Co(phen)<sub>2</sub>(CN)<sub>2</sub>] dengan gas NO<sub>2</sub> maka didapatkan hukum laju reaksi pada pH 7 sebagai berikut :

$$v = k' [Cis\text{-}[Co(phen)_2(CN)_2]] \quad (\text{M/menit}) \quad ..... 24)$$

dimana :  $k' = k [NO_2]^x$

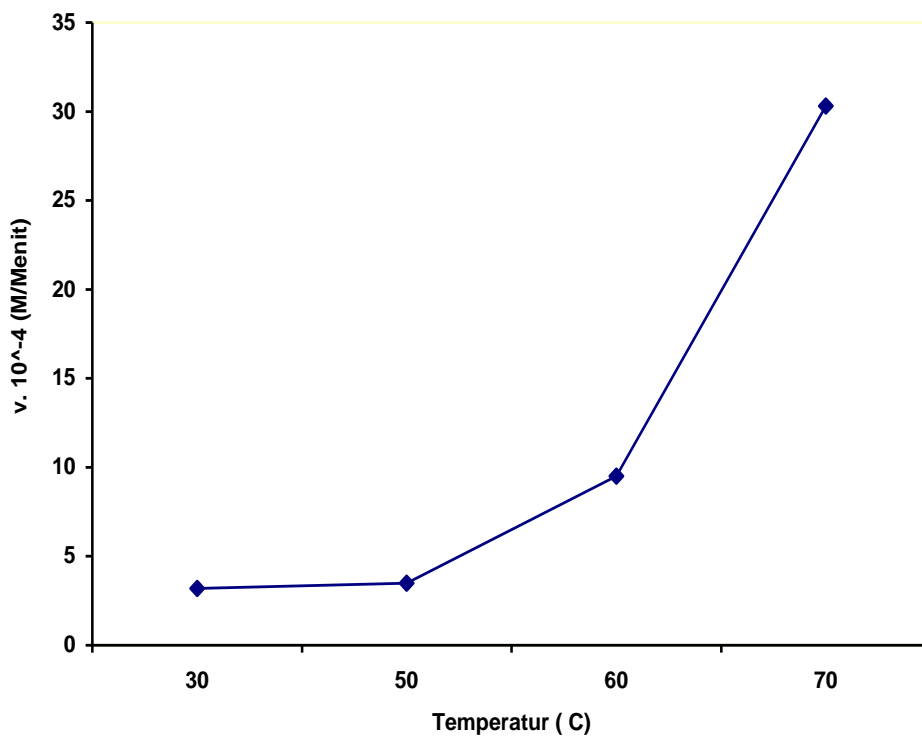
#### **4.3. Pengaruh Suhu terhadap Laju Reaksi Senyawa Kompleks *Cis*-[Co(phen)<sub>2</sub>(CN)<sub>2</sub>] dengan Gas NO<sub>2</sub>**

Untuk mengetahui pengaruh suhu terhadap laju reaksi maka reaksi dilakukan dengan variasi pada suhu 27, 50, 60, dan 70 °C, masing-masing dilakukan pada pH 7 dan dengan konsentrasi [Co(phen)<sub>2</sub>(CN)<sub>2</sub>]  $6,7 \times 10^{-4}$ M dan gas NO<sub>2</sub>  $4 \times 10^{-4}$  mol. Reaksi ini dilakukan dalam termostat untuk mengkondisikan agar suhu tetap stabil sesuai pada suhu yang diinginkan. Rangkaian termostat dapat dilihat pada Gambar 7.



Gambar 7. Rangkaian termostat untuk mereaksikan senyawa kompleks *Cis*-[Co(phen)<sub>2</sub>(CN)<sub>2</sub>] dengan gas NO<sub>2</sub> pada suhu bervariasi dan pH 7

Jika temperatur dinaikkan maka laju reaksi semakin besar pada reaksi endoterm dan laju akan semakin kecil pada reaksi eksoterm. Berdasarkan penelitian Van't Hoff dan Arhenius, perubahan laju reaksi sebagai akibat perubahan temperatur yang berubah adalah konstanta laju reaksi ( $k$ ). Harga  $k$  mengalami kenaikan apabila temperatur naik dan harga  $k$  berkurang dengan turunnya temperatur. Secara matematis harga konstanta laju reaksi ( $k$ ) mempunyai peranan penting dalam reaksi kimia. Harga konstanta laju reaksi didapatkan dari koefisien arah grafik antara  $\log (A_{\infty} - A_t)$  terhadap waktu. Data pengamatan dan hasil perhitungan laju, konstanta laju reaksi dan energi aktivasi reaksi senyawa kompleks *Cis*-[Co(phen)<sub>2</sub>(CN)<sub>2</sub>] dengan gas NO<sub>2</sub> pada pH 7 dengan variasi suhu dapat dilihat pada Tabel 10 yang diperoleh dari perhitungan data pengamatan pada Lampiran 9 dan 10 (Tabel 44 – 52).



Gambar 8. Kurva hubungan laju dengan temperatur reaksi senyawa kompleks *Cis*- [Co(phen)<sub>2</sub>(CN)<sub>2</sub>] dengan gas NO<sub>2</sub> pada pH 7.

Tabel 10. Hasil perhitungan untuk menentukan k' dan energi aktifasi (Ea) pada 391 nm dan pH 7.

| No | T (°C) | v                     | k'                   | Ea (kkal/mol·K) |
|----|--------|-----------------------|----------------------|-----------------|
| 1  | 27     | $3,2 \times 10^{-4}$  | $1,1 \times 10^{-4}$ |                 |
| 2  | 50     | $3,5 \times 10^{-4}$  | $1,7 \times 10^{-4}$ |                 |
| 3  | 60     | $9,5 \times 10^{-4}$  | $2,6 \times 10^{-4}$ | 6,3682          |
| 4  | 70     | $30,3 \times 10^{-4}$ | $4,7 \times 10^{-4}$ |                 |

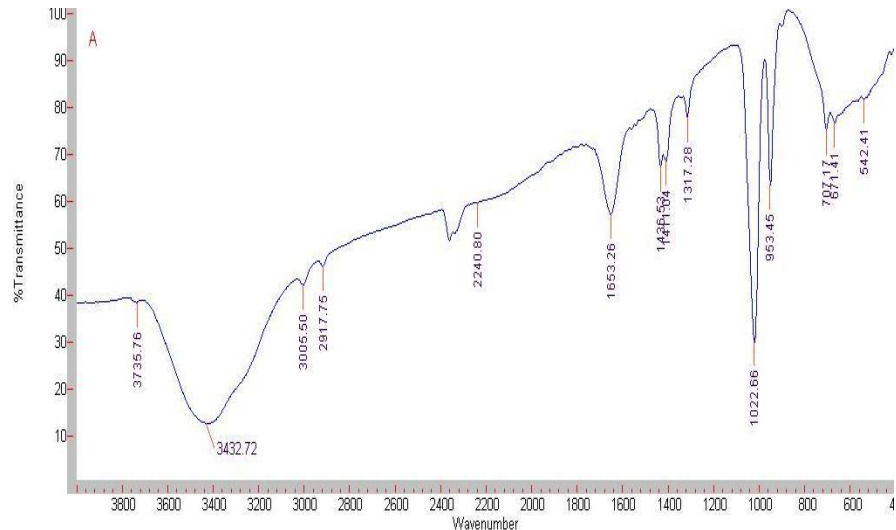
Dari hasil penelitian ini didapatkan pada Tabel 10 dan Gambar 8 terlihat bahwa konstanta laju reaksi kompleks *Cis*-[Co(phen)<sub>2</sub>(CN)<sub>2</sub>] meningkat dengan meningkatnya suhu reaksi. Hal ini sesuai dengan hasil penelitian Van't Hoff dan Arhenius bahwa harga k akan berubah jika jenis reaktan berbeda, suhu berbeda dan faktor lain yang mempengaruhi sifat dari reaktan, dimana harga k akan

bertambah besar dengan naiknya suhu. Pada Tabel 10 telihat bahwa nilai konstanta reaksi meningkat dengan meningkatnya suhu reaksi.

Harga energi aktifasi didapatkan dari koefisien arah grafik  $\log k' \text{ Vs } 1/T$ . Hasil perhitungan energi aktifasi reaksi senyawa kompleks *Cis*-[Co(phen)<sub>2</sub>(CN)<sub>2</sub>] dengan gas NO<sub>2</sub> dapat dilihat pada Tabel 10 yang diperoleh dari perhitungan data pengamatan pada Lampiran 10 (Tabel 52).

Berdasarkan persamaan laju (Persamaan 11) dan persamaan Archenius (Persamaan 16), pada berbagai suhu maka dengan mengukur laju reaksi dapat ditentukan nilai energi aktifasi. Energi katifasi untuk Cr<sup>+3</sup> dan Rh<sup>+3</sup> adalah 27 – 33 kkal/mol·K, sedangkan Ni<sup>2+</sup>, Cu<sup>2+</sup> dan Co<sup>2+</sup> adalah 5 - 10 kkal/mol·K. Dari data pengamatan dan hasil perhitungan pada percobaan ini diperoleh nilai energi aktifasi reaksi senyawa kompleks *Cis*-[Co(phen)<sub>2</sub>(CN)<sub>2</sub>] dengan Gas NO<sub>2</sub> adalah 6,3682 kkal/mol·K. Ini berarti bahwa energi minimum yang harus diberikan agar reaksi antara senyawa kompleks *Cis*-[Co(phen)<sub>2</sub>(CN)<sub>2</sub>] dengan gas NO<sub>2</sub> dapat berlangsung adalah 6,3682 kkal/mol·K.

#### 4.4. Penentuan Gugus Fungsional dalam Senyawa Kompleks *Cis*-[Co(phen)<sub>2</sub>(CN)<sub>2</sub>] Setelah Berinteraksi dengan Gas NO<sub>2</sub> dengan Menggunakan Spektrofotometer Inframerah



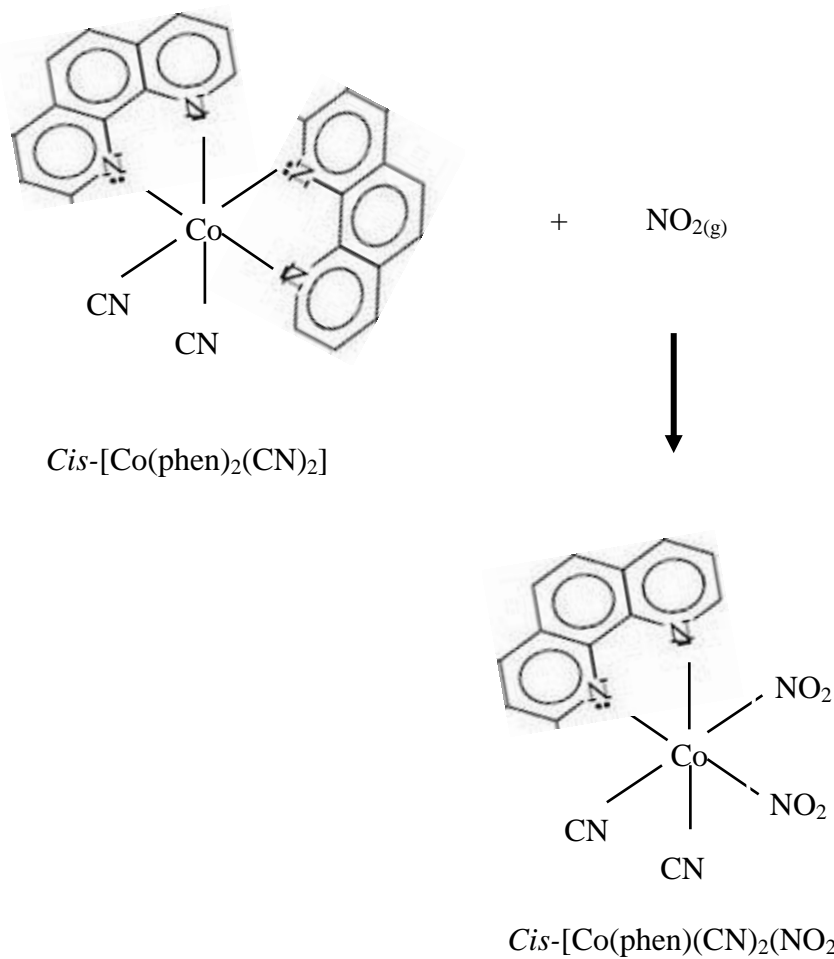
Gambar 9. Spektrum inframerah kompleks *Cis*-[Co(phen)<sub>2</sub>(CN)<sub>2</sub>] setelah berinteraksi dengan gas NO<sub>2</sub>

Dari Gambar 9 terlihat bahwa spektrum inframerah kompleks *Cis*-[Co(phen)<sub>2</sub>(CN)<sub>2</sub>] setelah berinteraksi dengan gas NO<sub>2</sub> menunjukkan karakterisasi ikatan yang kuat pada 1653,26 cm<sup>-1</sup> (teori 1600-1700 cm<sup>-1</sup>) untuk C=C, 1436,53 cm<sup>-1</sup> (teori 1400 – 1500 cm<sup>-1</sup>) untuk C=N, 2917,75 cm<sup>-1</sup> (teori 2850 - 3000 cm<sup>-1</sup>) untuk C-H dan 2240 cm<sup>-1</sup> (teori di daerah 2200 cm<sup>-1</sup>) untuk C≡N. Ikatan pada 707,17 cm<sup>-1</sup> (teori 700 - 800 cm<sup>-1</sup>) untuk cincin piridin pada ligan fenantrolin yang terkoordinasi, 1411,04 cm<sup>-1</sup> (teori 1400 - 1600 cm<sup>-1</sup>) untuk NO<sub>2</sub>, dan 3432,72 cm<sup>-1</sup> (teori 320 - 3600 cm<sup>-1</sup> tajam dan lebar) menunjukkan O-H dari molekul etanol yang terhidrat. Spektrum inframerah kompleks *Cis*-[Co(phen)<sub>2</sub>(CN)<sub>2</sub>] setelah berinteraksi dengan gas NO<sub>2</sub> menunjukkan karakterisasi ikatan M-NO<sub>2</sub> pada 1411,04 cm<sup>-1</sup> (teori 1400 - 1600 cm<sup>-1</sup>), ikatan ini menandakan bahwa logam Co berikatan langsung pada gugus NO<sub>2</sub> (Sujadi, 1983). Berdasarkan

hasil analisis gugus fungsi dengan menggunakan spektrofotometer inframerah maka dapat disimpulkan bahwa hasil interaksi kompleks *Cis*-[Co(phen)<sub>2</sub>(CN)<sub>2</sub>] dengan gas NO<sub>2</sub> adalah senyawa kompleks [Co(phen)(CN)<sub>2</sub>(NO<sub>2</sub>)<sub>2</sub>] EtOH · H<sub>2</sub>O.

Dalam deret spektrokimia, NO<sub>2</sub> merupakan ligan yang lebih lemah dari sianida dan ligan yang lebih kuat dari fenantrolin, sehingga NO<sub>2</sub> dapat menggantikan fenantrolin. Adanya efek trans memungkinkan reaksi substitusi pada kompleks [Co(phen)<sub>2</sub>(CN)<sub>2</sub>] dengan gas NO<sub>2</sub>.

Kemungkinan reaksi yang terjadi antara senyawa kompleks *Cis*-[Co(phen)<sub>2</sub>(CN)<sub>2</sub>] dengan gas NO<sub>2</sub> adalah :



*Cis*-[Co(phen)(CN)<sub>2</sub>(NO<sub>2</sub>)<sub>2</sub>]

(Defrianti, 2007)

## V. KESIMPULAN DAN SARAN

### 5.1 Kesimpulan

Berdasarkan hasil penelitian yang telah dilakukan maka dapat disimpulkan :

1. Laju reaksi senyawa kompleks *cis*- [Co(phen)<sub>2</sub>(CN)<sub>2</sub>] dengan gas NO<sub>2</sub> merupakan reaksi orde pertama pada pH 7, dan reaksi orde nol pada pH 5 dan 8.
2. Semakin tinggi temperatur maka semakin cepat laju reaksi, dimana suhu optimum reaksi senyawa kompleks *cis*- [Co(phen)<sub>2</sub>(CN)<sub>2</sub>] dengan gas NO<sub>2</sub> adalah 70 °C
3. Energi aktivasi dari reaksi senyawa kompleks *cis*-[Co(phen)<sub>2</sub>(CN)<sub>2</sub>] dengan gas NO<sub>2</sub> adalah 6,36822 kkal/mol·K

### 5.2 Saran

Berdasarkan hasil penelitian ini, perlu dipelajari lebih lanjut bagaimana memanfaatkan kompleks *cis*-[Co(phen)<sub>2</sub>(CN)<sub>2</sub>] ini sebagai adsorben polutan gas NO<sub>2</sub>.

## DAFTAR PUSTAKA

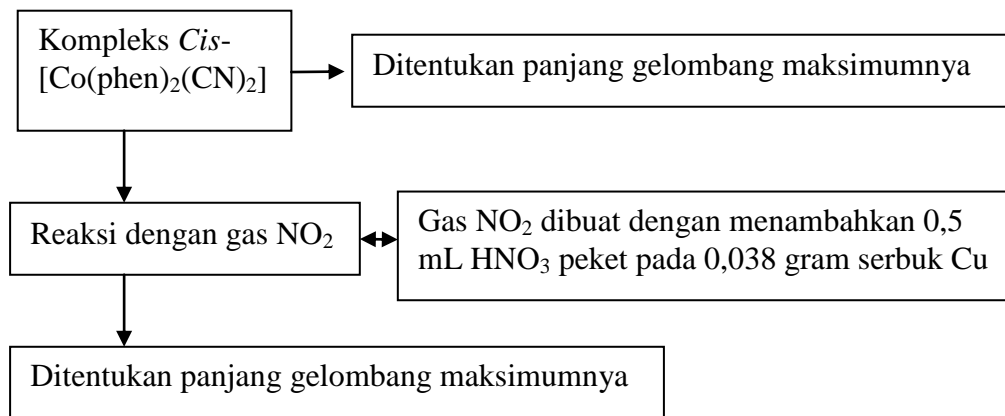
- Cotton, F. A. dan G. Wilkinson. 1989. Kimia anorganik dasar. Penterjemah S.Suharto. Universitas Indonesia Press. Jakarta. 665 hlm.
- Day, M. C. Jr. dan J. Selbin. 1987. Kimia Anorganik Teori. Terjemahan W. Susetyo. Gajah Mada University Press. Yogyakarta. 823 hlm
- Defrianti, D. 2007. Sintesis dan karakterisasi kompleks Co(II) menggunakan ligan 1,10-phenantrolin dan Sianida.(Skripsi). Universitas Lampung. Bandar Lampung. 71 pp.
- Dermawati, D. 2005. Sintesis, karakterisasi sifat magnet dan analisis termal kompleks  $ML'L''$  ( $M=Co(II), L'=phen, L''=CN$ ). Jurnal Ilmiah MIPA, Vol VIII, No. 2. pp1-5.
- Fangfang, J., H. Xiao, L. Li, P. Sun. 2003. Syntesis, crystal structure and thermal stability of bis (1,10-Phenantroline) Cobalt(II) Cyanide Etanol Solvate Dihydrate. J. Coord Chemistry. Vol 57. No.13, P. 1131-1137.
- Glenn D. R, Jr. 1953 . Some physico-chemical propertise of the system nitric acid-nitrogen diokside-water. California Institute of Technology. California
- Huheey, J.E., E.A. Keiter, R.L Keiter. 1993. Inorganic chemistry principles of structure and reactivity. 4<sup>th</sup> edition. Harper Collins. New York. 964 hlm
- Ilim. 1989. Studi kinetika reaksi pembentukan senyawa kompleks krom-etilen diamin terta asetat (CrEDTA) dengan metode spektrofotometri. FMIPA Andalas. Padang.
- Jolly, W. L. 1991. Modern inorganic chemistry. Mc Graw-Hill Book, Inc. Singapore. 655 hlm.
- Justiana S. 2006. Konverter katalitik, kurangi kadar emisi gas buang. Pikiran rakyat 27 april 2006.

- Khopkar, S. M. 1990. Konsep Dasar Kimia Analitik. Universitas Indonesia Press. Jakarta. 429 hlm.
- Keenan, dkk. 1986. Kimia Untuk Universitas. Penterjemah Aloysius Hadyana Pudjaatmaka. Erlangga. Jakarta. Hal: 686 hlm.
- Mastuti, O. 2008. *Sintesis dan Karakterisasi Kompleks Co(II) Menggunakan Ligand Fenantrolin, Sianida dan NO<sub>2</sub>*. (Skripsi). Universitas Lampung. Bandar Lampung. 83 PP
- Messayu, P., S. Yogie, B. Hari. 2008. Magic Box Sebagai Pereduksi Polutan Udara. Lomba Inovasi Teknologi lingkungan. IPB. Bogor.
- Miller, F. M. 1984. Chemistry : Structure and Dynamic. Mc. Graw-Hill. Inc. New York. Hlm 773-796
- Nayak, S.C, P. K. Das, K. K. Sahoo. 2002. *Synthesis and Characterization of Some Cobalt(III) Complexes Containing Heterocyclic Nitrogen Donor Ligands*. chemistry. Pap. 57 (2) . pp 91- 96.
- Nugraheni, D. 2008. *Studi Pengaruh Waktu, Konsentrasi, pH, dan Temperature dalam Reaksi Kompleks [Fe(phen)<sub>2</sub>(CN)<sub>2</sub>] dengan Gas NO<sub>2</sub>*. FMIPA Universitas Lampung. Bandar Lampung
- Petrucci, Ralp. H. 1987. Kimia Dasar Prinsip dan Terapan Modern Jilid 2. Erlangga. Jakarta. 365 hlm.
- Planaph, R. P. G. P. 2002. *Novel Cytotoxic Chelators That Bind Iron (II) Selectively Over Zink (II) Under Aquaeous Aerobic Condition*. Biochemical Society Transaction. Dept. of Chem. University of Hampshire. USA, Vol 30, Part 4. Pp. 758-762
- Purcell, K.F. dan Kotz, J.C. 1980. An Introduction to Inorganic Chemistry. Sounders College. New York. 619 hlm.
- Saito, T. 1996. Buku Teks Online Kimia Anorganik. Iwanami shoten. Tokyo. 202 hlm.
- Sastrawijaya, T. 1991. Pencamaran Lingkungan. Rineka Cipta. Jakarta. hlm 165-201
- Shryadeh, B.F. and Abuzuhri, A. 1987. *Kinetic Study of the Complexation of Palladium (II) with 2-(5-bromo-2-pyridylazo)-5-diethylaminophenol*. Vol 1 No 4, hal 12- 19
- Simamora, A. 1997. Studi Pengompleksan Co(II) dan Mn(II) dengan Ligand 1,10-Fenantrolin-4,7-dimetil-1,10-fenantrolin dan Rodanida. Karya Utama Magister Ilmu Kimia. Universitas Indonesia. Jakarta

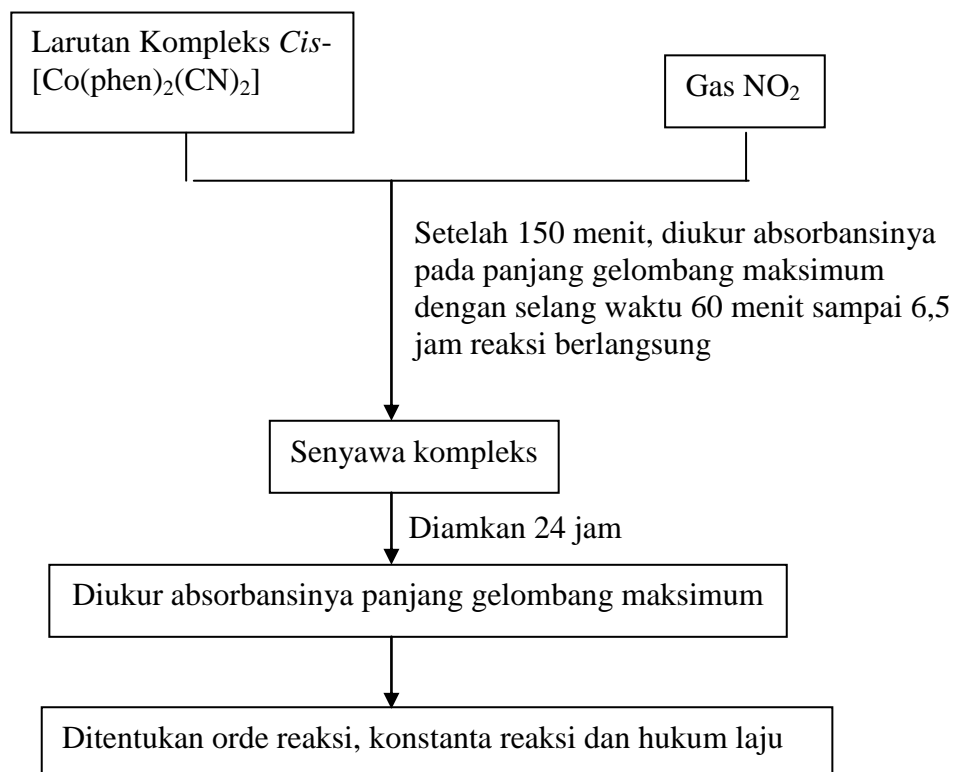
- Sujadi. 1983. Penentuan Struktur Senyawa Organik. Ghalia Indonesia. Jakarta.
- Sukardjo. 1989. Kimia Koordinasi. Rineka Cipta. Jakarta. 152 hlm.
- Svehla, G. 1985. Analisis Anorganik Kualitatif Makro dan Semimikro. PT. Kalman Media Pustaka ; Jakarta

### Lampiran 1. Diagram Alir Penelitian.

#### L.1. Penentuan Panjang Gelombang Maksimum Senyawa Kompleks *Cis*- [Co(phen)<sub>2</sub>(CN)<sub>2</sub>] Sebelum dan Sesudah Berinteraksi Dengan Gas NO<sub>2</sub>



#### L.2. Pengaruh pH dan Suhu Terhadap Laju Reaksi Senyawa Kompleks *cis*- [Co(phen)<sub>2</sub>(CN)<sub>2</sub>] Dengan Gas NO<sub>2</sub>



**Lampiran 2. Data Pengamatan reaksi untuk konsentrasi  $[Co(phen)_2(CN)_2]$  bervariasi dan konsentrasi  $NO_2$  konstan pH 5 suhu  $27^\circ C$**

**1. Menentukan laju reaksi.**

Laju reaksi ditentukan dengan cara membuat grafik antara  $(A_{\infty} - At)$  vs  $t$ , dimana koefisien arah ( $tg \alpha$ ) dari grafik menyatakan laju reaksi ( $v$ ). Salah satu contoh adalah untuk konsentrasi *Cis*- $[Co(phen)_2(CN)_2]$   $3,3 \times 10^{-5}$  M +  $4 \times 10^{-4}$  mol  $NO_2$  pada pH 5 suhu  $27^\circ C$ .

Tabel 11. Laju reaksi pada konsentrasi *Cis*- $[Co(phen)_2(CN)_2]$   $3,3 \times 10^{-5}$  M pH 5

| No   | t (min) | At    | $A_{\infty} - At$ | $t(A_{\infty} - At)$ | $t^2$  | Laju reaksi (b)          |
|------|---------|-------|-------------------|----------------------|--------|--------------------------|
| 1    | 150     | 0,149 | 0,290             | 43,50                | 22500  |                          |
| 2    | 210     | 0,157 | 0,282             | 59,22                | 44100  |                          |
| 3    | 270     | 0,258 | 0,181             | 48,87                | 72900  | $-1,0367 \times 10^{-3}$ |
| 4    | 330     | 0,329 | 0,110             | 36,30                | 108900 |                          |
| 5    | 390     | 0,374 | 0,065             | 25,35                | 152100 |                          |
| 6    | ~       | 0,439 |                   |                      |        |                          |
| Tot  | 1350    | 1,267 | 0,928             | 213,24               | 400500 |                          |
| Rata | 270     | 0,253 | 0,186             | 42,648               | 80100  |                          |

Perhitungan – perhitungan :

$$\begin{aligned}
 b &= \frac{n \sum(xy) - \sum x \cdot \sum y}{n \cdot \sum(x^2) - (\sum x)^2} \\
 &= \frac{n \sum(t(A_{\infty} - At)) - \sum t \cdot \sum(A_{\infty} - At)}{n \cdot \sum(t^2) - (\sum t)^2} \\
 &= \frac{5(213,24) - (1350 \cdot 0,928)}{5(400500) - (1350)^2} \\
 &= -1,0367 \times 10^{-3} \text{ M/menit}
 \end{aligned}$$

$$\begin{aligned}
 a &= \bar{y} - b \cdot \bar{x} \\
 &= (\overline{A_{\infty} - At}) - b \cdot \bar{t} \\
 &= 0,186 - (-1,0367 \times 10^{-3}) \cdot 270 \\
 &= 0,46591
 \end{aligned}$$

$$y = a + b \cdot X$$

$$= 0,46591 + (-1,0367 \times 10^{-3}) \cdot x$$

$$y = 0,46591 + (-1,0367 \times 10^{-3}) \cdot t$$

dengan :  $x = t$  dan  $y = (A_{\infty} - A_t)$

$n$  = jumlah pengukuran sampel

-  $b$  = laju reaksi (M/menit)

Jadi laju reaksi untuk konsentrasi *Cis*-[Co(phen)<sub>2</sub>(CN)<sub>2</sub>]  $3,3 \times 10^{-4}$  M +  $4 \times 10^{-4}$  mol NO<sub>2</sub> pada pH 5 suhu 27 °C adalah  $1,0367 \times 10^{-3}$  M/menit. Dengan cara yang sama dapat ditentukan laju reaksi untuk data yang lain.

Tabel 12. Laju reaksi pada konsentrasi *Cis*-[Co(phen)<sub>2</sub>(CN)<sub>2</sub>]  $1,6 \times 10^{-4}$  M pH 5

| No   | t (min) | A <sub>t</sub> | A <sub>∞</sub> - A <sub>t</sub> | t(A <sub>∞</sub> - A <sub>t</sub> ) | t <sup>2</sup> | Laju reaksi (b)            |
|------|---------|----------------|---------------------------------|-------------------------------------|----------------|----------------------------|
| 1    | 150     | 0,263          | 0,309                           | 46,35                               | 22500          |                            |
| 2    | 210     | 0,318          | 0,254                           | 53,34                               | 44100          |                            |
| 3    | 270     | 0,419          | 0,153                           | 41,31                               | 72900          | -1,1167 × 10 <sup>-3</sup> |
| 4    | 330     | 0,492          | 0,080                           | 26,40                               | 108900         |                            |
| 5    | 390     | 0,511          | 0,061                           | 23,79                               | 152100         |                            |
| 6    | ~       | 0,572          | -                               |                                     |                |                            |
| Tot  | 1350    | 2,003          | 0,857                           | 191,19                              | 400500         |                            |
| Rata | 270     | 0,401          | 0,171                           | 38,24                               | 80100          |                            |

Tabel 13. Laju reaksi pada konsentrasi *Cis*-[Co(phen)<sub>2</sub>(CN)<sub>2</sub>]  $3,3 \times 10^{-4}$  M pH 5

| No   | t (min) | A <sub>t</sub> | A <sub>∞</sub> - A <sub>t</sub> | t(A <sub>∞</sub> - A <sub>t</sub> ) | t <sup>2</sup> | Laju reaksi (b)            |
|------|---------|----------------|---------------------------------|-------------------------------------|----------------|----------------------------|
| 1    | 150     | 0,441          | 0,449                           | 67,35                               | 22500          |                            |
| 2    | 210     | 0,509          | 0,381                           | 80,01                               | 44100          |                            |
| 3    | 270     | 0,589          | 0,301                           | 81,27                               | 72900          | -1,2183 × 10 <sup>-3</sup> |
| 4    | 330     | 0,640          | 0,250                           | 82,50                               | 108900         |                            |
| 5    | 390     | 0,741          | 0,149                           | 58,11                               | 152100         |                            |
| 6    | ~       | 0,890          |                                 |                                     |                |                            |
| Tot  | 1350    | 3,810          | 1,530                           | 369,24                              | 400500         |                            |
| Rata | 270     | 0,584          | 0,306                           | 73,85                               | 80100          |                            |

Tabel 14. Laju reaksi pada konsentrasi *Cis*-[Co(phen)<sub>2</sub>(CN)<sub>2</sub>] 5 x 10<sup>-4</sup>M pH 5

| No   | t (min) | At    | A~□-At | t(A~□-At) | t <sup>2</sup> | Laju reaksi (b)         |
|------|---------|-------|--------|-----------|----------------|-------------------------|
| 1    | 150     | 0,976 | 0,596  | 89,40     | 22500          |                         |
| 2    | 210     | 1,150 | 0,422  | 88,62     | 44100          |                         |
| 3    | 270     | 1,179 | 0,393  | 106,11    | 72900          | 1,7689x10 <sup>-3</sup> |
| 4    | 330     | 1,393 | 0,179  | 59,07     | 108900         |                         |
| 5    | 390     | 1,470 | 0,102  | 39,78     | 152100         |                         |
| 6    | ~       | 1,572 | -      |           |                |                         |
| Tot  | 1350    | 3,305 | 1,411  | 284,13    | 139500         |                         |
| Rata | 270     | 1,234 | 0,338  | 76,60     | 80100          |                         |

Tabel 15. Laju reaksi pada konsentrasi *Cis*-[Co(phen)<sub>2</sub>(CN)<sub>2</sub>] 6,7 x 10<sup>-4</sup>M pH 5

| No   | t (min) | At    | A~□-At | t(A~□-At) | t <sup>2</sup> | Laju reaksi (b)           |
|------|---------|-------|--------|-----------|----------------|---------------------------|
| 1    | 150     | 1,080 | 0,437  | 65,55     | 22500          |                           |
| 2    | 210     | 1,222 | 0,295  | 61,95     | 44100          |                           |
| 3    | 270     | 1,413 | 0,104  | 28,08     | 72900          | -1,8933 x10 <sup>-3</sup> |
| 4    | 330     | 1,504 | 0,013  | 4,29      | 108900         |                           |
| 5    | 390     | 1,507 | 0,010  | 3,90      | 152100         |                           |
| 6    | ~       | 1,517 | -      | -         | -              |                           |
| Tot  | 1350    | 6,726 | 0,859  | 163,77    | 400500         |                           |
| Rata | 270     | 1,345 | 0,172  | 32,75     | 80100          |                           |

**Lampiran 3. Data Pengamatan reaksi untuk konsentrasi  $[Co(phen)_2(CN)_2]$  bervariasi dan konsentrasi  $NO_2$  konstan pH 7 suhu 27°C**

Tabel 16. Laju reaksi pada konsentrasi  $Cis-[Co(phen)_2(CN)_2]$   $3,3 \times 10^{-5}$  M pH 7

| No   | t (min) | At    | A $\sim$ -At | t(A $\sim$ -At) | t $^2$ | Laju reaksi (b)        |
|------|---------|-------|--------------|-----------------|--------|------------------------|
| 1    | 150     | 0,306 | 0,189        | 28,35           | 22500  |                        |
| 2    | 210     | 0,346 | 0,149        | 31,29           | 44100  |                        |
| 3    | 270     | 0,355 | 0,140        | 37,80           | 72900  | $-3,38 \times 10^{-4}$ |
| 4    | 330     | 0,373 | 0,122        | 40,26           | 108900 |                        |
| 5    | 390     | 0,394 | 0,101        | 39,39           | 152100 |                        |
| 6    | ~       | 0,495 |              |                 |        |                        |
| Tot  | 1350    | 2,269 | 0,701        | 177,09          | 400500 |                        |
| Rata | 270     | 0,355 | 0,140        | 35,42           | 80100  |                        |

Tabel 17. Laju reaksi pada konsentrasi  $Cis-[Co(phen)_2(CN)_2]$   $1,6 \times 10^{-4}$  M pH 7

| No   | t (min) | At    | A $\sim$ -At | t(A $\sim$ -At) | t $^2$ | Laju reaksi (b)        |
|------|---------|-------|--------------|-----------------|--------|------------------------|
| 1    | 150     | 0,135 | 0,674        | 101,10          | 22500  |                        |
| 2    | 210     | 0,148 | 0,661        | 138,81          | 44100  |                        |
| 3    | 270     | 0,184 | 0,625        | 168,75          | 72900  | $-6,32 \times 10^{-4}$ |
| 4    | 330     | 0,205 | 0,604        | 199,32          | 108900 |                        |
| 5    | 390     | 0,296 | 0,513        | 200,07          | 152100 |                        |
| 6    | ~       | 0,809 | -            |                 |        |                        |
| Tot  | 1350    | 0,968 | 3,077        | 808,05          | 400500 |                        |
| Rata | 270     | 0,194 | 0,615        | 161,61          | 80100  |                        |

Tabel 18. Laju reaksi pada konsentrasi  $Cis-[Co(phen)_2(CN)_2]$   $3,3 \times 10^{-4}$  M pH 7

| No   | t (min) | At    | A $\sim$ -At | t(A $\sim$ -At) | t $^2$ | Laju reaksi (b)        |
|------|---------|-------|--------------|-----------------|--------|------------------------|
| 1    | 150     | 0,220 | 1,275        | 191,25          | 22500  |                        |
| 2    | 210     | 0,248 | 1,247        | 261,87          | 44100  |                        |
| 3    | 270     | 0,270 | 1,225        | 330,75          | 72900  | $-8,55 \times 10^{-4}$ |
| 4    | 330     | 0,317 | 1,178        | 388,74          | 108900 |                        |
| 5    | 390     | 0,442 | 1,053        | 410,67          | 152100 |                        |
| 6    | ~       | 1,495 | -            |                 |        |                        |
| Tot  | 1350    | 1,497 | 5,978        | 1583,30         | 400500 |                        |
| Rata | 270     | 0,299 | 1,196        | 316,66          | 80100  |                        |

Tabel 19. Laju reaksi pada konsentrasi *Cis*-[Co(phen)<sub>2</sub>(CN)<sub>2</sub>] 5 x 10<sup>-4</sup>M pH 7

| No   | t (min) | At    | A~□-At | t(A~□-At) | t <sup>2</sup> | Laju reaksi (b)           |
|------|---------|-------|--------|-----------|----------------|---------------------------|
| 1    | 150     | 0,992 | 0,462  | 69,30     | 22500          |                           |
| 2    | 210     | 1,028 | 0,426  | 89,46     | 44100          |                           |
| 3    | 270     | 1,065 | 0,389  | 105,03    | 72900          | -1,7317 x10 <sup>-3</sup> |
| 4    | 330     | 1,279 | 0,175  | 57,75     | 108900         |                           |
| 5    | 390     | 1,386 | 0,068  | 26,52     | 152100         |                           |
| 6    | ~       | 1,454 | -      |           |                |                           |
| Tot  | 1350    | 5,750 | 1,520  | 348,06    | 400500         |                           |
| Rata | 270     | 1,150 | 0,304  | 69,61     | 80100          |                           |

Tabel 20. Laju reaksipada konsentrasi *Cis*-[Co(phen)<sub>2</sub>(CN)<sub>2</sub>] 6,7 x 10<sup>-4</sup>M pH 7

| No   | t (min) | At    | A~□-At | t(A~□-At) | t <sup>2</sup> | Laju reaksi (b)         |
|------|---------|-------|--------|-----------|----------------|-------------------------|
| 1    | 150     | 0,986 | 0,450  | 67,50     | 22500          |                         |
| 2    | 210     | 1,042 | 0,394  | 82,74     | 44100          |                         |
| 3    | 270     | 1,279 | 0,157  | 42,39     | 72900          | -1,77 x10 <sup>-3</sup> |
| 4    | 330     | 1,302 | 0,134  | 44,22     | 108900         |                         |
| 5    | 390     | 1,387 | 0,049  | 19,11     | 152100         |                         |
| 6    | ~       | 1,436 | -      |           |                |                         |
| Tot  | 1350    | 5,996 | 1,184  | 255,96    | 400500         |                         |
| Rata | 270     | 0,922 | 0,237  | 51,19     | 80100          |                         |

**Lampiran 4. Data Pengamatan reaksi untuk konsentrasi  $[Co(phen)_2(CN)_2]$  bervariasi dan konsentrasi  $NO_2$  konstan pH 8 suhu 27°C**

Tabel 21. Laju reaksi pada konsentrasi *Cis*-[ $Co(phen)_2(CN)_2$ ]  $3,3 \times 10^{-5}$  M pH 8

| No   | t (min) | At    | A $\sim$ - At | t(A $\sim$ - At) | t $^2$ | Laju reaksi (b)       |
|------|---------|-------|---------------|------------------|--------|-----------------------|
| 1    | 150     | 0,275 | 0,151         | 22,65            | 22500  |                       |
| 2    | 210     | 0,319 | 0,107         | 22,47            | 44100  |                       |
| 3    | 270     | 0,363 | 0,063         | 17,01            | 72900  | $-4,7 \times 10^{-4}$ |
| 4    | 330     | 0,375 | 0,051         | 16,83            | 108900 |                       |
| 5    | 390     | 0,388 | 0,038         | 14,82            | 152100 |                       |
| 6    | ~       | 0,426 |               |                  |        |                       |
| Tot  | 1350    | 2,146 | 0,410         | 93,78            | 400500 |                       |
| Rata | 270     | 0,344 | 0,082         | 18,76            | 80100  |                       |

Tabel 22. Laju reaksi pada konsentrasi *Cis*-[ $Co(phen)_2(CN)_2$ ]  $1,6 \times 10^{-4}$  M pH 8

| No   | t (min) | At    | A $\sim$ - At | t(A $\sim$ - At) | t $^2$ | Laju reaksi (b)         |
|------|---------|-------|---------------|------------------|--------|-------------------------|
| 1    | 150     | 0,246 | 0,437         | 65,55            | 22500  |                         |
| 2    | 210     | 0,331 | 0,352         | 73,92            | 44100  |                         |
| 3    | 270     | 0,358 | 0,325         | 87,75            | 72900  | $-9,667 \times 10^{-4}$ |
| 4    | 330     | 0,385 | 0,298         | 98,34            | 108900 |                         |
| 5    | 390     | 0,509 | 0,174         | 67,86            | 152100 |                         |
| 6    | ~       | 0,683 | -             |                  |        |                         |
| Tot  | 1350    | 1,829 | 1,586         | 393,42           | 400500 |                         |
| Rata | 270     | 0,502 | 0,317         | 78,68            | 80100  |                         |

Tabel 23. Laju reaksi pada konsentrasi *Cis*-[ $Co(phen)_2(CN)_2$ ]  $3,3 \times 10^{-4}$  M pH 8

| No   | t (min) | At     | A $\sim$ - At | t(A $\sim$ - At) | t $^2$ | Laju reaksi (b)         |
|------|---------|--------|---------------|------------------|--------|-------------------------|
| 1    | 150     | 0,256  | 0,440         | 66,00            | 22500  |                         |
| 2    | 210     | 0,358  | 0,338         | 70,98            | 44100  |                         |
| 3    | 270     | 0,444  | 0,252         | 68,04            | 72900  | $-1,015 \times 10^{-3}$ |
| 4    | 330     | 0,459  | 0,237         | 78,21            | 108900 |                         |
| 5    | 390     | 0,510  | 0,186         | 72,54            | 152100 |                         |
| 6    | ~       | 0,696  | -             |                  |        |                         |
| Tot  | 1350    | 2,027  | 1,453         | 355,77           | 400500 |                         |
| Rata | 270     | 0,4054 | 0,2906        | 71,15            | 80100  |                         |

Tabel 24. Laju reaksi pada konsentrasi *Cis*-[Co(phen)<sub>2</sub>(CN)<sub>2</sub>] 5 x 10<sup>-4</sup>M pH 8

| No   | t (min) | At    | A <sub>~</sub> -At | t(A <sub>~</sub> -At) | t <sup>2</sup> | Laju reaksi (b)          |
|------|---------|-------|--------------------|-----------------------|----------------|--------------------------|
| 1    | 150     | 0,558 | 0,339              | 50,85                 | 22500          |                          |
| 2    | 210     | 0,608 | 0,289              | 60,69                 | 44100          |                          |
| 3    | 270     | 0,704 | 0,193              | 52,11                 | 72900          | -1,375 x10 <sup>-3</sup> |
| 4    | 330     | 0,797 | 0,100              | 33,00                 | 108900         |                          |
| 5    | 390     | 0,876 | 0,021              | 8,19                  | 152100         |                          |
| 6    | ~       | 0,897 | -                  |                       |                |                          |
| Tot  | 1350    | 3,882 | 0,942              | 204,84                | 400500         |                          |
| Rata | 270     | 0,776 | 0,188              | 40,97                 | 80100          |                          |

Tabel 25. Laju reaksi pada konsentrasi *Cis*-[Co(phen)<sub>2</sub>(CN)<sub>2</sub>] 6,7 x 10<sup>-4</sup>M pH 8

| No   | t (min) | At    | A <sub>~</sub> -At | t(A <sub>~</sub> -At) | t <sup>2</sup> | Laju reaksi (b)           |
|------|---------|-------|--------------------|-----------------------|----------------|---------------------------|
| 1    | 150     | 0,696 | 0,323              | 48,45                 | 22500          |                           |
| 2    | 210     | 0,766 | 0,253              | 53,13                 | 44100          |                           |
| 3    | 270     | 0,838 | 0,181              | 48,87                 | 72900          | -1,1933 x10 <sup>-3</sup> |
| 4    | 330     | 0,896 | 0,123              | 40,59                 | 108900         |                           |
| 5    | 390     | 0,989 | 0,030              | 11,70                 | 152100         |                           |
| 6    | ~       | 1,019 | -                  |                       |                |                           |
| Tot  | 1350    | 4,185 | 0,910              | 202,74                | 400500         |                           |
| Rata | 270     | 0,837 | 0,182              | 40,55                 | 80100          |                           |

**Lampiran 5. Data Pengamatan dan perhitungan konstanta reaksi untuk konsentrasi  $[Co(phen)_2(CN)_2]$  bervariasi dan konsentrasi  $NO_2$  konstan pH 5 suhu  $27^\circ C$**

**2. Menentukan konstanta laju reaksi.**

Dari persamaan :  $\log (C-W) + \log C = k' \cdot t/2,303$ , karena  $\log C$  adalah konstan dan  $\log (C-W)$  sebanding dengan besaran fisika ( $A \sim -At$ ), maka grafik  $-\log (A \sim -At)$  vs  $t$  menghasilkan garis lurus dengan koefisien arahnya  $k'/2,303$ . Salah satu contoh penentuan  $k'$  ini adalah untuk konsentrasi *Cis*- $[Co(phen)_2(CN)_2]$   $3,3 \times 10^{-5} M$  +  $4 \times 10^{-4}$  mol  $NO_2$  pada pH 5 suhu  $27^\circ C$ .

Tabel 26. Konstanta laju reaksi *Cis*- $[Co(phen)_2(CN)_2]$   $3,3 \times 10^{-5} M$  pH 5

| No   | t (min) | At    | $-\log(A \sim -At)$ | $t \cdot (-\log(A \sim -At))$ | $t^2$  | b                      | $k'$                   |
|------|---------|-------|---------------------|-------------------------------|--------|------------------------|------------------------|
| 1    | 150     | 0,149 | 0,5376              | 80,6403                       | 22500  |                        |                        |
| 2    | 210     | 0,157 | 0,5498              | 115,4477                      | 44100  |                        |                        |
| 3    | 270     | 0,258 | 0,7423              | 200,4268                      | 72900  | $2,846 \times 10^{-3}$ | $1,236 \times 10^{-3}$ |
| 4    | 330     | 0,329 | 0,9586              | 316,3404                      | 108900 |                        |                        |
| 5    | 390     | 0,374 | 1,1871              | 462,9638                      | 152100 |                        |                        |
| 6    | ~       | 0,439 |                     |                               |        |                        |                        |
| Tot  | 1350    | 1,267 | 3,9754              | 1175,8190                     | 400500 |                        |                        |
| Rata | 270     | 0,253 | 0,7951              | 235,1640                      | 80100  |                        |                        |

$$b = \frac{n \sum (t \cdot (-\log(A \sim -At))) - \sum t \cdot \sum (-\log(A \sim -At))}{n \cdot \sum(t^2) - (\sum t)^2}$$

$$= \frac{5 (1175,819) - (1350 \cdot 3,9754)}{5 (400500) - (1350)^2}$$

$$= 2,846 \times 10^{-3}$$

$$a = \bar{y} - b \cdot \bar{x}$$

$$= \overline{(-\log(A \sim -At))} - b \cdot \bar{t}$$

$$= 0,7951 - 2,846 \times 10^{-3} \cdot 270$$

$$= 2,655 \times 10^{-2}$$

$$y = a + b \cdot x$$

$$= 2,655 \times 10^{-2} + 2,846 \times 10^{-3} \cdot x$$

b merupakan koefisien arah dari grafik =  $k' / 2,303$

$$k' = b \times 2,303 \text{ (menit}^{-1}\text{)}$$

$$= 2,846 \times 10^{-3} \times 2,303$$

$$= 1,236 \times 10^{-3} \text{ menit}^{-1}$$

dengan x = t, y = -log (A<sub>~</sub> - A<sub>t</sub>), dan n = jumlah pengukuran sampel.

Jadi konstanta laju reaksi untuk konsentrasi *Cis*-[Co(phen)<sub>2</sub>(CN)<sub>2</sub>]  $3,3 \times 10^{-5}$  M +  $4 \times 10^{-4}$  mol NO<sub>2</sub> pada pH 5 suhu 27 °C adalah  $1,236 \times 10^{-3}$  menit<sup>-1</sup>. Dengan cara yang sama dapat ditentukan konstanta laju reaksi untuk data yang lain.

Tabel 27. Konstanta laju reaksi pada konsentrasi *Cis*-[Co(phen)<sub>2</sub>(CN)<sub>2</sub>]  $1,6 \times 10^{-4}$  M pH 5

| No   | t (min) | A <sub>t</sub> | -log(A <sub>~</sub> - A <sub>t</sub> ) | t.( -log(A <sub>~</sub> - A <sub>t</sub> ) ) | t <sup>2</sup> | b                      | k'                     |
|------|---------|----------------|--|--|----------------|------------------------|------------------------|
| 1    | 150     | 0,263          | 0,5100                                 | 76,5062                                      | 22500          |                        |                        |
| 2    | 210     | 0,318          | 0,5952                                 | 124,9849                                     | 44100          |                        |                        |
| 3    | 270     | 0,419          | 0,8153                                 | 220,1333                                     | 72900          | $3,185 \times 10^{-3}$ | $1,383 \times 10^{-3}$ |
| 4    | 330     | 0,492          | 1,0969                                 | 361,9803                                     | 108900         |                        |                        |
| 5    | 390     | 0,511          | 1,2147                                 | 473,7214                                     | 152100         |                        |                        |
| 6    | ~       | 0,572          | -                                      |  |                |                        |                        |
| Tot  | 1350    | 2,003          | 4,2321                                 | 1257,3260                                    | 400500         |                        |                        |
| Rata | 270     | 0,401          | 0,8464                                 | 251,4652                                     | 80100          |                        |                        |

Tabel 28. konstanta laju reaksi pada konsentrasi *Cis*-[Co(phen)<sub>2</sub>(CN)<sub>2</sub>]  $3,3 \times 10^{-4}$  M pH 5

| No   | t (min) | A <sub>t</sub> | -log(A <sub>~</sub> - A <sub>t</sub> ) | t.( -log(A <sub>~</sub> - A <sub>t</sub> ) ) | t <sup>2</sup> | b                    | k'                    |
|------|---------|----------------|--|--|----------------|----------------------|-----------------------|
| 1    | 150     | 0,441          | 0,3478                                 | 52,1630                                      | 22500          |                      |                       |
| 2    | 210     | 0,509          | 0,4191                                 | 88,0058                                      | 44100          |                      |                       |
| 3    | 270     | 0,589          | 0,5214                                 | 140,7870                                     | 72900          | $1,9 \times 10^{-3}$ | $8,26 \times 10^{-4}$ |
| 4    | 330     | 0,640          | 0,6021                                 | 198,6798                                     | 108900         |                      |                       |
| 5    | 390     | 0,741          | 0,8268                                 | 322,4574                                     | 152100         |                      |                       |
| 6    | ~       | 0,890          |  |  |                |                      |                       |
| Tot  | 1350    | 3,810          | 2,7171                                 | 802,0930                                     | 400500         |                      |                       |
| Rata | 270     | 0,584          | 0,5434                                 | 160,4186                                     | 80100          |                      |                       |

Tabel 29. Konstanta laju reaksi pada konsentrasi *Cis*-[Co(phen)<sub>2</sub>(CN)<sub>2</sub>] 5 x 10<sup>-4</sup> M  
pH 5

| No   | t (min) | At    | -log(A~- At) | t.(-log(A~- At)) | t <sup>2</sup> | b                     | k'                     |
|------|---------|-------|--------------|------------------|----------------|-----------------------|------------------------|
| 1    | 150     | 0,976 | 0,2248       | 33,713           | 22500          |                       |                        |
| 2    | 210     | 1,150 | 0,3747       | 78,684           | 44100          |                       |                        |
| 3    | 270     | 1,179 | 0,4056       | 109,514          | 72900          | 2,269x10 <sup>3</sup> | 9,85 x10 <sup>-4</sup> |
| 4    | 330     | 1,393 | 0,7472       | 246,558          | 108900         |                       |                        |
| 5    | 390     | 1,470 | 0,9914       | 386,646          | 152100         |                       |                        |
| 6    | ~       | 1,572 | -            |                  |                |                       |                        |
| Tot  | 1350    | 3,305 | 1,0051       | 855,116          | 400500         |                       |                        |
| Rata | 270     | 1,234 | 0,5487       | 171,023          | 80100          |                       |                        |

Tabel 30. Konstanta laju reaksi pada konsentrasi *Cis*-[Co(phen)<sub>2</sub>(CN)<sub>2</sub>] 6,7 x 10<sup>-4</sup> M  
pH 5

| No   | t (min) | At    | -log(A~- At) | t.(-log(A~- At)) | t <sup>2</sup> | b                       | k'                      |
|------|---------|-------|--------------|------------------|----------------|-------------------------|-------------------------|
| 1    | 150     | 1,080 | 0,3595       | 53,9278          | 22500          |                         |                         |
| 2    | 210     | 1,222 | 0,5302       | 111,3374         | 44100          |                         |                         |
| 3    | 270     | 1,413 | 0,9830       | 265,4010         | 72900          | 7,728 x10 <sup>-3</sup> | 3,356 x10 <sup>-3</sup> |
| 4    | 330     | 1,504 | 1,8861       | 622,3987         | 108900         |                         |                         |
| 5    | 390     | 1,507 | 2,0000       | 780,0000         | 152100         |                         |                         |
| 6    | ~       | 1,517 | -            |                  |                |                         |                         |
| Tot  | 1350    | 6,726 | 5,7587       | 1833,0650        | 400500         |                         |                         |
| Rata | 270     | 1,345 | 1,1517       | 366,6130         | 80100          |                         |                         |

**Lampiran 6. Data Pengamatan dan perhitungan konstanta reaksi untuk konsentrasi  $[Co(phen)_2(CN)_2]$  bervariasi dan konsentrasi  $NO_2$  konstan pH 7 suhu 27°C**

Tabel 31. Konstanta laju reaksi pada konsentrasi *Cis*-[ $Co(phen)_2(CN)_2$ ]  $3,3 \times 10^{-5}$  M pH 7

| No   | t (min) | At    | -log(A~- At) | t.(-log(A~- At)) | $t^2$  | b                      | k'                    |
|------|---------|-------|--------------|------------------|--------|------------------------|-----------------------|
| 1    | 150     | 0,306 | 0,7235       | 108,5307         | 22500  |                        |                       |
| 2    | 210     | 0,346 | 0,8268       | 173,6309         | 44100  |                        |                       |
| 3    | 270     | 0,355 | 0,8539       | 230,5454         | 72900  | $1,052 \times 10^{-3}$ | $4,57 \times 10^{-4}$ |
| 4    | 330     | 0,373 | 0,9136       | 301,5013         | 108900 |                        |                       |
| 5    | 390     | 0,394 | 0,9957       | 388,3147         | 152100 |                        |                       |
| 6    | ~       | 0,495 |              |                  |        |                        |                       |
| Tot  | 1350    | 2,269 | 4,3135       | 1202,5230        | 400500 |                        |                       |
| Rata | 270     | 0,355 | 0,8627       | 240,5046         | 80100  |                        |                       |

Tabel 32. Konstanta laju reaksi pada konsentrasi *Cis*-[ $Co(phen)_2(CN)_2$ ]  $1,6 \times 10^{-4}$  M pH 7

| No   | t (min) | At    | -log(A~- At) | t.(-log(A~- At)) | $t^2$  | b                    | k'                   |
|------|---------|-------|--------------|------------------|--------|----------------------|----------------------|
| 1    | 150     | 0,135 | 0,1713       | 25,7010          | 22500  |                      |                      |
| 2    | 210     | 0,148 | 0,1798       | 37,7577          | 44100  |                      |                      |
| 3    | 270     | 0,184 | 0,2041       | 55,1124          | 72900  | $4,6 \times 10^{-4}$ | $2,0 \times 10^{-4}$ |
| 4    | 330     | 0,205 | 0,2190       | 72,2578          | 108900 |                      |                      |
| 5    | 390     | 0,296 | 0,2899       | 113,0542         | 152100 |                      |                      |
| 6    | ~       | 0,809 | -            |                  |        |                      |                      |
| Tot  | 1350    | 0,968 | 1,0641       | 303,8831         | 400500 |                      |                      |
| Rata | 270     | 0,194 | 0,2128       | 60,7766          | 80100  |                      |                      |

Tabel 33. Konstanta laju reaksi pada konsentrasi *Cis*-[ $Co(phen)_2(CN)_2$ ]  $3,3 \times 10^{-4}$  M pH 7

| No   | t (min) | At    | -log(A~- At) | t.(-log(A~- At)) | $t^2$  | b                     | k'                    |
|------|---------|-------|--------------|------------------|--------|-----------------------|-----------------------|
| 1    | 150     | 0,220 | -0,1055      | -15,8265         | 22500  |                       |                       |
| 2    | 210     | 0,248 | -0,0959      | -20,1320         | 44100  |                       |                       |
| 3    | 270     | 0,270 | -0,0881      | -23,7967         | 72900  | $3,18 \times 10^{-4}$ | $1,38 \times 10^{-4}$ |
| 4    | 330     | 0,317 | -0,0712      | -23,4779         | 108900 |                       |                       |
| 5    | 390     | 0,442 | -0,0224      | -8,7471          | 152100 |                       |                       |
| 6    | ~       | 1,495 | -            |                  |        |                       |                       |
| Tot  | 1350    | 1,497 | -0,3831      | -91,9802         | 400500 |                       |                       |
| Rata | 270     | 0,299 | -0,0766      | -18,3960         | 80100  |                       |                       |

Tabel 34. Konstanta laju reaksi pada konsentrasi *Cis*-[Co(phen)<sub>2</sub>(CN)<sub>2</sub>] 5 x 10<sup>-4</sup> M pH 7

| No   | t (min) | At    | -log(A <sub>~</sub> - At) | t.(-log(A <sub>~</sub> - At)) | t <sup>2</sup> | b                       | k'                      |
|------|---------|-------|---------------------------|-------------------------------|----------------|-------------------------|-------------------------|
| 1    | 150     | 0,992 | 0,3354                    | 50,3037                       | 22500          |                         |                         |
| 2    | 210     | 1,028 | 0,3706                    | 77,8240                       | 44100          |                         |                         |
| 3    | 270     | 1,065 | 0,4100                    | 110,7136                      | 72900          | 3,418 x10 <sup>-3</sup> | 1,484 x10 <sup>-3</sup> |
| 4    | 330     | 1,279 | 0,7570                    | 249,7974                      | 108900         |                         |                         |
| 5    | 390     | 1,386 | 1,1675                    | 455,3215                      | 152100         |                         |                         |
| 6    | ~       | 1,454 | -                         |                               |                |                         |                         |
| Tot  | 1350    | 5,750 | 3,0404                    | 943,9603                      | 400500         |                         |                         |
| Rata | 270     | 1,150 | 0,6081                    | 188,7921                      | 80100          |                         |                         |

Tabel 35. Konstanta laju reaksipada konsentrasi *Cis*-[Co(phen)<sub>2</sub>(CN)<sub>2</sub>] 6,7 x 10<sup>-4</sup> M pH 7

| No   | t (min) | At    | -log(A <sub>~</sub> - At) | t.(-log(A <sub>~</sub> - At)) | t <sup>2</sup> | b                       | k'                      |
|------|---------|-------|---------------------------|-------------------------------|----------------|-------------------------|-------------------------|
| 1    | 150     | 0,986 | 0,3468                    | 52,0181                       | 22500          |                         |                         |
| 2    | 210     | 1,042 | 0,4045                    | 84,9458                       | 44100          |                         |                         |
| 3    | 270     | 1,279 | 0,8041                    | 217,1071                      | 72900          | 3,991 x10 <sup>-3</sup> | 1,733 x10 <sup>-3</sup> |
| 4    | 330     | 1,302 | 0,8729                    | 288,0554                      | 108900         |                         |                         |
| 5    | 390     | 1,387 | 1,3098                    | 510,8235                      | 152100         |                         |                         |
| 6    | ~       | 1,436 | -                         |                               |                |                         |                         |
| Tot  | 1350    | 5,996 | 3,7381                    | 1152,95                       | 400500         |                         |                         |
| Rata | 270     | 0,922 | 0,7476                    | 230,59                        | 80100          |                         |                         |

**Lampiran 7. Data Pengamatan dan perhitungan konstanta reaksi untuk konsentrasi  $Cis\text{-}[Co(phen)_2(CN)_2]$  bervariasi dan konsentrasi  $NO_2$  konstan pH 8 suhu 27°C**

Tabel 36. Konstanta laju reaksi pada konsentrasi  $Cis\text{-}[Co(phen)_2(CN)_2]$   $3,3 \times 10^{-5}$  M pH 8

| No   | t (min) | At    | -log(A~- At) | t.(-log(A~- At)) | $t^2$  | b                      | k'                   |
|------|---------|-------|--------------|------------------|--------|------------------------|----------------------|
| 1    | 150     | 0,275 | 0,8210       | 123,1535         | 22500  |                        |                      |
| 2    | 210     | 0,319 | 0,9706       | 203,8294         | 44100  |                        |                      |
| 3    | 270     | 0,363 | 1,2007       | 324,1781         | 72900  | $2,534 \times 10^{-3}$ | $1,1 \times 10^{-3}$ |
| 4    | 330     | 0,375 | 1,2924       | 426,5018         | 108900 |                        |                      |
| 5    | 390     | 0,388 | 1,4202       | 553,8844         | 152100 |                        |                      |
| 6    | ~       | 0,426 |              |                  |        |                        |                      |
| Tot  | 1350    | 2,146 | 5,7050       | 1631,5470        | 400500 |                        |                      |
| Rata | 270     | 0,344 | 1,1410       | 326,3094         | 80100  |                        |                      |

Tabel 37. Konstanta laju reaksi pada konsentrasi  $Cis\text{-}[Co(phen)_2(CN)_2]$   $1,6 \times 10^{-4}$  M pH 8

| No   | t (min) | At    | -log(A~- At) | t.(-log(A~- At)) | $t^2$  | b                     | k'                    |
|------|---------|-------|--------------|------------------|--------|-----------------------|-----------------------|
| 1    | 150     | 0,246 | 0,3596       | 53,9278          | 22500  |                       |                       |
| 2    | 210     | 0,331 | 0,4535       | 95,2260          | 44100  |                       |                       |
| 3    | 270     | 0,358 | 0,4881       | 131,7915         | 72900  | $1,54 \times 10^{-3}$ | $6,31 \times 10^{-4}$ |
| 4    | 330     | 0,385 | 0,5258       | 173,5086         | 108900 |                       |                       |
| 5    | 390     | 0,509 | 0,7594       | 296,1858         | 152100 |                       |                       |
| 6    | ~       | 0,683 | -            |                  |        |                       |                       |
| Tot  | 1350    | 1,829 | 2,5863       | 750,6397         | 400500 |                       |                       |
| Rata | 270     | 0,502 | 0,5173       | 150,1279         | 80100  |                       |                       |

Tabel 38. Konstanta laju reaksi pada konsentrasi  $Cis\text{-}[Co(phen)_2(CN)_2]$   $3,3 \times 10^{-4}$  M pH 8

| No   | t (min) | At    | -log(A~- At) | t.(-log(A~- At)) | $t^2$  | b                      | k'                    |
|------|---------|-------|--------------|------------------|--------|------------------------|-----------------------|
| 1    | 150     | 0,256 | 0,357        | 53,482           | 22500  |                        |                       |
| 2    | 210     | 0,358 | 0,471        | 98,928           | 44100  |                        |                       |
| 3    | 270     | 0,444 | 0,599        | 161,622          | 72900  | $1,503 \times 10^{-3}$ | $6,53 \times 10^{-4}$ |
| 4    | 330     | 0,459 | 0,625        | 206,333          | 108900 |                        |                       |
| 5    | 390     | 0,510 | 0,731        | 284,890          | 152100 |                        |                       |
| 6    | ~       | 0,696 | -            |                  |        |                        |                       |
| Tot  | 1350    | 2,027 | 2,782        | 805,254          | 400500 |                        |                       |
| Rata | 270     | 0,405 | 0,556        | 161,051          | 80100  |                        |                       |

Tabel 39. Konstanta laju reaksi pada konsentrasi *Cis*-[Co(phen)<sub>2</sub>(CN)<sub>2</sub>] 5 x 10<sup>-4</sup> M  
pH 8

| No   | t (min) | At    | -log(A~ At) | t.(-log(A~ At)) | t <sup>2</sup> | b                       | k'                      |
|------|---------|-------|-------------|-----------------|----------------|-------------------------|-------------------------|
| 1    | 150     | 0,558 | 0,4698      | 70,4700         | 22500          |                         |                         |
| 2    | 210     | 0,608 | 0,5391      | 113,2115        | 44100          |                         |                         |
| 3    | 270     | 0,704 | 0,7144      | 192,8995        | 72900          | 4,795 x10 <sup>-3</sup> | 2,082 x10 <sup>-3</sup> |
| 4    | 330     | 0,797 | 1,0000      | 330,0000        | 108900         |                         |                         |
| 5    | 390     | 0,876 | 1,6778      | 654,3345        | 152100         |                         |                         |
| 6    | ~       | 0,897 | -           |                 |                |                         |                         |
| Tot  | 1350    | 3,882 | 4,4011      | 1360,9150       | 400500         |                         |                         |
| Rata | 270     | 0,776 | 0,8802      | 272,1831        | 80100          |                         |                         |

Tabel 40. Konstanta laju reaksi pada konsentrasi *Cis*-[Co(phen)<sub>2</sub>(CN)<sub>2</sub>] 6,7 x 10<sup>-4</sup> M  
pH 8

| No   | t (min) | At    | -log(A~ At) | t.(-log(A~ At)) | t <sup>2</sup> | b                       | k'                     |
|------|---------|-------|-------------|-----------------|----------------|-------------------------|------------------------|
| 1    | 150     | 0,696 | 0,4908      | 73,6196         | 22500          |                         |                        |
| 2    | 210     | 0,766 | 0,5969      | 125,345         | 44100          |                         |                        |
| 3    | 270     | 0,838 | 0,7423      | 200,4268        | 72900          | 3,962 x10 <sup>-3</sup> | 1,72 x10 <sup>-3</sup> |
| 4    | 330     | 0,896 | 0,9101      | 300,3313        | 108900         |                         |                        |
| 5    | 390     | 0,989 | 1,5229      | 593,9227        | 152100         |                         |                        |
| 6    | ~       | 1,019 | -           |                 |                |                         |                        |
| Tot  | 1350    | 4,185 | 4,2630      | 1293,6450       | 400500         |                         |                        |
| Rata | 270     | 0,837 | 0,8526      | 258,7290        | 80100          |                         |                        |

**Lampiran 8. Menentukan orde reaksi kompleks *Cis*-[ Co(phen)<sub>2</sub>(CN)<sub>2</sub>]**

Dari persamaan laju :  $v = k [Co(phen)<sub>2</sub>(CN)<sub>2</sub>]<sup>x</sup> \cdot [NO_2]^y$

Jika dalam bentuk logaritma :  $\log v = \log k + x \log [Co(phen)<sub>2</sub>(CN)<sub>2</sub>] + y \log [NO_2]$ . Salah satu contoh penentuan orde reaksi untuk konsentrasi *Cis*-[Co(phen)<sub>2</sub>(CN)<sub>2</sub>] bervariasi pada pH 5 suhu 27 °C. Dari grafik log v vs log [Co(phen)<sub>2</sub>(CN)<sub>2</sub>] menghasilkan garis lurus dengan koefisien arahnya menyatakan orde untuk [Co(phen)<sub>2</sub>(CN)<sub>2</sub>] dan berpotongan garis dengan sumbu y (intersep) =  $k_{Co(phen)2(CN)2}$ .

Tabel 41. Data perhitungan orde reaksi pada pH 5

| [Co(phen) <sub>2</sub> (CN) <sub>2</sub> ] | $v \cdot$<br>Co(phen) <sub>2</sub> (CN) <sub>2</sub> | log[Co(phen) <sub>2</sub> (CN) <sub>2</sub> ] | y        | x.y     | x <sup>2</sup> |
|--|--|---|----------|---------|----------------|
| 3,3 x10 <sup>-5</sup>                      | 1,0367 x10 <sup>-3</sup>                             | -4,4815                                       | -2,9844  | 13,3744 | 20,0837        |
| 16,4 x10 <sup>-5</sup>                     | 1,1167 x10 <sup>-3</sup>                             | -3,7852                                       | -2,9521  | 11,1741 | 14,3274        |
| 32,9 x10 <sup>-5</sup>                     | 1,2183 x10 <sup>-3</sup>                             | -3,4828                                       | -2,9142  | 10,1498 | 12,1299        |
| 50,3 x10 <sup>-5</sup>                     | 1,7689 x10 <sup>-3</sup>                             | -3,2984                                       | -2,7523  | 9,0783  | 10,8796        |
| 66,7 x10 <sup>-5</sup>                     | 1,8933 x10 <sup>-3</sup>                             | -3,1759                                       | -2,7228  | 8,6472  | 10,0862        |
| Total                                      | 7,0338 x10 <sup>-3</sup>                             | -18,2238                                      | -14,3258 | 52,4237 | 67,5069        |
| Rata-rata                                  | 1,4068 x10 <sup>-3</sup>                             | -3,6448                                       | -2,8652  | 10,4847 | 13,5014        |

$$y = -2,16083 + 0,193244 \cdot x \quad (b = \text{orde Rx} = 0,193244)$$

Perhitungan :

$$x = \log[Co(phen)<sub>2</sub>(CN)<sub>2</sub>], \text{ dan } y = \log v$$

$$\begin{aligned} b &= \frac{n \sum x \cdot y - \sum x \cdot \sum y}{n \cdot \sum(x^2) - (\sum x)^2} \\ &= \frac{n \sum ((\log[Co(phen)<sub>2</sub>(CN)<sub>2</sub>]) \cdot \log v) - \sum \log[Co(phen)<sub>2</sub>(CN)<sub>2</sub>] \cdot \sum \log v}{n \cdot \sum ((\log[Co(phen)<sub>2</sub>(CN)<sub>2</sub>])^2) - (\sum \log[Co(phen)<sub>2</sub>(CN)<sub>2</sub>])^2} \\ &= \frac{5 (52,4237) - (-18,2238) \cdot (-14,3258)}{5 \cdot (67,5069) - (-18,2238)^2} \\ &= 0,193244 \end{aligned}$$

(b = orde reaksi)

$$\begin{aligned}
 a &= y - b \cdot x \\
 &= \log v - b \cdot (\log [Co(phen)_2(CN)_2]) \\
 &= -2,8652 - (0,193244) \cdot (-3,6448) \\
 &= -2,16083
 \end{aligned}$$

$$\begin{aligned}
 y &= a + b \cdot x \\
 &= -2,16083 + 0,193244 \cdot x
 \end{aligned}$$

Jadi orde reaksi untuk *Cis*-[Co(phen)<sub>2</sub>(CN)<sub>2</sub>] pada pH 5 suhu 27 °C adalah 0,193244. Dengan cara yang sama dapat ditentukan orde reaksi *Cis*-[Co(phen)<sub>2</sub>(CN)<sub>2</sub>] pada pH 7 dan 8.

Tabel 42. Data perhitungan orde reaksi pada pH 7

| [Co(phen) <sub>2</sub> (CN) <sub>2</sub> ] | v.<br>Co(phen) <sub>2</sub> (CN) <sub>2</sub> | log[Co(phen) <sub>2</sub> (CN) <sub>2</sub> ] | y        | x.y     | x <sup>2</sup> |
|--|---|---|----------|---------|----------------|
| 3,3 x 10 <sup>-5</sup>                     | 3,383 x 10 <sup>-4</sup>                      | -4,4815                                       | -3,4707  | 15,5537 | 20,0837        |
| 16,4 x 10 <sup>-5</sup>                    | 6,317 x 10 <sup>-4</sup>                      | -3,7852                                       | -3,1995  | 12,1106 | 14,3274        |
| 32,9 x 10 <sup>-5</sup>                    | 8,550 x 10 <sup>-4</sup>                      | -3,4828                                       | -3,0680  | 10,6854 | 12,1299        |
| 50,3 x 10 <sup>-5</sup>                    | 17,317 x 10 <sup>-4</sup>                     | -3,2984                                       | -2,7615  | 9,1087  | 10,8797        |
| 66,7 x 10 <sup>-5</sup>                    | 17,700 x 10 <sup>-4</sup>                     | -3,1759                                       | -2,7520  | 8,7401  | 10,0862        |
| Total                                      | 53,267 x 10 <sup>-4</sup>                     | -18,2238                                      | -15,2518 | 56,1986 | 67,5069        |
| Rata-rata                                  | 10,653 x 10 <sup>-4</sup>                     | -3,6448                                       | -3,0504  | 11,2397 | 13,5014        |

$$y = -1,00395 + 0,561465 \cdot x \quad (b = \text{orde Rx} = 0,5615)$$

Tabel 43. Data perhitungan orde reaksi pada pH 8

| [Co(phen) <sub>2</sub> (CN) <sub>2</sub> ] | v.<br>Co(phen) <sub>2</sub> (CN) <sub>2</sub> | log[Co(phen) <sub>2</sub> (CN) <sub>2</sub> ] | y       | x.y     | x <sup>2</sup> |
|--|---|---|---------|---------|----------------|
| 3,3 x 10 <sup>-5</sup>                     | 4,53 x 10 <sup>-4</sup>                       | -4,4815                                       | -3,3436 | 14,9842 | 20,0837        |
| 16,4 x 10 <sup>-5</sup>                    | 9,67 x 10 <sup>-4</sup>                       | -3,7852                                       | -3,0147 | 11,4112 | 14,3274        |
| 32,9 x 10 <sup>-5</sup>                    | 10,15 x 10 <sup>-4</sup>                      | -3,4828                                       | -2,9935 | 10,4259 | 12,1299        |
| 50,3 x 10 <sup>-5</sup>                    | 11,80 x 10 <sup>-4</sup>                      | -3,2984                                       | -2,9281 | 9,6582  | 10,8796        |
| 66,7 x 10 <sup>-5</sup>                    | 11,93 x 10 <sup>-4</sup>                      | -3,1759                                       | -2,9232 | 9,2839  | 10,0862        |
| Total                                      | 4,53 x 10 <sup>-4</sup>                       | -4,4815                                       | -3,3436 | 14,9842 | 20,0837        |
| Rata-rata                                  | 9,67 x 10 <sup>-4</sup>                       | -3,7852                                       | -3,0147 | 11,4112 | 14,3274        |

$$y = -1,8609 + 0,3237 \cdot x \quad (b = \text{orde Rx} = 0,3237)$$

**Lampiran 9. Data Pengamatan dan perhitungan untuk konsentrasi *Cis*-  
[Co(phen)<sub>2</sub>(CN)<sub>2</sub>] 6,7 x 10<sup>-4</sup> M + 4 x 10<sup>-4</sup> mol NO<sub>2</sub> pada pH 7  
dan suhu bervariasi**

**L.9.1. Laju Reaksi**

Tabel 44. Laju reaksi pada suhu 27°C

| No   | t (min) | At    | A~□-At | t(A~□-At) | t <sup>2</sup> | Laju reaksi (b)         |
|------|---------|-------|--------|-----------|----------------|-------------------------|
| 1    | 150     | 0,260 | 0,899  | 134,9     | 22500          |                         |
| 2    | 210     | 0,330 | 0,830  | 174,3     | 44100          |                         |
| 3    | 270     | 0,364 | 0,796  | 214,9     | 72900          | -5,0 x 10 <sup>-4</sup> |
| 4    | 330     | 0,370 | 0,790  | 260,7     | 108900         |                         |
| 5    | 390     | 0,390 | 0,770  | 300,3     | 152100         |                         |
| 6    | ~       | 1,160 |        |           |                |                         |
| Tot  | 1350    | 1,720 | 4,085  | 1085      | 400500         |                         |
| Rata | 270     | 0,270 | 0,817  | 217       | 80100          |                         |

Tabel 45. Laju reaksi pada suhu 50°C

| No   | t (min) | At    | A~□-At | t(A~□-At) | t <sup>2</sup> | Laju reaksi (b)         |
|------|---------|-------|--------|-----------|----------------|-------------------------|
| 1    | 150     | 0,190 | 1,161  | 174,2     | 22500          |                         |
| 2    | 210     | 0,250 | 1,102  | 231,4     | 44100          |                         |
| 3    | 270     | 0,290 | 1,065  | 287,6     | 72900          | -9,5 x 10 <sup>-4</sup> |
| 4    | 330     | 0,370 | 0,980  | 323,4     | 108900         |                         |
| 5    | 390     | 0,410 | 0,938  | 365,8     | 152100         |                         |
| 6    | ~       | 1,350 |        |           |                |                         |
| Tot  | 1350    | 2,870 | 5,246  | 1382      | 400500         |                         |
| Rata | 270     | 0,300 | 1,049  | 276,5     | 80100          |                         |

Tabel 46. Laju reaksi pada suhu 60°C

| No   | t (min) | At    | A~□-At | t(A~□-At) | t <sup>2</sup> | Laju reaksi (b)          |
|------|---------|-------|--------|-----------|----------------|--------------------------|
| 1    | 150     | 0,310 | 1,169  | 175,4     | 22500          |                          |
| 2    | 210     | 0,330 | 1,144  | 240,2     | 44100          |                          |
| 3    | 270     | 0,440 | 1,036  | 279,7     | 72900          | -1,39 x 10 <sup>-3</sup> |
| 4    | 330     | 0,510 | 0,971  | 320,4     | 108900         |                          |
| 5    | 390     | 0,640 | 0,840  | 327,6     | 152100         |                          |
| 6    | ~       | 1,480 |        |           |                |                          |
| Tot  | 1350    | 3,700 | 5,160  | 1343      | 400500         |                          |
| Rata | 270     | 0,440 | 1,032  | 268,7     | 80100          |                          |

Tabel 47. Laju reaksi pada suhu 70°C

| No   | t (min) | At    | A <sub>0</sub> -At | t(A <sub>0</sub> -At) | t <sup>2</sup> | Laju reaksi (b)       |
|------|---------|-------|--------------------|-----------------------|----------------|-----------------------|
| 1    | 150     | 0,354 | 0,894              | 134,10                | 22500          |                       |
| 2    | 210     | 0,489 | 0,759              | 159,39                | 44100          |                       |
| 3    | 270     | 0,574 | 0,674              | 181,98                | 72900          | 3,03x10 <sup>-3</sup> |
| 4    | 330     | 0,738 | 0,510              | 168,30                | 108900         |                       |
| 5    | 390     | 0,970 | 0,278              | 108,42                | 152100         |                       |
| 6    | ~       | 1,248 | -                  |                       |                |                       |
| Tot  | 1350    | 3,125 |                    | 475,47                | 139500         |                       |
| Rata | 270     | 0,625 | 0,623              | 150,44                | 80100          |                       |

**L.9.2. Konstanta laju reaksi**

Tabel 48. Konstanta laju reaksi pada suhu 27°C

| No   | t (min) | At    | -log(A <sub>0</sub> - At) | t.(-log(A <sub>0</sub> - At)) | t <sup>2</sup> | b                     | k'                    |
|------|---------|-------|---------------------------|-------------------------------|----------------|-----------------------|-----------------------|
| 1    | 150     | 0,260 | 4,6240 x10 <sup>-3</sup>  | 6,9360                        | 22500          |                       |                       |
| 2    | 210     | 0,330 | 8,0922 x10 <sup>-3</sup>  | 16,9936                       | 44100          |                       |                       |
| 3    | 270     | 0,364 | 9,9087 x10 <sup>-3</sup>  | 26,7535                       | 72900          | 2,6 x10 <sup>-4</sup> | 1,1 x10 <sup>-4</sup> |
| 4    | 330     | 0,370 | 10,2373 x10 <sup>-3</sup> | 33,7831                       | 108900         |                       |                       |
| 5    | 390     | 0,390 | 11,3509 x10 <sup>-3</sup> | 44,2686                       | 152100         |                       |                       |
| 6    | ~       | 1,160 |                           |                               |                |                       |                       |
| Tot  | 1350    | 1,720 | 44,2130 x10 <sup>-3</sup> | 128,7348                      | 400500         |                       |                       |
| Rata | 270     | 0,270 | 8,8430 x10 <sup>-3</sup>  | 25,7470                       | 80100          |                       |                       |

Tabel 49. Konstanta laju reaksi pada suhu 50°C.

| No   | t (min) | At    | -log(A <sub>0</sub> - At) | t.(-log(A <sub>0</sub> - At)) | t <sup>2</sup> | b                       | k'                    |
|------|---------|-------|---------------------------|-------------------------------|----------------|-------------------------|-----------------------|
| 1    | 150     | 0,190 | 64,83 x10 <sup>-3</sup>   | 9,7248                        | 22500          |                         |                       |
| 2    | 210     | 0,250 | 42,18 x10 <sup>-3</sup>   | 8,8581                        | 44100          |                         |                       |
| 3    | 270     | 0,290 | 27,35 x10 <sup>-3</sup>   | 7,3844                        | 72900          | - 4,0 x10 <sup>-4</sup> | 1,7 x10 <sup>-4</sup> |
| 4    | 330     | 0,370 | -8,77 x10 <sup>-3</sup>   | -2,8954                       | 108900         |                         |                       |
| 5    | 390     | 0,410 | -27,8 x10 <sup>-3</sup>   | -10,8409                      | 152100         |                         |                       |
| 6    | ~       | 1,350 |                           |                               |                |                         |                       |
| Tot  | 1350    | 2,870 | 97,79 x10 <sup>-3</sup>   | 12,2311                       | 400500         |                         |                       |
| Rata | 270     | 0,300 | 19,56 x10 <sup>-3</sup>   | 2,4462                        | 80100          |                         |                       |

Tabel 50. Konstanta laju reaksi suhu 60°C

| No   | t (min) | At    | -log(A <sub>0</sub> - At) | t.(-log(A <sub>0</sub> - At)) | t <sup>2</sup> | b                     | k'                    |
|------|---------|-------|---------------------------|-------------------------------|----------------|-----------------------|-----------------------|
| 1    | 150     | 0,310 | 6,781 x10 <sup>-2</sup>   | 10,1722                       | 22500          |                       |                       |
| 2    | 210     | 0,330 | 5,843 x10 <sup>-2</sup>   | 12,2695                       | 44100          |                       |                       |
| 3    | 270     | 0,440 | 1,536 x10 <sup>-2</sup>   | 4,1471                        | 72900          | - 6 x10 <sup>-4</sup> | 2,6 x10 <sup>-4</sup> |
| 4    | 330     | 0,510 | -1,278 x10 <sup>-2</sup>  | -4,2176                       | 108900         |                       |                       |
| 5    | 390     | 0,640 | -7,572 x10 <sup>-2</sup>  | -29,5311                      | 152100         |                       |                       |
| 6    | ~       | 1,480 |                           |                               |                |                       |                       |
| Tot  | 1350    | 3,700 | 5,310 x10 <sup>-2</sup>   | -7,1600                       | 400500         |                       |                       |
| Rata | 270     | 0,440 | 1,062 x10 <sup>-2</sup>   | -1,4320                       | 80100          |                       |                       |

Tabel 51. Konstanta laju reaksi suhu 70°C

| No   | t (min) | At    | -log(A <sub>0</sub> - At) | t.(-log(A <sub>0</sub> - At)) | t <sup>2</sup> | b                      | k'                    |
|------|---------|-------|---------------------------|-------------------------------|----------------|------------------------|-----------------------|
| 1    | 150     | 0,354 | 4,8662 x10 <sup>-2</sup>  | 7,2994                        | 22500          |                        |                       |
| 2    | 210     | 0,489 | 11,9758 x10 <sup>-2</sup> | 25,1492                       | 44100          |                        |                       |
| 3    | 270     | 0,574 | 17,1340 x10 <sup>-2</sup> | 46,2618                       | 72900          | 10,9 x10 <sup>-4</sup> | 4,7 x10 <sup>-4</sup> |
| 4    | 330     | 0,738 | 29,2430 x10 <sup>-2</sup> | 96,5018                       | 108900         |                        |                       |
| 5    | 390     | 0,970 | 55,5955 x10 <sup>-2</sup> | 216,8225                      | 152100         |                        |                       |
| 6    | ~       | 1,248 | -                         |                               |                |                        |                       |
| Tot  | 1350    | 3,125 | 33,9761 x10 <sup>-2</sup> | 392,0348                      | 400500         |                        |                       |
| Rata | 270     | 0,625 | 23,7629 x10 <sup>-2</sup> | 78,4070                       | 80100          |                        |                       |

### Lampiran 10. Menentukan nilai Energi Aktivasi (Ea)

Dari persamaan archenius :  $k = A \cdot e^{-Ea/RT}$ , dalam bentuk logaritma :  $\log k = \log A - Ea/2,303 \cdot RT$ . Jika dibuat grafik antara  $\log k$  vs  $1/T$  akan menghasilkan garis lurus dengan koefisien arahnya  $= -Ea / 2,303 \cdot R$  dan perpotongan garis dengan sumbu y (intersep)  $= \log A$ . Salah satu contoh adalah penentuan Ea dengan konsentrasi *Cis*-[Co(phen)<sub>2</sub>(CN)<sub>2</sub>]  $5 \times 10^{-4}$  M +  $4 \times 10^{-4}$  mol NO<sub>2</sub> pada pH 7 dan suhu bervariasi.

Tabel 52. Data perhitungan energi aktifasi (Ea)

| No    | T (K) | k'                     | log k'   | 1/T                     | (1/T) <sup>2</sup>    | 1/T . log k'            | Ea(kkal/mol·K) |
|-------|-------|------------------------|----------|-------------------------|-----------------------|-------------------------|----------------|
| 1     | 300   | $1,13 \times 10^{-4}$  | -3,9474  | $3,333 \times 10^{-3}$  | $11,1 \times 10^{-6}$ | $-13,16 \times 10^{-3}$ |                |
| 2     | 323   | $1,71 \times 10^{-4}$  | -3,7671  | $3,096 \times 10^{-3}$  | $9,6 \times 10^{-6}$  | $-11,66 \times 10^{-3}$ |                |
| 3     | 333   | $2,60 \times 10^{-4}$  | -3,5850  | $3,003 \times 10^{-3}$  | $9,0 \times 10^{-6}$  | $-10,77 \times 10^{-3}$ | 6,3682         |
| 4     | 343   | $4,72 \times 10^{-4}$  | -3,3260  | $2,916 \times 10^{-3}$  | $8,5 \times 10^{-6}$  | $-9,70 \times 10^{-3}$  |                |
| Tot   | 1299  | $10,16 \times 10^{-4}$ | -14,6256 | $12,348 \times 10^{-3}$ | $38,0 \times 10^{-6}$ | $-45,28 \times 10^{-3}$ |                |
| Rata2 | 325   | $2,54 \times 10^{-4}$  | -3,6564  | $3,087 \times 10^{-3}$  | $9,5 \times 10^{-6}$  | $-11,32 \times 10^{-3}$ |                |

x = 1/T (T dalam Kelvin), dan y = log k', n = jumlah variasi suhu,

$$\begin{aligned} b &= \frac{n \sum x \cdot y - \sum x \cdot \sum y}{n \cdot \sum(x^2) - (\sum x)^2} \\ &= \frac{4 (-45,28 \times 10^{-3}) - (12,348 \times 10^{-3}) \cdot (-14,6256)}{4 (38,0 \times 10^{-6}) - (12,348 \times 10^{-3})^2} \\ &= -1391,639 \end{aligned}$$

$$\begin{aligned} a &= \bar{y} - b \cdot \bar{x} \\ &= -3,6564 - (-1391,639) \cdot (3,087 \times 10^{-3}) \\ &= 0,639586 \end{aligned}$$

$$\begin{aligned} y &= a + b \cdot x \\ &= 0,639586 - 1391,639 \cdot x \end{aligned}$$

$$Ea = -b \times 2,303 \times R \quad (\text{dengan } R = 1,987)$$

$$= -(-1391,639) \cdot 2,303 \cdot 1,987$$

$$= 6,3682 \text{ (kkal/ Mol}\cdot\text{K)}$$

Jadi energi aktifasi (Ea) reaksi senyawa kompleks *Cis*-[Co(phen)<sub>2</sub>(CN)<sub>2</sub>] dengan gas NO<sub>2</sub> pada pH 7 adalah 6,3682 kkal/ Mol·K.

# **DAFTAR PUSTAKA**

# LAMPIRAN

**Lampiran 2. Data Pengamatan reaksi untuk konsentrasi  $[Co(phen)_2(CN)_2]$  bervariasi dan konsentrasi  $NO_2$  konstan pH 5 suhu  $27^\circ C$**

Tabel 11. Data pengamatan dan perhitungan pada konsentrasi *Cis*- $[Co(phen)_2(CN)_2]$   $3,3 \times 10^{-5}$  M +  $4 \times 10^{-4}$  mol  $NO_2$  pada pH 5 suhu  $27^\circ C$

| No   | t (min) | At    | $A \sim \square - At$ | $t(A \sim \square - At)$ | $t^2$  | b                        | $-\log(A \sim - At)$ | $t \cdot (-\log(A \sim - At))$ | $t^2$  | b                      | $k'$                   |
|------|---------|-------|-----------------------|--------------------------|--------|--------------------------|----------------------|--------------------------------|--------|------------------------|------------------------|
| 1    | 150     | 0,149 | 0,290                 | 43,50                    | 22500  |                          | 0,5376               | 80,6403                        | 22500  |                        |                        |
| 2    | 210     | 0,157 | 0,282                 | 59,22                    | 44100  |                          | 0,5498               | 115,4477                       | 44100  |                        |                        |
| 3    | 270     | 0,258 | 0,181                 | 48,87                    | 72900  | $-1,0367 \times 10^{-3}$ | 0,7423               | 200,4268                       | 72900  | $2,846 \times 10^{-3}$ | $1,236 \times 10^{-3}$ |
| 4    | 330     | 0,329 | 0,110                 | 36,30                    | 108900 |                          | 0,9586               | 316,3404                       | 108900 |                        |                        |
| 5    | 390     | 0,374 | 0,065                 | 25,35                    | 152100 |                          | 1,1871               | 462,9638                       | 152100 |                        |                        |
| 6    | ~       |       | 0,439                 |                          |        |                          |                      |                                |        |                        |                        |
| Tot  | 1350    | 1,267 | 0,928                 | 213,24                   | 400500 |                          | 3,9754               | 1175,8190                      | 400500 |                        |                        |
| Rata | 270     | 0,253 | 0,186                 | 42,648                   | 80100  |                          | 0,7951               | 235,1640                       | 80100  |                        |                        |

a (intersep) penentuan laju reaksi = - 0,46591, dan a (intersep) penentuan konstanta reaksi =  $2,655 \times 10^{-2}$

Perhitungan – perhitungan :

## 2. Menentukan laju reaksi.

Laju reaksi ditentukan dengan cara membuat grafik antara  $(A \sim \square - At)$  vs t, dimana koefisien arah ( $tg \alpha$ ) dari grafik menyatakan laju reaksi

(v). Salah satu contoh adalah untuk konsentrasi *Cis*- $[Co(phen)_2(CN)_2]$   $3,3 \times 10^{-5}$  M +  $4 \times 10^{-4}$  mol  $NO_2$  pada pH 5 suhu  $27^\circ C$ .

$$b = \frac{n \sum(xy) - \sum x \cdot \sum y}{n \cdot \sum(x^2) - (\sum x)^2}$$

dengan : x = t dan y =  $(A \sim \square - At)$ , serta n = jumlah pengukuran sampel

$$= \frac{n \sum (t(A_{\sim \square} - At)) - \sum t \cdot \sum (A_{\sim \square} - At)}{n \cdot \sum (t^2) - (\sum t)^2}$$

$$= \frac{5(213,24) - (1350 \cdot 0,928)}{5(400500) - (1350)^2}$$

$$= -1,0367 \times 10^{-3} \text{ M/menit}$$

$$a = \bar{y} - b \cdot \bar{x}$$

$$= \overline{(A_{\sim \square} - At)} - \bar{b} \cdot t$$

$$= 0,186 - (-1,0367 \times 10^{-3}) \cdot 270$$

$$= 0,46591$$

$$y = a + b \cdot X$$

$$= 0,46591 + (-1,0367 \times 10^{-3}) \cdot x$$

$$y = 0,46591 + (-1,0367 \times 10^{-3}) \cdot t$$

- b = laju reaksi (M/menit)

Jadi laju reaksi untuk konsentrasi *Cis*-[Co(phen)<sub>2</sub>(CN)<sub>2</sub>]  $3,3 \times 10^{-5}$  M +  $4 \times 10^{-4}$  mol NO<sub>2</sub> pada pH 5 suhu 27 °C adalah  $1,0367 \times 10^{-3}$  M/menit. Dengan cara yang sama dapat ditentukan laju reaksi untuk data yang lain.

## 2. Menentukan konstanta reaksi.

Dari persamaan :  $\log(C-W) + \log C = k' \cdot t/2,303$ , karena  $\log C$  adalah konstan dan  $\log(C-W)$  sebanding dengan besaran fisika ( $A \sim -At$ ), maka grafik  $-\log(A \sim -At)$  vs  $t$  menghasilkan garis lurus dengan koefisien arahnya  $k'/2,303$ . Salah satu contoh penentuan  $k'$  ini adalah untuk konsentrasi *Cis*-[Co(phen)<sub>2</sub>(CN)<sub>2</sub>]  $3,3 \times 10^{-5}$  M +  $4 \times 10^{-4}$  mol NO<sub>2</sub> pada pH 5 suhu 27 °C.

$$b = \frac{n \sum(t \cdot (-\log(A \sim -At)) - \bar{t} \cdot \sum(-\log(A \sim -At)))}{n \cdot \sum(t^2) - (\sum t)^2} \quad (\text{dengan } x = t, y = -\log(A \sim -At), \text{ dan } n = \text{jumlah pengukuran sampel})$$

$$= \frac{5(1175,819) - (1350 \cdot 3,9754)}{5(400500) - (1350)^2}$$

$$= 2,846 \times 10^{-3}$$

$$a = \bar{y} - b \cdot \bar{x}$$

$$= \overline{(-\log(A \sim -At))} - b \cdot \bar{t}$$

$$= 0,7951 - 2,846 \times 10^{-3} \cdot 270$$

$$= 2,655 \times 10^{-2}$$

$$y = a + b \cdot x$$

$$= 2,655 \times 10^{-2} + 2,846 \times 10^{-3} \cdot x$$

b merupakan koefisien arah dari grafik =  $k' / 2,303$

$$k' = b \times 2,303 \text{ (menit}^{-1}\text{)}$$

$$= 2,846 \times 10^{-3} \times 2,303$$

$$= 1,236 \times 10^{-3} \text{ menit}^{-1}$$

Jadi konstanta laju reaksi untuk konsentrasi *Cis*-[Co(phen)<sub>2</sub>(CN)<sub>2</sub>]  $3,3 \times 10^{-5}$  M +  $4 \times 10^{-4}$  mol NO<sub>2</sub> pada pH 5 suhu 27 °C adalah  $1,236 \times 10^{-3}$  menit<sup>-1</sup>. Dengan cara yang sama dapat ditentukan konstanta laju reaksi untuk data yang lain.

Tabel 12. Data pengamatan dan perhitungan pada konsentrasi *Cis*-[Co(phen)<sub>2</sub>(CN)<sub>2</sub>]  $1,6 \times 10^{-4}$  M +  $4 \times 10^{-4}$  mol NO<sub>2</sub> pada pH 5 suhu 27 °C

| No   | t (min) | A <sub>t</sub> | A <sub>~</sub> -A <sub>t</sub> | t(A <sub>~</sub> -A <sub>t</sub> ) | t <sup>2</sup> | b                          | -log(A <sub>~</sub> -A <sub>t</sub> ) | t.(-log(A <sub>~</sub> -A <sub>t</sub> )) | t <sup>2</sup> | b                      | k'                     |
|------|---------|----------------|--------------------------------|------------------------------------|----------------|----------------------------|---------------------------------------|---|----------------|------------------------|------------------------|
| 1    | 150     | 0,263          | 0,309                          | 46,35                              | 22500          |                            | 0,5100                                | 76,5062                                   | 22500          |                        |                        |
| 2    | 210     | 0,318          | 0,254                          | 53,34                              | 44100          |                            | 0,5952                                | 124,9849                                  | 44100          |                        |                        |
| 3    | 270     | 0,419          | 0,153                          | 41,31                              | 72900          | -1,1167 x 10 <sup>-3</sup> | 0,8153                                | 220,1333                                  | 72900          | 3,185x10 <sup>-3</sup> | 1,383x10 <sup>-3</sup> |
| 4    | 330     | 0,492          | 0,080                          | 26,40                              | 108900         |                            | 1,0969                                | 361,9803                                  | 108900         |                        |                        |
| 5    | 390     | 0,511          | 0,061                          | 23,79                              | 152100         |                            | 1,2147                                | 473,7214                                  | 152100         |                        |                        |
| 6    | ~       | 0,572          | -                              |                                    |                | -                          |                                       |   |                |                        |                        |
| tot  | 1350    | 2,003          | 0,857                          | 191,19                             | 400500         |                            | 4,2321                                | 1257,3260                                 | 400500         |                        |                        |
| rata | 270     | 0,401          | 0,171                          | 38,24                              | 80100          |                            | 0,8464                                | 251,4652                                  | 80100          |                        |                        |

a (intersep) penentuan laju reaksi = 0,4729, dan a (intersep) penentuan konstanta reaksi = -0,01353

Tabel 13. Data pengamatan dan perhitungan pada konsentrasi *Cis*-[Co(phen)<sub>2</sub>(CN)<sub>2</sub>]  $3,3 \times 10^{-4}$  M +  $4 \times 10^{-4}$  mol NO<sub>2</sub> pada pH 5 suhu 27 °C

| No   | t (min) | At    | A~ - At | $t(A~ - At)$ | $t^2$  | b                        | -log(A~ - At) | t.(-log(A~ - At)) | $t^2$  | b                    | k'                    |
|------|---------|-------|---------|--------------|--------|--------------------------|---------------|-------------------|--------|----------------------|-----------------------|
| 1    | 150     | 0,441 | 0,449   | 67,35        | 22500  |                          | 0,3478        | 52,1630           | 22500  |                      |                       |
| 2    | 210     | 0,509 | 0,381   | 80,01        | 44100  |                          | 0,4191        | 88,0058           | 44100  |                      |                       |
| 3    | 270     | 0,589 | 0,301   | 81,27        | 72900  | $-1,2183 \times 10^{-3}$ | 0,5214        | 140,7870          | 72900  | $1,9 \times 10^{-3}$ | $8,26 \times 10^{-4}$ |
| 4    | 330     | 0,640 | 0,250   | 82,50        | 108900 |                          | 0,6021        | 198,6798          | 108900 |                      |                       |
| 5    | 390     | 0,741 | 0,149   | 58,11        | 152100 |                          | 0,8268        | 322,4574          | 152100 |                      |                       |
| 6    | ~       | 0,890 |         |              |        |                          |               |                   |        |                      |                       |
| tot  | 1350    | 3,810 | 1,530   | 369,24       | 400500 |                          | 2,7171        | 802,0930          | 400500 |                      |                       |
| rata | 270     | 0,584 | 0,306   | 73,85        | 80100  |                          | 0,5434        | 160,4186          | 80100  |                      |                       |

a (intersep) penentuan laju reaksi = 0,63495, dan a (intersep) penentuan konstanta reaksi = 0,02993

Tabel 14. Data pengamatan dan perhitungan pada konsentrasi *Cis*-[Co(phen)<sub>2</sub>(CN)<sub>2</sub>]  $5 \times 10^{-4}$  M +  $4 \times 10^{-4}$  mol NO<sub>2</sub> pada pH 5 suhu 27 °C

| No   | t (min) | At    | A~ - At | $t(A~ - At)$ | $t^2$  | b                       | -log(A~ - At) | t.(-log(A~ - At)) | $t^2$  | b                      | k'                    |
|------|---------|-------|---------|--------------|--------|-------------------------|---------------|-------------------|--------|------------------------|-----------------------|
| 1    | 150     | 0,976 | 0,596   | 89,40        | 22500  |                         | 0,2248        | 33,713            | 22500  |                        |                       |
| 2    | 210     | 1,150 | 0,422   | 88,62        | 44100  |                         | 0,3747        | 78,684            | 44100  |                        |                       |
| 3    | 270     | 1,179 | 0,393   | 106,11       | 72900  | $1,7689 \times 10^{-3}$ | 0,4056        | 109,514           | 72900  | $2,269 \times 10^{-3}$ | $9,85 \times 10^{-4}$ |
| 4    | 330     | 1,393 | 0,179   | 59,07        | 108900 |                         | 0,7472        | 246,558           | 108900 |                        |                       |
| 5    | 390     | 1,470 | 0,102   | 39,78        | 152100 |                         | 0,9914        | 386,646           | 152100 |                        |                       |
| 6    | ~       | 1,572 | -       |              |        |                         | -             |                   |        |                        |                       |
| tot  | 630     | 3,305 | 1,411   | 284,13       | 139500 |                         | 1,0051        | 855,116           | 400500 |                        |                       |
| rata | 270     | 1,234 | 0,338   | 76,60        | 80100  |                         | 0,5487        | 171,023           | 80100  |                        |                       |

a (intersep) penentuan laju reaksi = - 0,1392, dan a (intersep) penentuan konstanta reaksi = -0,06379

Tabel 15. Data pengamatan dan perhitungan pada konsentrasi *Cis*-[Co(phen)<sub>2</sub>(CN)<sub>2</sub>]  $6,7 \times 10^{-4}$  M +  $4 \times 10^{-4}$  mol NO<sub>2</sub> pada pH 5 suhu 27 °C

| No   | t (min) | At    | A~ - At | $t(A\sim - At)$ | $t^2$  | b                        | -log(A~ - At) | t.(-log(A~ - At)) | $t^2$  | b                      | k'                     |
|------|---------|-------|---------|-----------------|--------|--------------------------|---------------|-------------------|--------|------------------------|------------------------|
| 1    | 150     | 1,080 | 0,437   | 65,55           | 22500  |                          | 0,3595        | 53,9278           | 22500  |                        |                        |
| 2    | 210     | 1,222 | 0,295   | 61,95           | 44100  |                          | 0,5302        | 111,3374          | 44100  |                        |                        |
| 3    | 270     | 1,413 | 0,104   | 28,08           | 72900  | $-1,8933 \times 10^{-3}$ | 0,9830        | 265,4010          | 72900  | $7,728 \times 10^{-3}$ | $3,356 \times 10^{-1}$ |
| 4    | 330     | 1,504 | 0,013   | 4,29            | 108900 |                          | 1,8861        | 622,3987          | 108900 |                        |                        |
| 5    | 390     | 1,507 | 0,010   | 3,90            | 152100 |                          | 2,0000        | 780,0000          | 152100 |                        |                        |
| 6    | ~       | 1,517 | -       | -               | -      | -                        | -             | -                 | -      | -                      | -                      |
| tot  | 1350    | 6,726 | 0,859   | 163,77          | 400500 |                          | 5,7587        | 1833,0650         | 400500 |                        |                        |
| rata | 270     | 1,345 | 0,172   | 32,75           | 80100  |                          | 1,1517        | 366,6130          | 80100  |                        |                        |

a (intersep) penentuan laju reaksi = 0,683, dan a (intersep) penentuan konstanta reaksi = -0,93483

### Lampiran 3. Data Pengamatan reaksi untuk konsentrasi [Co(phen)<sub>2</sub>(CN)<sub>2</sub>] bervariasi dan konsentrasi NO<sub>2</sub> konstan pH 7 suhu 27°C

Tabel 16. Data pengamatan dan perhitungan pada konsentrasi *Cis*-[Co(phen)<sub>2</sub>(CN)<sub>2</sub>]  $3,3 \times 10^{-5}$  M +  $4 \times 10^{-4}$  mol NO<sub>2</sub> pada pH 7 suhu 27 °C

| No | t (min) | At    | A~ - At | $t(A\sim - At)$ | $t^2$  | b                      | -log(A~ - At) | t.(-log(A~ - At)) | $t^2$  | b                      | k'                    |
|----|---------|-------|---------|-----------------|--------|------------------------|---------------|-------------------|--------|------------------------|-----------------------|
| 1  | 150     | 0,306 | 0,189   | 28,35           | 22500  |                        | 0,7235        | 108,5307          | 22500  |                        |                       |
| 2  | 210     | 0,346 | 0,149   | 31,29           | 44100  |                        | 0,8268        | 173,6309          | 44100  |                        |                       |
| 3  | 270     | 0,355 | 0,140   | 37,80           | 72900  | $-3,38 \times 10^{-4}$ | 0,8539        | 230,5454          | 72900  | $1,052 \times 10^{-3}$ | $4,57 \times 10^{-4}$ |
| 4  | 330     | 0,373 | 0,122   | 40,26           | 108900 |                        | 0,9136        | 301,5013          | 108900 |                        |                       |
| 5  | 390     | 0,394 | 0,101   | 39,39           | 152100 |                        | 0,9957        | 388,3147          | 152100 |                        |                       |

|      |      |       |       |        |        |  |        |           |        |  |
|------|------|-------|-------|--------|--------|--|--------|-----------|--------|--|
| 6    | ~    | 0,495 |       |        |        |  |        |           |        |  |
| tot  | 1350 | 2,269 | 0,701 | 177,09 | 400500 |  | 4,3135 | 1202,5230 | 400500 |  |
| rata | 270  | 0,355 | 0,140 | 35,42  | 80100  |  | 0,8627 | 240,5046  | 80100  |  |

a (intersep) penentuan laju reaksi = 0,23155, dan a (intersep) penentuan konstanta reaksi = 0,5788

Tabel 17. Data pengamatan dan perhitungan pada konsentrasi *Cis*-[Co(phen)<sub>2</sub>(CN)<sub>2</sub>]  $1,6 \times 10^{-4}$  M +  $4 \times 10^{-4}$  mol NO<sub>2</sub> pada pH 7 suhu 27 °C

| No   | t (min) | At    | A~ - At | t(A~ - At) | t <sup>2</sup> | b                       | -log(A~ - At) | t.(-log(A~ - At)) | t <sup>2</sup> | b                     | k'                    |
|------|---------|-------|---------|------------|----------------|-------------------------|---------------|-------------------|----------------|-----------------------|-----------------------|
| 1    | 150     | 0,135 | 0,674   | 101,10     | 22500          |                         | 0,1713        | 25,7010           | 22500          |                       |                       |
| 2    | 210     | 0,148 | 0,661   | 138,81     | 44100          |                         | 0,1798        | 37,7577           | 44100          |                       |                       |
| 3    | 270     | 0,184 | 0,625   | 168,75     | 72900          | -6,32 x10 <sup>-4</sup> | 0,2041        | 55,1124           | 72900          | 4,6 x10 <sup>-4</sup> | 2,0 x10 <sup>-4</sup> |
| 4    | 330     | 0,205 | 0,604   | 199,32     | 108900         |                         | 0,2190        | 72,2578           | 108900         |                       |                       |
| 5    | 390     | 0,296 | 0,513   | 200,07     | 152100         |                         | 0,2899        | 113,0542          | 152100         |                       |                       |
| 6    | ~       | 0,809 | -       |            |                | -                       |               |                   |                |                       |                       |
| tot  | 1350    | 0,968 | 3,077   | 808,05     | 400500         |                         | 1,0641        | 303,8831          | 400500         |                       |                       |
| rata | 270     | 0,194 | 0,615   | 161,61     | 80100          |                         | 0,2128        | 60,7766           | 80100          |                       |                       |

a (intersep) penentuan laju reaksi = 0,78595, dan a (intersep) penentuan konstanta reaksi = 0,088509

Tabel 18. Data pengamatan dan perhitungan pada konsentrasi *Cis*-[Co(phen)<sub>2</sub>(CN)<sub>2</sub>]  $3,3 \times 10^{-4}$  M +  $4 \times 10^{-4}$  mol NO<sub>2</sub> pada pH 7 suhu 27 °C

| No | t (min) | At    | A~ - At | t(A~ - At) | t <sup>2</sup> | b                       | -log(A~ - At) | t.(-log(A~ - At)) | t <sup>2</sup> | b                      | k'                    |
|----|---------|-------|---------|------------|----------------|-------------------------|---------------|-------------------|----------------|------------------------|-----------------------|
| 1  | 150     | 0,220 | 1,275   | 191,25     | 22500          |                         | -0,1055       | -15,8265          | 22500          |                        |                       |
| 2  | 210     | 0,248 | 1,247   | 261,87     | 44100          |                         | -0,0959       | -20,1320          | 44100          |                        |                       |
| 3  | 270     | 0,270 | 1,225   | 330,75     | 72900          | -8,55 x10 <sup>-4</sup> | -0,0881       | -23,7967          | 72900          | 3,18 x10 <sup>-4</sup> | 1,38x10 <sup>-4</sup> |
| 4  | 330     | 0,317 | 1,178   | 388,74     | 108900         |                         | -0,0712       | -23,4779          | 108900         |                        |                       |
| 5  | 390     | 0,442 | 1,053   | 410,67     | 152100         |                         | -0,0224       | -8,74706          | 152100         |                        |                       |

|      |      |       |       |         |        |         |          |        |
|------|------|-------|-------|---------|--------|---------|----------|--------|
| 6    | ~    | 1,495 | -     |         |        |         |          |        |
| tot  | 1350 | 1,497 | 5,978 | 1583,30 | 400500 | -0,3831 | -91,9802 | 400500 |
| rata | 270  | 0,299 | 1,196 | 316,66  | 80100  | -0,0766 | -18,3960 | 80100  |

a (intersep) penentuan laju reaksi = 1,42645, dan a (intersep) penentuan konstanta reaksi = -0,16252

Tabel 19. Data pengamatan dan perhitungan pada konsentrasi *Cis*-[Co(phen)<sub>2</sub>(CN)<sub>2</sub>]  $5 \times 10^{-4}$ M +  $4 \times 10^{-4}$  mol NO<sub>2</sub> pada pH 7 suhu 27 °C

| No   | t (min) | At    | A <sub>~</sub> -At | t(A <sub>~</sub> -At) | t <sup>2</sup> | b                         | -log(A <sub>~</sub> - At) | t.(-log(A <sub>~</sub> - At)) | t <sup>2</sup> | b                       | k'                      |
|------|---------|-------|--------------------|-----------------------|----------------|---------------------------|---------------------------|-------------------------------|----------------|-------------------------|-------------------------|
| 1    | 150     | 0,992 | 0,462              | 69,30                 | 22500          |                           | 0,3354                    | 50,3037                       | 22500          |                         |                         |
| 2    | 210     | 1,028 | 0,426              | 89,46                 | 44100          |                           | 0,3706                    | 77,8240                       | 44100          |                         |                         |
| 3    | 270     | 1,065 | 0,389              | 105,03                | 72900          | -1,7317 x10 <sup>-3</sup> | 0,4100                    | 110,7136                      | 72900          | 3,418 x10 <sup>-3</sup> | 1,484 x10 <sup>-3</sup> |
| 4    | 330     | 1,279 | 0,175              | 57,75                 | 108900         |                           | 0,7570                    | 249,7974                      | 108900         |                         |                         |
| 5    | 390     | 1,386 | 0,068              | 26,52                 | 152100         |                           | 1,1675                    | 455,3215                      | 152100         |                         |                         |
| 6    | ~       | 1,454 | -                  |                       | -              |                           |                           |                               |                |                         |                         |
| tot  | 1350    | 5,750 | 1,520              | 348,06                | 400500         |                           | 3,0404                    | 943,9603                      | 400500         |                         |                         |
| rata | 270     | 1,150 | 0,304              | 69,61                 | 80100          |                           | 0,6081                    | 188,7921                      | 80100          |                         |                         |

a (intersep) penentuan laju reaksi = 0,77155, dan a (intersep) penentuan konstanta reaksi = -0,3147

Tabel 20. Data pengamatan dan perhitungan pada konsentrasi *Cis*-[Co(phen)<sub>2</sub>(CN)<sub>2</sub>]  $6,7 \times 10^{-4}$ M +  $4 \times 10^{-4}$  mol NO<sub>2</sub> pada pH 7 suhu 27 °C

| No | t (min) | At    | A <sub>~</sub> -At | t(A <sub>~</sub> -At) | t <sup>2</sup> | b                       | -log(A <sub>~</sub> - At) | t.(-log(A <sub>~</sub> - At)) | t <sup>2</sup> | b                       | k'                      |
|----|---------|-------|--------------------|-----------------------|----------------|-------------------------|---------------------------|-------------------------------|----------------|-------------------------|-------------------------|
| 1  | 150     | 0,986 | 0,450              | 67,50                 | 22500          |                         | 0,3468                    | 52,0181                       | 22500          |                         |                         |
| 2  | 210     | 1,042 | 0,394              | 82,74                 | 44100          | -1,77 x10 <sup>-3</sup> | 0,4045                    | 84,9458                       | 44100          | 3,991 x10 <sup>-3</sup> | 1,733 x10 <sup>-3</sup> |
| 3  | 270     | 1,279 | 0,157              | 42,39                 | 72900          |                         | 0,8041                    | 217,1071                      | 72900          |                         |                         |

|      |      |       |       |        |        |   |        |          |        |  |
|------|------|-------|-------|--------|--------|---|--------|----------|--------|--|
| 4    | 330  | 1,302 | 0,134 | 44,22  | 108900 |   | 0,8729 | 288,0554 | 108900 |  |
| 5    | 390  | 1,387 | 0,049 | 19,11  | 152100 |   | 1,3098 | 510,8235 | 152100 |  |
| 6    | ~    | 1,436 | -     |        |        | - |        |          |        |  |
| tot  | 1350 | 5,996 | 1,184 | 255,96 | 400500 |   | 3,7381 | 1152,95  | 400500 |  |
| rata | 270  | 0,922 | 0,237 | 51,19  | 80100  |   | 0,7476 | 230,59   | 80100  |  |

a (intersep) penentuan laju reaksi = 0,7147, dan a (intersep) penentuan konstanta reaksi = -0,32987

#### Lampiran 4. Data Pengamatan reaksi untuk konsentrasi $[Co(phen)_2(CN)_2]$ bervariasi dan konsentrasi $NO_2$ konstan pH 8 suhu 27°C

Tabel 21. Data pengamatan dan perhitungan pada konsentrasi  $Cis-[Co(phen)_2(CN)_2]$   $3,3 \times 10^{-5}$  M +  $4 \times 10^{-4}$  mol  $NO_2$  pada pH 8 suhu 27 °C

| No   | t (min) | At    | A $\sim$ □-At | t(A $\sim$ □-At) | t <sup>2</sup> | b                      | -log(A $\sim$ At) | t.(-log(A $\sim$ At)) | t <sup>2</sup> | b                       | k'                    |
|------|---------|-------|---------------|------------------|----------------|------------------------|-------------------|-----------------------|----------------|-------------------------|-----------------------|
| 1    | 150     | 0,275 | 0,151         | 22,65            | 22500          |                        | 0,8210            | 123,1535              | 22500          |                         |                       |
| 2    | 210     | 0,319 | 0,107         | 22,47            | 44100          |                        | 0,9706            | 203,8294              | 44100          |                         |                       |
| 3    | 270     | 0,363 | 0,063         | 17,01            | 72900          | -4,7 x10 <sup>-4</sup> | 1,2007            | 324,1781              | 72900          | 2,534 x10 <sup>-3</sup> | 1,1 x10 <sup>-3</sup> |
| 4    | 330     | 0,375 | 0,051         | 16,83            | 108900         |                        | 1,2924            | 426,5018              | 108900         |                         |                       |
| 5    | 390     | 0,388 | 0,038         | 14,82            | 152100         |                        | 1,4202            | 553,8844              | 152100         |                         |                       |
| 6    | ~       | 0,426 |               |                  |                |                        |                   |                       |                |                         |                       |
| tot  | 1350    | 2,146 | 0,410         | 93,78            | 400500         |                        | 5,7050            | 1631,5470             | 400500         |                         |                       |
| rata | 270     | 0,344 | 0,082         | 18,76            | 80100          |                        | 1,1410            | 326,3094              | 80100          |                         |                       |

a (intersep) penentuan laju reaksi = 0,2089, dan a (intersep) penentuan konstanta reaksi = 0,456899

Tabel 22. Data pengamatan dan perhitungan pada konsentrasi  $Cis-[Co(phen)_2(CN)_2]$   $1,6 \times 10^{-4}$  M +  $4 \times 10^{-4}$  mol  $NO_2$  pada pH 8 suhu 27 °C

| No | t (min) | At | A $\sim$ □-At | t(A $\sim$ □-At) | t <sup>2</sup> | b | -log(A $\sim$ At) | t.(-log(A $\sim$ At)) | t <sup>2</sup> | b | k' |
|----|---------|----|---------------|------------------|----------------|---|-------------------|-----------------------|----------------|---|----|
|----|---------|----|---------------|------------------|----------------|---|-------------------|-----------------------|----------------|---|----|

| At)  |      |       |       |        |        |                          |        |          |   |
|------|------|-------|-------|--------|--------|--------------------------|--------|----------|---|
| 1    | 150  | 0,246 | 0,437 | 65,55  | 22500  |                          | 0,3596 | 53,9278  | 22500   |
| 2    | 210  | 0,331 | 0,352 | 73,92  | 44100  |                          | 0,4535 | 95,2260  | 44100   |
| 3    | 270  | 0,358 | 0,325 | 87,75  | 72900  | -9,667 x10 <sup>-4</sup> | 0,4881 | 131,7915 | 72900 1,54 x10 <sup>-3</sup> 6,31 x10 <sup>-4</sup> |
| 4    | 330  | 0,385 | 0,298 | 98,34  | 108900 |                          | 0,5258 | 173,5086 | 108900  |
| 5    | 390  | 0,509 | 0,174 | 67,86  | 152100 |                          | 0,7594 | 296,1858 | 152100  |
| 6    | ~    | 0,683 | -     |        |        | -                        |        |          |   |
| tot  | 1350 | 1,829 | 1,586 | 393,42 | 400500 |                          | 2,5863 | 750,6397 | 400500  |
| rata | 270  | 0,502 | 0,317 | 78,68  | 80100  |                          | 0,5173 | 150,1279 | 80100   |

a (intersep) penentuan laju reaksi = 0,5782, dan a (intersep) penentuan konstanta reaksi = 0,12478

Tabel 23. Data pengamatan dan perhitungan pada konsentrasi *Cis*-[Co(phen)<sub>2</sub>(CN)<sub>2</sub>] 3,3 x 10<sup>-4</sup> M + 4 x10<sup>-4</sup> mol NO<sub>2</sub> pada pH 8 suhu 27 °C

| No   | t (min) | At     | A~□-At | t(A~□-At) | t <sup>2</sup> | b                        | -log(A~- At) | t.(-log(A~- At)) | t <sup>2</sup>                                       | b | k' |
|------|---------|--------|--------|-----------|----------------|--------------------------|--------------|------------------|--|---|----|
| 1    | 150     | 0.256  | 0.44   | 66        | 22500          |                          | 0.356547     | 53.4821          | 22500  |   |    |
| 2    | 210     | 0.358  | 0.338  | 70.98     | 44100          |                          | 0.471083     | 98.92749         | 44100  |   |    |
| 3    | 270     | 0.444  | 0.252  | 68.04     | 72900          | -1,015 x10 <sup>-3</sup> | 0.598599     | 161.6219         | 72900 1,503 x10 <sup>-3</sup> 6,53 x10 <sup>-4</sup> |   |    |
| 4    | 330     | 0.459  | 0.237  | 78.21     | 108900         |                          | 0.625252     | 206.333          | 108900   |   |    |
| 5    | 390     | 0.51   | 0.186  | 72.54     | 152100         |                          | 0.730487     | 284.89           | 152100   |   |    |
| 6    | ~       | 0.696  | -      |           |                | -                        |              |                  |  |   |    |
| tot  | 1350    | 2.027  | 1.453  | 355.77    | 400500         |                          | 2.781969     | 805.2544         | 400500   |   |    |
| rata | 270     | 0.4054 | 0.2906 | 71.154    | 80100          |                          | 0.556394     | 161.0509         | 80100  |   |    |

a (intersep) penentuan laju reaksi = 0,56465, dan a (intersep) penentuan konstanta reaksi = 0,15047

Tabel 24. Data pengamatan dan perhitungan pada konsentrasi *Cis*-[Co(phen)<sub>2</sub>(CN)<sub>2</sub>] 5 x 10<sup>-4</sup>M + 4 x10<sup>-4</sup> mol NO<sub>2</sub> pada pH 8 suhu 27 °C

| No | t (min) | At | A~□-At | t(A~□-At) | t <sup>2</sup> | b | -log(A~- At) | t.(-log(A~- At)) | t <sup>2</sup> | b | k' |
|----|---------|----|--------|-----------|----------------|---|--------------|------------------|----------------|---|----|
|----|---------|----|--------|-----------|----------------|---|--------------|------------------|----------------|---|----|

| At)  |      |       |       |        |        |                          |        |           |   |
|------|------|-------|-------|--------|--------|--------------------------|--------|-----------|---|
| 1    | 150  | 0,558 | 0,339 | 50,85  | 22500  |                          | 0,4698 | 70,4700   | 22500   |
| 2    | 210  | 0,608 | 0,289 | 60,69  | 44100  |                          | 0,5391 | 113,2115  | 44100   |
| 3    | 270  | 0,704 | 0,193 | 52,11  | 72900  | -1,375 x10 <sup>-3</sup> | 0,7144 | 192,8995  | 72900 4,795 x10 <sup>-3</sup> 2,082 x10 <sup>-3</sup> |
| 4    | 330  | 0,797 | 0,100 | 33,00  | 108900 |                          | 1,0000 | 330,0000  | 108900  |
| 5    | 390  | 0,876 | 0,021 | 8,19   | 152100 |                          | 1,6778 | 654,3345  | 152100  |
| 6    | ~    | 0,897 | -     |        |        | -                        |        |           |   |
| tot  | 1350 | 3,882 | 0,942 | 204,84 | 400500 |                          | 4,4011 | 1360,9150 | 400500  |
| rata | 270  | 0,776 | 0,188 | 40,97  | 80100  |                          | 0,8802 | 272,1831  | 80100   |

a (intersep) penentuan laju reaksi = 0,55965, dan a (intersep) penentuan konstanta reaksi = -0,41436

Tabel 25. Data pengamatan dan perhitungan pada konsentrasi *Cis*-[Co(phen)<sub>2</sub>(CN)<sub>2</sub>] 6,7 x 10<sup>-4</sup>M + 4 x 10<sup>-4</sup> mol NO<sub>2</sub> pada pH 8 suhu 27 °C.

| No   | t (min) | At    | A~□-At | t(A~□- At) | t <sup>2</sup> | b                         | -log(A~ At) | t.(-log(A~ At)) | t <sup>2</sup>                                       | b | k' |
|------|---------|-------|--------|------------|----------------|---------------------------|-------------|-----------------|--|---|----|
| 1    | 150     | 0,696 | 0,323  | 48,45      | 22500          |                           | 0,4908      | 73,6196         | 22500  |   |    |
| 2    | 210     | 0,766 | 0,253  | 53,13      | 44100          |                           | 0,5969      | 125,345         | 44100  |   |    |
| 3    | 270     | 0,838 | 0,181  | 48,87      | 72900          | -1,1933 x10 <sup>-3</sup> | 0,7423      | 200,4268        | 72900 3,962 x10 <sup>-3</sup> 1,72 x10 <sup>-3</sup> |   |    |
| 4    | 330     | 0,896 | 0,123  | 40,59      | 108900         |                           | 0,9101      | 300,3313        | 108900   |   |    |
| 5    | 390     | 0,989 | 0,030  | 11,70      | 152100         |                           | 1,5229      | 593,9227        | 152100   |   |    |
| 6    | ~       | 1,019 | -      |            |                | -                         |             |                 |  |   |    |
| tot  | 1350    | 4,185 | 0,910  | 202,74     | 400500         |                           | 4,2630      | 1293,6450       | 400500   |   |    |
| rata | 270     | 0,837 | 0,182  | 40,55      | 80100          |                           | 0,8526      | 258,7290        | 80100  |   |    |

a (intersep) penentuan laju reaksi = 0,5042, dan a (intersep) penentuan konstanta reaksi = -0,21723

#### Lampiran 5. Menentukan orde reaksi kompleks *Cis*-[ Co(phen)<sub>2</sub>(CN)<sub>2</sub>]

Dari persamaan laju :  $v = k [Co(phen)_2(CN)_2]^x \cdot [NO_2]^y$

Jika dalam bentuk logaritma :  $\log v = \log k + x \log [Co(phen)_2(CN)_2] + y \log [NO_2]$

Salah satu contoh penentuan orde reaksi untuk konsentrasi *Cis*-[Co(phen)<sub>2</sub>(CN)<sub>2</sub>] bervariasi pada pH 5 suhu 27 °C. Dari grafik log v vs log [Co(phen)<sub>2</sub>(CN)<sub>2</sub>] menghasilkan garis lurus dengan koefisien arahnya menyatakan orde untuk [Co(phen)<sub>2</sub>(CN)<sub>2</sub>] dan berpotongan garis dengan sumbu y (intersep) =  $k_{Co(phen)_2(CN)_2}$ .

Tabel 26. Data perhitungan orde reaksi pada pH 5

| No   | konsentrasi                             |                         | v                       | log[Co(phen) <sub>2</sub> (CN) <sub>2</sub> ] | y        | x.y     | x <sup>2</sup> | b      |
|------|---|-------------------------|-------------------------|---|----------|---------|----------------|--------|
|      | Co(phen) <sub>2</sub> (CN) <sub>2</sub> | NO <sub>2</sub>         |                         |   |          |         |                |        |
| 1    | $3,3 \times 10^{-5}$                    | $2,667 \times 10^{-2}$  | $1,0367 \times 10^{-3}$ | -4,4815                                       | -2,9844  | 13,3744 | 20,0837        |        |
| 2    | $16,4 \times 10^{-5}$                   | $2,667 \times 10^{-2}$  | $1,1167 \times 10^{-3}$ | -3,7852                                       | -2,9521  | 11,1741 | 14,3274        |        |
| 3    | $32,9 \times 10^{-5}$                   | $2,667 \times 10^{-2}$  | $1,2183 \times 10^{-3}$ | -3,4828                                       | -2,9142  | 10,1498 | 12,1299        | 0,1932 |
| 4    | $50,3 \times 10^{-5}$                   | $2,667 \times 10^{-2}$  | $1,7689 \times 10^{-3}$ | -3,2984                                       | -2,7523  | 9,0783  | 10,8796        |        |
| 5    | $66,7 \times 10^{-5}$                   | $2,667 \times 10^{-2}$  | $1,8933 \times 10^{-3}$ | -3,1759                                       | -2,7228  | 8,6472  | 10,0862        |        |
| tot  | $16960,0 \times 10^{-5}$                | $13,333 \times 10^{-2}$ | $7,0338 \times 10^{-3}$ | -18,2238                                      | -14,3258 | 52,4237 | 67,5069        |        |
| rata | $33,9 \times 10^{-5}$                   | $2,667 \times 10^{-2}$  | $1,4068 \times 10^{-3}$ | -3,6448                                       | -2,8652  | 10,4847 | 13,5014        |        |

$$y = -2,16083 + 0,193244 \cdot x \quad (\text{orde Rx} = 0,193244 \text{ dan intersep} = -2,16083)$$

Perhitungan :

$$b = \frac{n \sum xy - \sum x \cdot \sum y}{n \cdot \sum(x^2) - (\sum x)^2}$$

$x = \log[\text{Co(phen)}_2(\text{CN})_2]$ , dan  $y = \log v$

$$= \frac{n \sum ((\log[\text{Co(phen)}_2(\text{CN})_2]) \cdot \log v) - \sum \log[\text{Co(phen)}_2(\text{CN})_2] \cdot \sum \log v}{n \cdot \sum ((\log[\text{Co(phen)}_2(\text{CN})_2])^2) - (\sum \log[\text{Co(phen)}_2(\text{CN})_2])^2}$$

$$= \frac{5(52,4237) - (-18,2238) \cdot (-14,3258)}{5 \cdot (67,5069) - (-18,2238)^2}$$

$$= 0,193244 \quad (b = \text{orde reaksi})$$

$$a = \bar{y} - b \cdot \bar{x}$$

$$= \overline{\log v} - b \cdot (\overline{\log[\text{Co(phen)}_2(\text{CN})_2]})$$

$$= -2,8652 - (0,193244) \cdot (-3,6448)$$

$$= -2,16083$$

$$y = a + b \cdot x$$

$$= -2,16083 + 0,193244 \cdot x$$

Jadi orde reaksi untuk *Cis*-[Co(phen)<sub>2</sub>(CN)<sub>2</sub>] pada pH 5 suhu 27 °C adalah 0,193244. Dengan cara yang sama dapat ditentukan orde reaksi

*Cis*-[Co(phen)<sub>2</sub>(CN)<sub>2</sub>] pada pH 7 dan 8.

Tabel 27. Data perhitungan orde reaksi pada pH 7

| No   | konsentrasi                             |                          | v .<br>Co(phen) <sub>2</sub> (CN) <sub>2</sub> | log[Co(phen) <sub>2</sub> (CN) <sub>2</sub> ] | y        | x.y     | x2      | b      |
|------|---|--------------------------|--|---|----------|---------|---------|--------|
|      | Co(phen) <sub>2</sub> (CN) <sub>2</sub> | NO <sub>2</sub>          |  |   |          |         |         |        |
| 1    | 3,3 x10 <sup>-5</sup>                   | 2,667 x10 <sup>-2</sup>  | 3,383 x10 <sup>-4</sup>                        | -4,4815                                       | -3,4707  | 15,5537 | 20,0837 |        |
| 2    | 16,4 x10 <sup>-5</sup>                  | 2,667 x10 <sup>-2</sup>  | 6,317 x10 <sup>-4</sup>                        | -3,7852                                       | -3,1995  | 12,1106 | 14,3274 |        |
| 3    | 32,9 x10 <sup>-5</sup>                  | 2,667 x10 <sup>-2</sup>  | 8,550 x10 <sup>-4</sup>                        | -3,4828                                       | -3,0680  | 10,6854 | 12,1299 | 0,5615 |
| 4    | 50,3 x10 <sup>-5</sup>                  | 2,667 x10 <sup>-2</sup>  | 17,317 x10 <sup>-4</sup>                       | -3,2984                                       | -2,7615  | 9,1087  | 10,8797 |        |
| 5    | 66,7 x10 <sup>-5</sup>                  | 2,667 x10 <sup>-2</sup>  | 17,700 x10 <sup>-4</sup>                       | -3,1759                                       | -2,7520  | 8,7401  | 10,0862 |        |
| tot  | 16960,0 x10 <sup>-5</sup>               | 13,333 x10 <sup>-2</sup> | 53,267 x10 <sup>-4</sup>                       | -18,2238                                      | -15,2518 | 56,1986 | 67,5069 |        |
| rata | 33,9 x10 <sup>-5</sup>                  | 2,667 x10 <sup>-2</sup>  | 10,653 x10 <sup>-4</sup>                       | -3,6448                                       | -3,0504  | 11,2397 | 13,5014 |        |

$$y = -1,00395 + 0,561465 \cdot x \quad (\text{orde Rx} = 0,561465, \text{ dan a} = -1,0040)$$

Tabel 28. Data perhitungan orde reaksi pada pH 8

| No   | konsentrasi                             |                          | v .Co(phen) <sub>2</sub> (CN) <sub>2</sub> | log[Co(phen) <sub>2</sub> (CN) <sub>2</sub> ] | y       | x.y     | x2      | b      |
|------|---|--------------------------|--|---|---------|---------|---------|--------|
|      | Co(phen) <sub>2</sub> (CN) <sub>2</sub> | NO <sub>2</sub>          |  |   |         |         |         |        |
| 1    | 3,3 x10 <sup>-5</sup>                   | 2,667 x10 <sup>-2</sup>  | 4,53 x10 <sup>-4</sup>                     | -4,4815                                       | -3,3436 | 14,9842 | 20,0837 | 0,3237 |
| 2    | 16,4 x10 <sup>-5</sup>                  | 2,667 x10 <sup>-2</sup>  | 9,67 x10 <sup>-4</sup>                     | -3,7852                                       | -3,0147 | 11,4112 | 14,3274 |        |
| 3    | 32,9 x10 <sup>-5</sup>                  | 2,667 x10 <sup>-2</sup>  | 10,15 x10 <sup>-4</sup>                    | -3,4828                                       | -2,9935 | 10,4259 | 12,1299 |        |
| 4    | 50,3 x10 <sup>-5</sup>                  | 2,667 x10 <sup>-2</sup>  | 11,80 x10 <sup>-4</sup>                    | -3,2984                                       | -2,9281 | 9,6582  | 10,8796 |        |
| 5    | 66,7 x10 <sup>-5</sup>                  | 2,667 x10 <sup>-2</sup>  | 11,93 x10 <sup>-4</sup>                    | -3,1759                                       | -2,9232 | 9,2839  | 10,0862 |        |
| tot  | 16960,0 x10 <sup>-5</sup>               | 13,333 x10 <sup>-2</sup> | 48,08 x10 <sup>-4</sup>                    | -18,2237                                      | -15,203 | 55,7634 | 67,5069 |        |
| rata | 33,9 x10 <sup>-5</sup>                  | 2,667 x10 <sup>-2</sup>  | 9,62 x10 <sup>-4</sup>                     | -3,6448                                       | -3,0406 | 11,1527 | 13,5014 |        |

$$y = -1,8609 + 0,3237 \cdot x \quad (\text{orde Rx} = 0,3237, \text{ dan a} = -1,8609)$$

**Lampiran 6. Data Pengamatan reaksi untuk konsentrasi  $[Co(phen)_2(CN)_2]$  bervariasi dan konsentrasi  $NO_2$  konstan pH 7 pada suhu 27°C**

Tabel 29. Data pengamatan dan perhitungan pada konsentrasi  $Cis-[Co(phen)_2(CN)_2] = 5 \times 10^{-4} M + 4 \times 10^{-4} mol NO_2$  pada pH 7 suhu 27 °C

| No   | t (min) | At    | A~ - At | t(A~ - At) | $t^2$  | b                     | -log (A~- At)            | x.y      | $t^2$  | b                    | k'                   |
|------|---------|-------|---------|------------|--------|-----------------------|--------------------------|----------|--------|----------------------|----------------------|
| 1    | 150     | 0,260 | 0,899   | 134,9      | 22500  | $-5,0 \times 10^{-4}$ | $4,6240 \times 10^{-3}$  | 6,9360   | 22500  | $2,6 \times 10^{-4}$ | $1,1 \times 10^{-4}$ |
| 2    | 210     | 0,330 | 0,830   | 174,3      | 44100  |                       | $8,0922 \times 10^{-3}$  | 16,9936  | 44100  |                      |                      |
| 3    | 270     | 0,364 | 0,796   | 214,9      | 72900  |                       | $9,9087 \times 10^{-3}$  | 26,7535  | 72900  |                      |                      |
| 4    | 330     | 0,370 | 0,790   | 260,7      | 108900 |                       | $10,2373 \times 10^{-3}$ | 33,7831  | 108900 |                      |                      |
| 5    | 390     | 0,390 | 0,770   | 300,3      | 152100 |                       | $11,3509 \times 10^{-3}$ | 44,2686  | 152100 |                      |                      |
| 6    | ~       | 1,160 |         |            |        |                       |                          |          |        |                      |                      |
| tot  | 1350    | 1,720 | 4,085   | 1085       | 400500 |                       | $44,2130 \times 10^{-3}$ | 128,7348 | 400500 |                      |                      |
| rata | 270     | 0,270 | 0,817   | 217        | 80100  |                       | $8,8430 \times 10^{-3}$  | 25,7470  | 80100  |                      |                      |

a (intersep) penentuan laju reaksi = 0,9511, dan a (intersep) penentuan konstanta reaksi =  $1,823 \times 10^{-2}$

Tabel 30. Data pengamatan dan perhitungan pada konsentrasi  $Cis-[Co(phen)_2(CN)_2] = 5 \times 10^{-4} M + 4 \times 10^{-4} mol NO_2$  pada pH 7 suhu 50 °C

| No   | t (min) | At   | A~ - At | t(A~ - At) | $t^2$  | b                     | -log (A~- At)          | x.y      | $t^2$  | b                     | k'                   |
|------|---------|------|---------|------------|--------|-----------------------|------------------------|----------|--------|-----------------------|----------------------|
| 1    | 150     | 0,19 | 1,161   | 174,2      | 22500  | $-9,5 \times 10^{-4}$ | $64,83 \times 10^{-3}$ | 9,7248   | 22500  | $-4,0 \times 10^{-4}$ | $1,7 \times 10^{-4}$ |
| 2    | 210     | 0,25 | 1,102   | 231,4      | 44100  |                       | $42,18 \times 10^{-3}$ | 8,8581   | 44100  |                       |                      |
| 3    | 270     | 0,29 | 1,065   | 287,6      | 72900  |                       | $27,35 \times 10^{-3}$ | 7,3844   | 72900  |                       |                      |
| 4    | 330     | 0,37 | 0,980   | 323,4      | 108900 |                       | $-8,77 \times 10^{-3}$ | -2,8954  | 108900 |                       |                      |
| 5    | 390     | 0,41 | 0,938   | 365,8      | 152100 |                       | $-27,8 \times 10^{-3}$ | -10,8409 | 152100 |                       |                      |
| 6    | ~       | 1,35 |         |            |        |                       |                        |          |        |                       |                      |
| tot  | 1350    | 2,87 | 5,246   | 1382       | 400500 |                       | $97,79 \times 10^{-3}$ | 12,2311  | 400500 |                       |                      |
| rata | 270     | 0,30 | 1,049   | 276,5      | 80100  |                       | $19,56 \times 10^{-3}$ | 2,4462   | 80100  |                       |                      |

a (intersep) penentuan laju reaksi = 1,3048, dan a (intersep) penentuan konstanta reaksi = 0,12585

Tabel 31. Data pengamatan dan perhitungan pada konsentrasi *Cis*-[Co(phen)<sub>2</sub>(CN)<sub>2</sub>] 5 x 10<sup>-4</sup> M + 4 x 10<sup>-4</sup> mol NO<sub>2</sub> pada pH 7 suhu 60 °C

| No   | t (min) | At   | A~ - At | t(A~ -At) | t <sup>2</sup> | b                       | -log (A~- At)            | x.y      | t <sup>2</sup> | b                     | k'                    |
|------|---------|------|---------|-----------|----------------|-------------------------|--------------------------|----------|----------------|-----------------------|-----------------------|
| 1    | 150     | 0,31 | 1,169   | 175,4     | 22500          |                         | 6,781 x10 <sup>-2</sup>  | 10,1722  | 22500          |                       |                       |
| 2    | 210     | 0,33 | 1,144   | 240,2     | 44100          |                         | 5,843 x10 <sup>-2</sup>  | 12,2695  | 44100          |                       |                       |
| 3    | 270     | 0,44 | 1,036   | 279,7     | 72900          | -1,39 x10 <sup>-3</sup> | 1,536 x10 <sup>-2</sup>  | 4,1471   | 72900          | - 6 x10 <sup>-4</sup> | 2,6 x10 <sup>-4</sup> |
| 4    | 330     | 0,51 | 0,971   | 320,4     | 108900         |                         | -1,278 x10 <sup>-2</sup> | -4,2176  | 108900         |                       |                       |
| 5    | 390     | 0,64 | 0,840   | 327,6     | 152100         |                         | -7,572 x10 <sup>-2</sup> | -29,5311 | 152100         |                       |                       |
| 6    | ~       |      | 1,48    |           |                |                         |                          |          |                |                       |                       |
| tot  | 1350    | 3,70 | 5,160   | 1343      | 400500         |                         | 5,310 x10 <sup>-2</sup>  | -7,1600  | 400500         |                       |                       |
| rata | 270     | 0,44 | 1,032   | 268,7     | 80100          |                         | 1,062 x10 <sup>-2</sup>  | -1,4320  | 80100          |                       |                       |

a (intersep) penentuan laju reaksi = 1,4060, dan a (intersep) penentuan konstanta reaksi = 0,17184

Tabel 32. Data pengamatan dan perhitungan pada konsentrasi *Cis*-[Co(phen)<sub>2</sub>(CN)<sub>2</sub>] 5 x 10<sup>-4</sup> M + 4 x 10<sup>-4</sup> mol NO<sub>2</sub> pada pH 7 suhu 70 °C

| No   | t (min) | At    | A~ - At | t(A~ -At) | t <sup>2</sup> | b                     | -log (A~- At)             | x.y      | t <sup>2</sup> | B                      | k'                    |
|------|---------|-------|---------|-----------|----------------|-----------------------|---------------------------|----------|----------------|------------------------|-----------------------|
| 1    | 150     | 0,354 | 0,894   | 134,10    | 22500          |                       | 4,8662 x10 <sup>-2</sup>  | 7,2994   | 22500          |                        |                       |
| 2    | 210     | 0,489 | 0,759   | 159,39    | 44100          |                       | 11,9758 x10 <sup>-2</sup> | 25,1492  | 44100          |                        |                       |
| 3    | 270     | 0,574 | 0,674   | 181,98    | 72900          | 3,03x10 <sup>-3</sup> | 17,1340 x10 <sup>-2</sup> | 46,2618  | 72900          | 10,9 x10 <sup>-4</sup> | 4,7 x10 <sup>-4</sup> |
| 4    | 330     | 0,738 | 0,510   | 168,30    | 108900         |                       | 29,2430 x10 <sup>-2</sup> | 96,5018  | 108900         |                        |                       |
| 5    | 390     | 0,970 | 0,278   | 108,42    | 152100         |                       | 55,5955 x10 <sup>-2</sup> | 216,8225 | 152100         |                        |                       |
| 6    | ~       | 1,248 | -       |           |                |                       | -                         |          |                |                        |                       |
| tot  | 630     | 3,125 | 2,327   | 475,47    | 139500         |                       | 33,9761 x10 <sup>-2</sup> | 392,0348 | 400500         |                        |                       |
| rata | 270     | 0,625 | 0,623   | 150,44    | 80100          |                       | 23,7629 x10 <sup>-2</sup> | 78,4070  | 80100          |                        |                       |

a (intersep) penentuan laju reaksi = -0,1956, dan a (intersep) penentuan konstanta reaksi = -0,056

### Lampiran 7. Menentukan nilai Energi Aktivasi (Ea)

Dari persamaan archenius :  $k = A \cdot e^{-Ea/RT}$ , dalam bentuk logaritma :  $\log k = \log A - Ea/2,303 \cdot RT$ . Jika dibuat grafik antara  $\log k$  vs  $1/T$  akan menghasilkan garis lurus dengan koefisien arahnya =  $-Ea / 2,303 \cdot R$  dan perpotongan garis dengan sumbu y (intersep) =  $\log A$ . Salah satu contoh adalah penentuan Ea pada pH 7.

Tabel 33. Data perhitungan energi aktifasi pada pH 7 suhu 27 °C dengan konsentrasi *Cis-[Co(phen)<sub>2</sub>(CN)<sub>2</sub>]*  $5 \times 10^{-4}$  M +  $4 \times 10^{-4}$  mol NO<sub>2</sub>.

| No    | T (K) | $k'$                   | $\log k'$ | $1/T$                   | $(1/T)^2$             | $1/T \cdot \log k'$     | b         | Ea(kkal/mol.K) |
|-------|-------|------------------------|-----------|-------------------------|-----------------------|-------------------------|-----------|----------------|
| 1     | 300   | $1,13 \times 10^{-4}$  | -3,9474   | $3,333 \times 10^{-3}$  | $11,1 \times 10^{-6}$ | $-13,16 \times 10^{-3}$ |           |                |
| 2     | 323   | $1,71 \times 10^{-4}$  | -3,7671   | $3,096 \times 10^{-3}$  | $9,6 \times 10^{-6}$  | $-11,66 \times 10^{-3}$ |           |                |
| 3     | 333   | $2,60 \times 10^{-4}$  | -3,5850   | $3,003 \times 10^{-3}$  | $9,0 \times 10^{-6}$  | $-10,77 \times 10^{-3}$ | -1391,639 | 6,36822        |
| 4     | 343   | $4,72 \times 10^{-4}$  | -3,3260   | $2,916 \times 10^{-3}$  | $8,5 \times 10^{-6}$  | $-9,70 \times 10^{-3}$  |           |                |
| total | 1299  | $10,16 \times 10^{-4}$ | -14,6256  | $12,348 \times 10^{-3}$ | $38,0 \times 10^{-6}$ | $-45,28 \times 10^{-3}$ |           |                |
| rata2 | 325   | $2,54 \times 10^{-4}$  | -3,6564   | $3,087 \times 10^{-3}$  | $9,5 \times 10^{-6}$  | $-11,32 \times 10^{-3}$ |           |                |

$$b = \frac{n \sum x \cdot y - \sum x \cdot \sum y}{n \cdot \sum(x^2) - (\sum x)^2}$$

$x = 1/T$  (T dalam Kelvin), dan  $y = \log k'$ , n = jumlah variasi suhu,

$$= \frac{4(-45,28 \times 10^{-3}) - (12,348 \times 10^{-3}) \cdot (-14,6256)}{4(38,0 \times 10^{-6}) - (12,348 \times 10^{-3})^2}$$

$$= -1391,639$$

$$a = \bar{y} - b \cdot \bar{x}$$

$$= -3,6564 - (-1391,639) \cdot (3,087 \times 10^{-3})$$

$$= 0,639586$$

$$y = a + b \cdot x$$

$$= 0,639586 - 1391,639 \cdot x$$

$$Ea = -b \times 2,303 \times R \quad (\text{dengan } R = 1,987)$$

$$= -(-1391,639) \cdot 2,303 \cdot 1,987$$

$$= 6,368225 \quad (\text{kkal. Mol}^{-1} \cdot \text{K}^{-1})$$

Jadi energi aktifasi (Ea) reaksi senyawa kompleks *Cis*-[Co(phen)<sub>2</sub>(CN)<sub>2</sub>] dengan gas NO<sub>2</sub> pada pH 7 adalah 6,368225 (kkal. Mol<sup>-1</sup>.K<sup>-1</sup>).